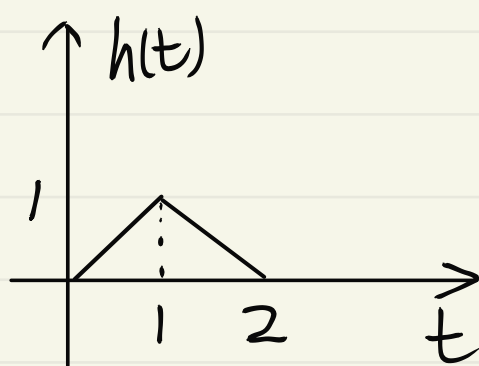
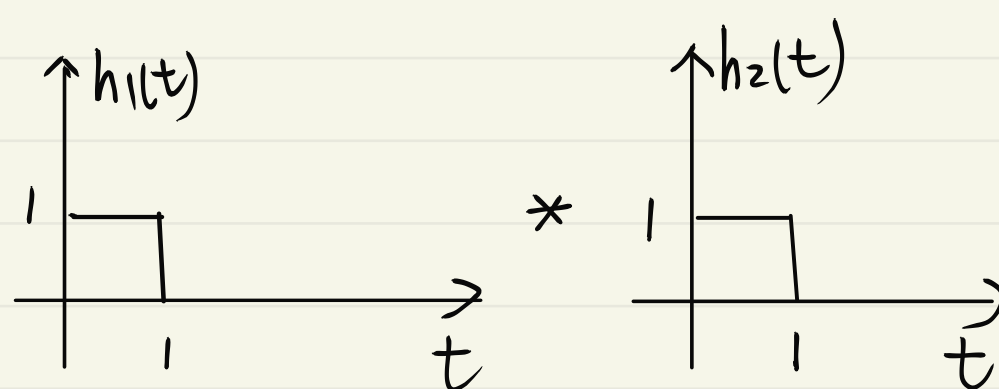


推) $\hat{\cdot}$:

$$x_1(t) * x_2(t) \xrightarrow{\text{FT}} X_1(\omega) X_2(\omega)$$



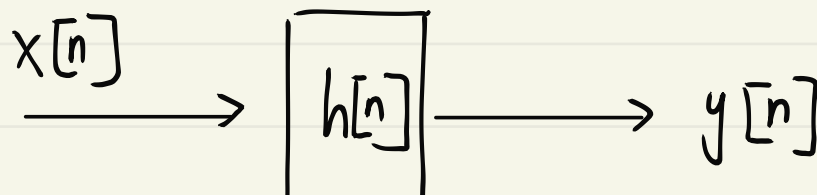
$$h(t) = h_1(t) * h_2(t)$$



$$\begin{aligned} h_1(t) &\xrightarrow{\text{FT}} \int_0^1 1 \cdot e^{-j\omega t} dt = \frac{1 - e^{-j\omega}}{j\omega} = e^{-\frac{j\omega}{2}} \frac{2j \sin \frac{\omega}{2}}{j\omega} \\ &= e^{-\frac{j\omega}{2}} \cdot \frac{\sin \frac{\omega}{2}}{\frac{\omega}{2}} \\ &= e^{-\frac{j\omega}{2}} \cdot \text{Sa} \frac{\omega}{2} \end{aligned}$$

$$H(\omega) = H_1(\omega) \cdot H_2(\omega)$$

$$= e^{-j\omega} \cdot \text{Sa} \frac{\omega}{2}$$



$$\textcircled{1} \text{ 非周期 } x[n] \xrightarrow{\text{DTFT}} \tilde{x}(\omega), h[n] \rightarrow H(\omega) \quad \tilde{x}(\omega) H(\omega) \xrightarrow{\text{FT}^{-1}} y[n]$$

$$\textcircled{2} \text{ 周期 } \tilde{x}[n] \xrightarrow{\text{DFS}} \tilde{x}_k \quad h[n] \xrightarrow{\text{DTFT}} H(\omega)$$

$$\tilde{x}[n] = \sum_{k \in \mathbb{N}_0} \tilde{x}_k e^{jk\omega_0 n} \xrightarrow{\text{LTI}} \tilde{y}[n] = \sum_{k \in \mathbb{N}_0} \tilde{x}_k H(k\omega_0) e^{jk\omega_0 n}$$

§5.5 周期信号和奇异函数的傅里叶变换

例：求 $\delta(\omega)$ 和 $\sum_{l=-\infty}^{\infty} \delta(\omega - 2\pi l)$ 对应的时域函数/序列

$$\xrightarrow{\omega} \xrightarrow{\mathcal{F}^{-1}} \frac{1}{2\pi} \int_{-\infty}^{+\infty} \delta(\omega) \cdot e^{j\omega t} \cdot d\omega = \frac{1}{2\pi}$$

$$\xrightarrow{-2\pi \ 0 \ 2\pi \ \omega} \xrightarrow{\mathcal{F}^{-1}} \frac{1}{2\pi} \int_{(2\pi)} \tilde{\delta(\omega)} e^{j\omega n} d\omega = \frac{1}{2\pi} \int_{-\pi}^{\pi} \delta(\omega) e^{j\omega n} d\omega$$

$$= \frac{1}{2\pi} \int_{-\infty}^{+\infty} \delta(\omega) e^{j\omega n} d\omega = \frac{1}{2\pi}$$

$$\frac{1}{2\pi} \xrightarrow{\mathcal{F}} \delta(\omega) \Rightarrow | \xrightarrow{\text{CFT}} 2\pi \delta(\omega)$$

$$\frac{1}{2\pi} \xrightarrow[\text{DTFT}]{\mathcal{F}} \sum_{l=-\infty}^{+\infty} \delta(\omega - 2\pi l) \Rightarrow | \xrightarrow{\text{DTFT}} 2\pi \sum_{l=-\infty}^{\infty} \delta(\omega - 2\pi l)$$

在频域上引入冲激后，原来不满足狄利赫里条件的函数/序列也有了 \mathcal{F}

例2. 求 $\delta(\omega - \omega_0)$ 和 $\sum_{l=-\infty}^{\infty} \delta(\omega - \omega_0 - 2\pi l)$ 对应的时域函数/序列

$$\delta(\omega - \omega_0) \xrightarrow{\mathcal{F}^{-1}} \frac{1}{2\pi} \int_{-\infty}^{+\infty} \delta(\omega - \omega_0) e^{j\omega t} d\omega = \frac{1}{2\pi} e^{j\omega_0 t}$$

$$\sum_{l=-\infty}^{\infty} \delta(\omega - \omega_0 - 2\pi l) \xrightarrow{\mathcal{F}^{-1}} \frac{1}{2\pi} \int_{(2\pi)} \delta(\omega - \omega_0) e^{j\omega n} d\omega$$

$$= \frac{1}{2\pi} \int_{-\infty}^{+\infty} \delta(\omega - \omega_0) e^{j\omega n} d\omega = \frac{1}{2\pi} e^{j\omega_0 n}$$

$$e^{jk\omega_0 t} \xrightarrow{\text{CFT}} 2\pi \delta(\omega - \omega_0)$$

$$e^{jk\Omega_0 n} \xrightarrow{\text{DTFT}} 2\pi \sum_{l=-\infty}^{\infty} \delta(\Omega - \Omega_0 - 2\pi l)$$

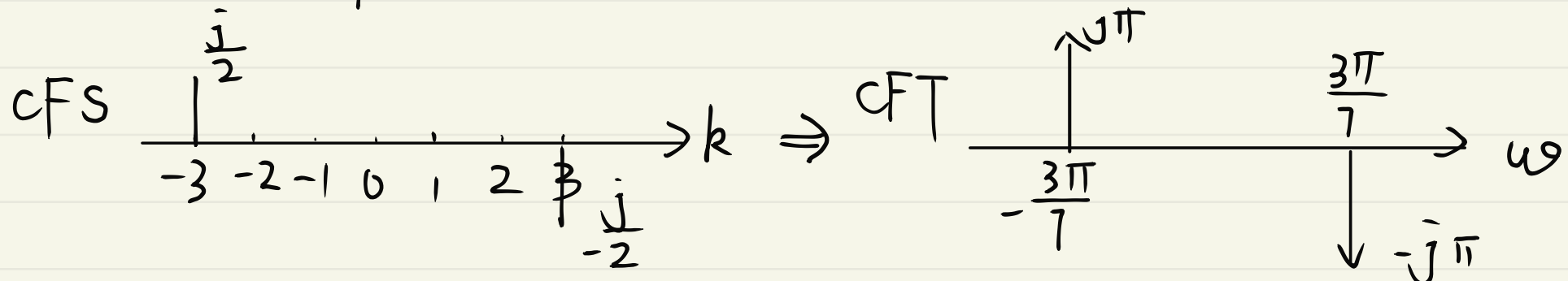
對于一般 $\tilde{x}(t) = \sum_{k=-\infty}^{\infty} X_k e^{jk\omega_0 t}$

$$\begin{aligned} &\xrightarrow{\text{CFT}} \tilde{X}\left\{ \sum_{k=-\infty}^{\infty} X_k e^{jk\omega_0 t} \right\} \\ &= \sum_{k=-\infty}^{\infty} X_k \tilde{X}\left\{ e^{jk\omega_0 t} \right\} \\ &= \sum_{k=-\infty}^{\infty} X_k 2\pi \delta(\omega - k\omega_0) \\ &= 2\pi \sum_{k=-\infty}^{\infty} X_k \delta(\omega - k\omega_0) \end{aligned}$$

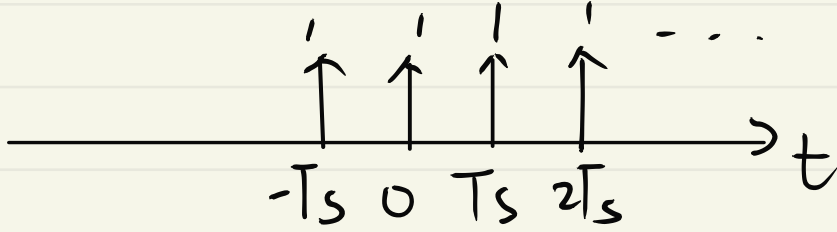
$$\begin{aligned} \tilde{x}[n] &= \sum_{k \in \mathbb{N}} \tilde{X}_k e^{jk\Omega_0 n} \xrightarrow{\text{DTFT}} \tilde{X}\left\{ \sum_{k \in \mathbb{N}} \tilde{X}_k e^{jk\Omega_0 n} \right\} = \sum_{k \in \mathbb{N}} \tilde{X}_k \tilde{X}\left\{ e^{jk\Omega_0 n} \right\} \\ &= \sum_{k \in \mathbb{N}} \tilde{X}_k \cdot 2\pi \sum_{l=-\infty}^{\infty} \delta(\Omega - k\Omega_0 - 2\pi l) \\ &= 2\pi \sum_{k=-\infty}^{\infty} \tilde{X}_k \delta(\Omega - k\Omega_0) \end{aligned}$$

$$\begin{aligned} \tilde{x}(t) &= \sin \frac{3\pi}{7} t, \text{ 不是 CFS} \\ &= \frac{1}{2j} e^{j\frac{3\pi}{7}t} - \frac{1}{2j} e^{-j\frac{3\pi}{7}t} \end{aligned}$$

$$\text{假设 } \omega_0 = \frac{\pi}{7}$$



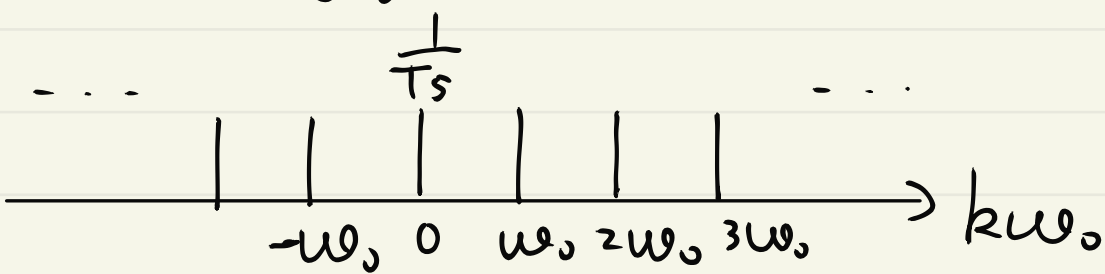
例3. 求 $\sum_{k=-\infty}^{\infty} \delta(t-kT_s)$ 的傅里叶变换



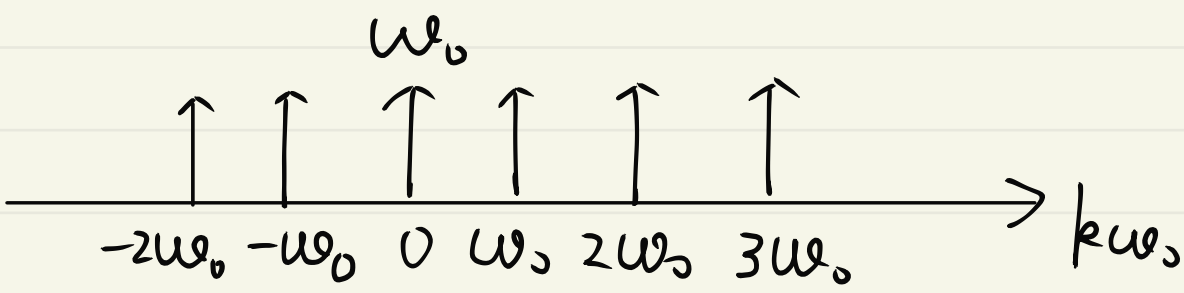
① 求 CFS

$$X_k = \frac{1}{T_s} \int_{-T_s}^{T_s} \delta(t) e^{-jk\omega_0 t} dt \quad \omega_0 = \frac{2\pi}{T_s}$$

$$= \frac{1}{T_s} \int_{-\infty}^{+\infty} \delta(t) e^{-jk\omega_0 t} dt = \frac{1}{T_s}$$



② 求 CFT



$$\sum_{l=-\infty}^{+\infty} 2\pi \frac{1}{T_s} \cdot \delta(\omega - l\omega_0) = \sum_{l=-\infty}^{+\infty} \omega_0 \delta(\omega - l\omega_0)$$

§ 5.5.2 奇异函数的傅里叶变换

$$\delta(t-t_0) \xrightarrow{\text{CFT}} \int_{-\infty}^{+\infty} \delta(t-t_0) e^{-j\omega t} dt = e^{-j\omega t_0}$$

$$\delta[n-n_0] \xrightarrow{\text{DTFT}} \sum_{n=-\infty}^{\infty} \delta[n-n_0] e^{-j\Omega_0 n} = e^{-j\Omega_0 n_0}$$

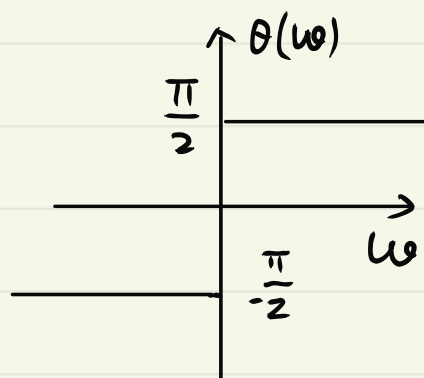
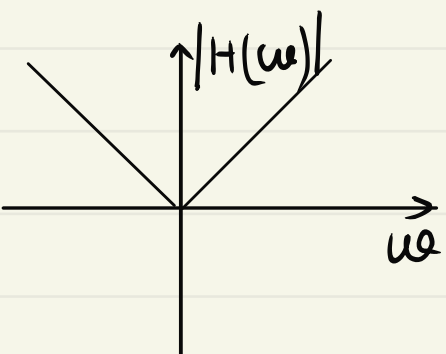
$$H(\omega) = e^{-j\omega t_0} \quad |H(\omega)| = 1 \quad \theta(\omega) = -\omega t_0$$

§ 5.5.2

一、奇异函数的微分/对偶的~

$$\delta'(t) \xrightarrow{\tilde{\text{F}}} \int_{-\infty}^{+\infty} \delta'(t) e^{-j\omega t} dt = -\frac{d}{dt} e^{-j\omega t} \Big|_{t=0} = j\omega \cdot e^{-j\omega t} \Big|_{t=0} = j\omega$$

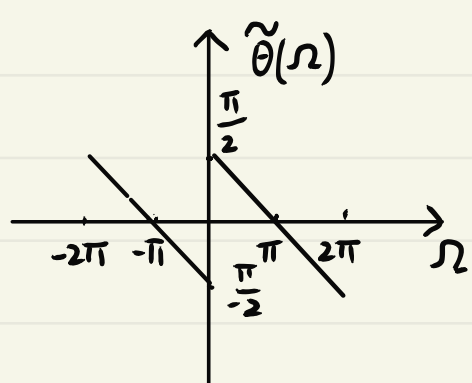
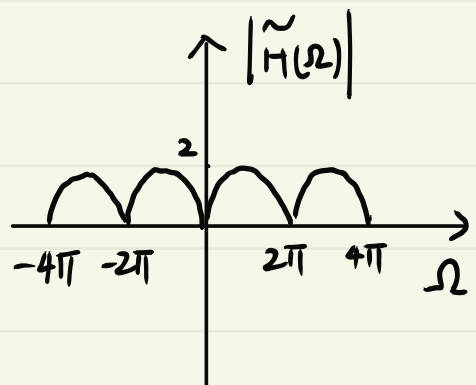
$$\delta[n] - \delta[n-1] \xrightarrow{\tilde{\text{F}}} 1 - e^{-j\Omega}$$



高通滤波器

$$1 - e^{-j\Omega} = e^{-\frac{j\Omega}{2}} \left(e^{\frac{j\Omega}{2}} - e^{-\frac{j\Omega}{2}} \right) = 2j \sin \frac{\Omega}{2} \cdot e^{-\frac{j\Omega}{2}}$$

$$|\tilde{H}(\Omega)| = \left| 2 \sin \frac{\Omega}{2} \right| \quad \tilde{\theta}(\Omega) = \begin{cases} \frac{\pi}{2} - \frac{\Omega}{2} & 0 < \Omega < \pi \\ -\frac{\pi}{2} - \frac{\Omega}{2} & -\pi < \Omega < 0 \end{cases}$$

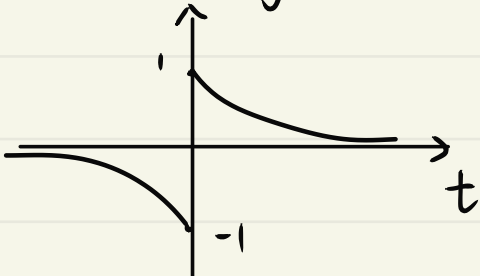


二、单位阶跃函数/序列的傅里叶变换

$$-\boxed{s(t)} - \boxed{u(t)} \rightarrow \text{(1) } \mathcal{F}\{u(t)\} = \frac{1}{\mathcal{F}\{s(t)\}} = \frac{1}{j\omega} \quad (\text{错误的})$$

$$u(t) = \frac{1}{2} + \frac{1}{2} \operatorname{sgn}(t) \rightarrow \text{符号函数} \quad \frac{1}{2} \xrightarrow{\mathcal{F}} \pi \delta(\omega)$$

定义: $e^{-at|t|} \operatorname{sgn}(t)$ $\lim_{a \rightarrow 0} e^{-at|t|} \operatorname{sgn}(t) = \operatorname{sgn}(t)$



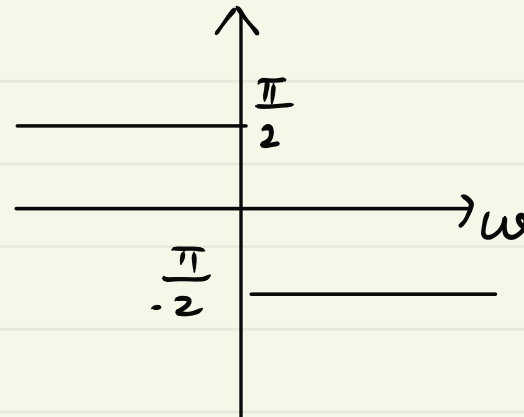
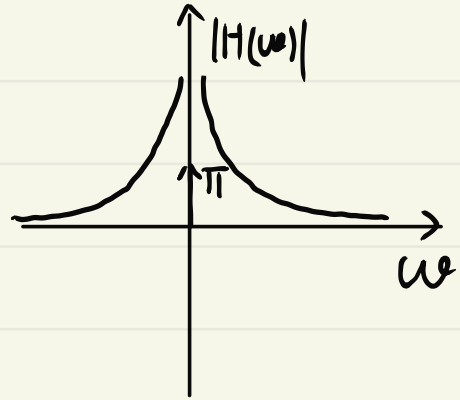
$$e^{-at|t|} \operatorname{sgn}(t) = e^{-at} u(t) - e^{at} u(-t) \xrightarrow{\mathcal{F}} \int_0^\infty e^{-at} e^{-j\omega t} dt - \int_{-\infty}^0 e^{at} e^{-j\omega t} dt$$

$$= \frac{1}{a+j\omega} - \frac{1}{a-j\omega} = \frac{-2j\omega}{a^2+\omega^2}$$

$$\lim_{a \rightarrow 0} e^{-at|t|} \operatorname{sgn}(t) \xrightarrow{\mathcal{F}} \lim_{a \rightarrow 0} \frac{-2j\omega}{a^2+\omega^2} = \frac{2}{j\omega}$$

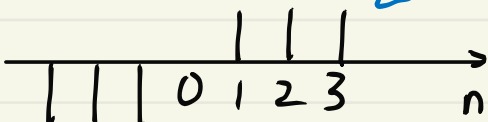
$$\Rightarrow u(t) \xrightarrow{\mathcal{F}} \pi \delta(\omega) + \frac{1}{j\omega}$$

$$H_L(\omega) = \pi S(\omega) + \frac{1}{j\omega}$$



低通滤波器

$$u[n] = \frac{1}{2} + \frac{1}{2} \operatorname{sgn}[n] + \frac{1}{2} s[n]$$



$$\frac{1}{2} \delta[n] \xrightarrow{\text{DTFT}} \frac{1}{2}$$

$$\frac{1}{2} \xrightarrow{\mathcal{F}} \sum_{l=-\infty}^{\infty} \pi \delta(\omega - 2\pi l)$$

定义: $a^{|n|} \operatorname{sgn}[n], 0 < a < 1$

$$a^n \operatorname{sgn}[n] = a^n u[n] - a^{-n} u[-n]$$

$$a^n u[n] - a^{-n} u[-n] \xrightarrow{\mathcal{F}} \sum_{n=0}^{\infty} a^n u[n] e^{-j\omega n} - \sum_{n=-\infty}^0 a^{-n} u[n] e^{j\omega n}$$

$$= \frac{1}{1 - a e^{-j\Omega}} - \frac{1}{1 - a e^{j\Omega}} = \frac{-a e^{j\Omega} + a e^{-j\Omega}}{1 + a^2 - 2 a \cos \Omega}$$

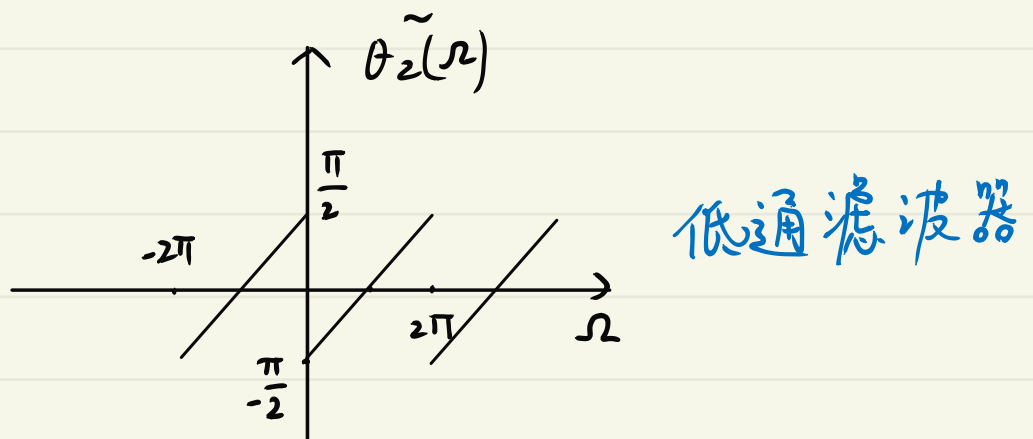
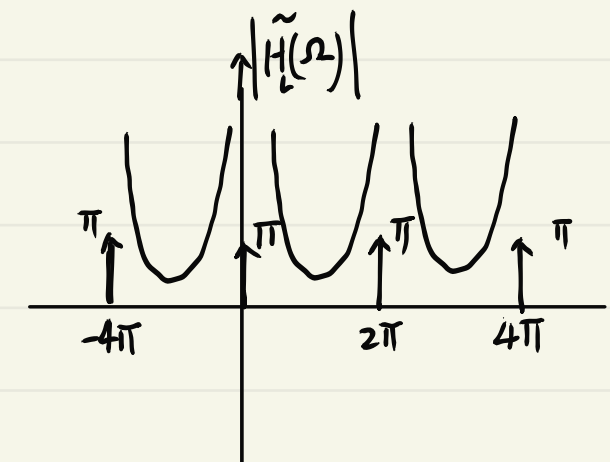
$$= \frac{-2a j \sin \Omega}{1 + a^2 - 2 a \cos \Omega}$$

$$\lim_{a \rightarrow 1} a^{ln 1} \operatorname{sgn}[n] \xrightarrow{\tilde{\mathcal{F}}} \frac{-j \sin \Omega}{1 - \cos \Omega}$$

$$\Rightarrow u[n] \xrightarrow{\tilde{\mathcal{F}}} \pi \sum_{l=-\infty}^{\infty} \delta(\Omega - 2\pi l) + \frac{1}{2} - \frac{1}{2} \frac{j \sin \Omega}{1 - \cos \Omega}$$

$$\frac{1}{2} - \frac{1}{2} \frac{j \sin \Omega}{1 - \cos \Omega} = \frac{1}{2} \frac{1 - \cos \Omega - j \sin \Omega}{1 - \cos \Omega} = \frac{1}{2} \frac{1 - e^{j\Omega}}{1 - \cos \Omega} = \frac{1}{2} \frac{(1 - e^{j\Omega})(1 - e^{-j\Omega})}{(1 - \cos \Omega)(1 - e^{j\Omega})}$$

$$\Rightarrow u[n] \xrightarrow{\tilde{\mathcal{F}}} \pi \sum_{l=-\infty}^{\infty} \delta(\Omega - 2\pi l) + \frac{1}{1 - e^{-j\Omega}} = \frac{1}{2} \frac{2 - 2 \cos \Omega}{(1 - \cos \Omega)(1 - e^{j\Omega})} = \frac{1}{1 - e^{-j\Omega}}$$



§5.6 有限长序列的频域表示法. 离散傅里叶变换(DFT)

对于M点的有限长序列 $x[n]$, $n=0, 1, \dots, M-1$

$$\text{其DTFT: } \tilde{x}(j\Omega) = \sum_{n=0}^{M-1} x[n] e^{-j\Omega n}$$

对 $\tilde{x}(j\Omega)$ 在 $[0, 2\pi]$ 区间平均取M份 $x(k)$ 就是其DFT

$$\text{定义 } \Omega_0 = \frac{2\pi}{M} \quad X_k = \sum_{n=0}^{M-1} x[n] e^{-j k \Omega_0 n}, \quad k=0, 1, \dots, M-1$$

把 $x[n]$ 以M为周期进行周期延拓 $\tilde{x}[n] = \sum_{l=-\infty}^{\infty} x[n-lM]$

$$F_k = DFS\{\tilde{x}[n]\} = \frac{1}{M} \sum_{n=0}^{M-1} \tilde{x}[n] e^{-j k \Omega_0 n} = \frac{1}{M} \sum_{n=0}^{M-1} x[n] e^{-j k \Omega_0 n} = \frac{1}{M} X_k$$

$$\tilde{x}[n] = IDFS\{F_k\} = \sum_{k=0}^{M-1} F_k e^{j k \Omega_0 n} = \frac{1}{M} \sum_{k=0}^{M-1} X_k e^{j k \Omega_0 n}$$

$$x[n] = \frac{1}{M} \sum_{k=0}^{M-1} X_k e^{jk\omega_0 n}$$

$$X_k = \sum_{n=0}^{M-1} x[n] e^{-jk\omega_0 n}$$

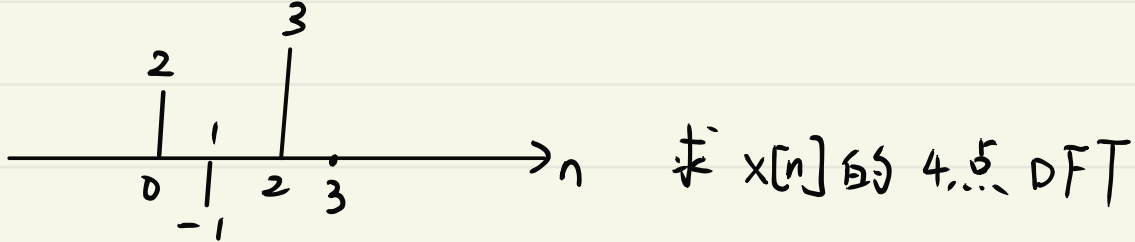
DFT
 $\omega_0 = \frac{2\pi}{M}$

對應 DFS

$$\tilde{x}[n] = \sum_{k \in \mathbb{N}} \tilde{X}_k e^{jk\omega_0 n}$$

$$\tilde{X}_k = \frac{1}{N} \sum_{n \in \mathbb{N}} \tilde{x}[n] e^{-jk\omega_0 n}$$

例：



$$\omega_0 = \frac{2\pi}{4} = \frac{\pi}{2}$$

$$x_0 = x[0] + x[1] + x[2] + x[3] = 2 - 1 + 3 = 4$$

$$x_1 = 2 - e^{j\frac{\pi}{2}} + 3 e^{-j\frac{\pi}{2} \cdot 2} = -1 + j$$

$$x_2 = 2 - e^{j\frac{\pi}{2} \cdot 2} + 3 e^{-j\frac{\pi}{2} \cdot 2 \cdot 2} = 2 + 1 + 3 = 6$$

$$x_3 = 2 - e^{j\frac{\pi}{2} \cdot 3} + 3 e^{-j\frac{\pi}{2} \cdot 3 \cdot 2} = 2 - j - 3 = -1 - j$$

§ 5.8 双边拉氏变换和Z变换

§ 5.8.1 定义

$$f(t) \xrightarrow{\mathcal{L}} \int_{-\infty}^{\infty} f(t) e^{-st} dt \quad \text{Re}\{s\} \in \text{Roc} \text{ 收敛域}$$

$$f[n] \xrightarrow{Z} \sum_{n=-\infty}^{\infty} f[n] z^{-n} \quad |z| \in \text{Roc}$$

与傅里叶变换的关系

$$\textcircled{1} \quad F(s) \Big|_{s=j\omega} = \int_{-\infty}^{\infty} f(t) e^{-j\omega t} dt = F(\omega) \quad j\omega \in \text{Roc}$$

$$F(z) \Big|_{z=e^{j\omega}} = \sum_{n=-\infty}^{\infty} f[n] e^{-j\omega n} = \tilde{F}(\omega) \quad e^{j\omega} \in \text{Roc}$$

$$\textcircled{2} \quad F(s) \Big|_{s=\sigma+j\omega} = \int_{-\infty}^{\infty} f(t) e^{-\sigma t} e^{-j\omega t} dt = \tilde{F}\{f(t) e^{-\sigma t}\}$$

$$F(z) \Big|_{z=r e^{j\omega}} = \sum_{n=-\infty}^{\infty} f[n] r^{-n} e^{-j\omega n} = \tilde{F}\{f[n] r^{-n}\}$$

例 1. 求 $e^{-at} u(t)$ 和 $-e^{-at} u(-t)$ 的拉氏变换

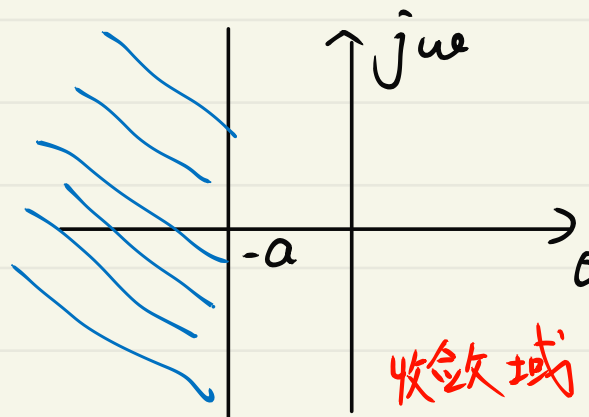
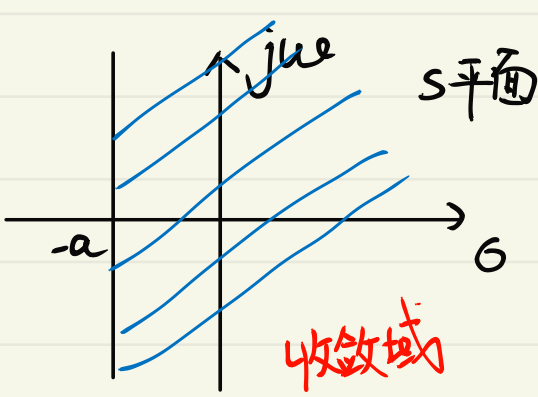
$$\mathcal{L}\{e^{-at} u(t)\} = \int_{-\infty}^{\infty} e^{-at} u(t) e^{-st} dt = \int_0^{\infty} e^{-(a+s)t} dt = \frac{e^{-(a+s)t}|_0^{\infty}}{-(a+s)} = \frac{1}{s+a}$$

要求 $\text{Re}\{a+s\} > 0 \Leftrightarrow \text{Re}\{s\} > \text{Re}\{-a\}$

$$\mathcal{L}\{-e^{-at} u(-t)\} = - \int_{-\infty}^{\infty} e^{-at} u(-t) e^{-st} dt = - \int_{-\infty}^0 e^{-(s+a)t} dt = \frac{e^{-(s+a)t}|_{-\infty}^0}{s+a} = \frac{1}{s+a}$$

要求 $\text{Re}\{a+s\} < 0 \Rightarrow \text{Re}\{s\} < \text{Re}\{-a\}$

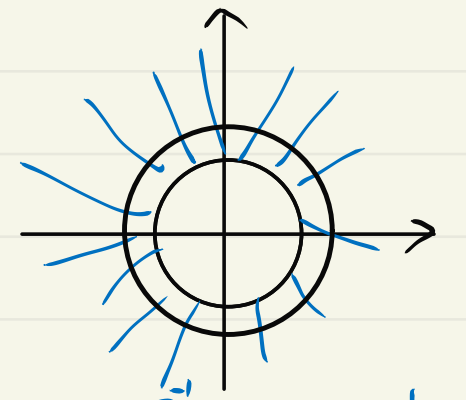
↑
像函数



例2. 求 $a^n u[n]$ 和 $-a^n u[-n-1]$ 的 Z 变换

$$Z\{a^n u[n]\} = \sum_{n=0}^{\infty} a^n z^{-n} = \sum_{n=0}^{\infty} (az^{-1})^n = \frac{1}{1-az^{-1}}$$

$$\text{要求 } |az^{-1}| < 1 \Rightarrow |z| > |a|$$



$$Z\{-a^n u[-n-1]\} = \sum_{n=-\infty}^{-1} -a^n z^{-n} = -\sum_{m=1}^{\infty} a^{-m} z^m = -\sum_{m=1}^{\infty} (a^{-1}z)^m = \frac{-a^{-1}z}{1-a^{-1}z} = \frac{1}{1-az^{-1}}$$

$$\text{要求 } |a^{-1}z| < 1 \Rightarrow |z| < |a|$$

§5.8.2 双边拉氏和 Z 变换的零极点

一、像函数的零极点分布

零点: $\lim_{s \rightarrow z_i} F(s) = 0$ $\lim_{z \rightarrow z_i} F(z) = 0$ z_i 称为像函数的零点.

极点: $\lim_{s \rightarrow p_i} F(s) = \infty$ $\lim_{z \rightarrow p_i} F(z) = \infty$ p_i 称为像函数的极点.

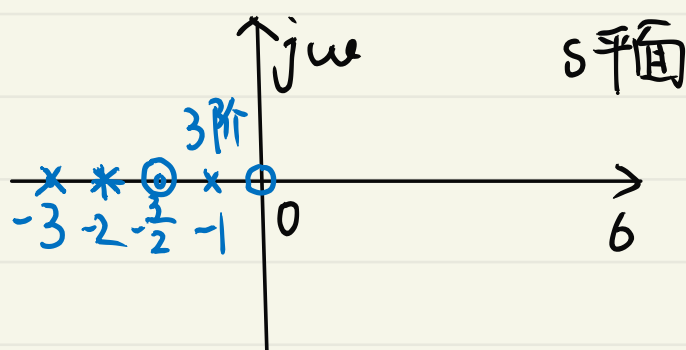
$$\text{阶数: } \lim_{s \rightarrow z_i} \frac{d^k}{ds^k} F(s) = \begin{cases} 0 & k < M \\ \neq 0 & k = M \end{cases}$$

$$\lim_{z \rightarrow z_i} \frac{d^k}{dz^k} F(z) = \begin{cases} 0 & k < M \\ \neq 0 & k = M \end{cases} \quad \text{称为 } M \text{ 阶零点.}$$

$$\lim_{s \rightarrow p_i} (s-p_i)^k F(s) = \begin{cases} 0 & k < N \\ \neq 0 & k = N \end{cases}$$

$$\lim_{z \rightarrow p_i} (z-p_i)^k F(z) = \begin{cases} 0 & k < N \\ \neq 0 & k = N \end{cases} \quad \text{称为 } N \text{ 阶极点.}$$

例: $F(s) = \frac{s(s+\frac{3}{2})^2}{(s+1)^3 (s+2)^2 (s+3)}$



二. 有理像函数的零极点分布

$$F(s) = \frac{P(s)}{Q(s)} \cdot R_f \quad \text{收敛域} \quad F(z) = \frac{P(z^{-1})}{Q(z^{-1})} \cdot R_f \quad \text{分子分母都是有理多项式}$$

$$F(z) = \frac{(1 + \frac{1}{2}z^{-1})(1 - z^{-2})}{(1 + \frac{1}{9}z^{-1})^2 (1 - \frac{1}{8}z^{-2})}$$

性质:

① 孤立性

② 平衡性: 零点数 = 极点数

$$F(s) = \frac{s(s+\frac{3}{2})^2}{(s+1)^3 (s+2)^2 (s+3)} \quad 00 \text{ 点是3阶零点}$$

③ 充分性:

$$F(s) = F_0 \frac{\prod_{i=1}^m (s - z_i)^{p_i}}{\prod_{i=1}^N (s - p_i)^{6_i}}, \quad R_f \quad F(z) = F_0 \frac{\prod_{i=1}^m (1 - z_i z^{-1})^{p_i}}{\prod_{i=1}^N (1 - p_i z^{-1})^{6_i}} \cdot R_f$$

$\{F_0, z_i, p_i, p_i, 6_i, R_f\}$ 若确定, 则原来的时域也是确定的

§ 5.8.3 双边拉氏和Z变换的收敛域

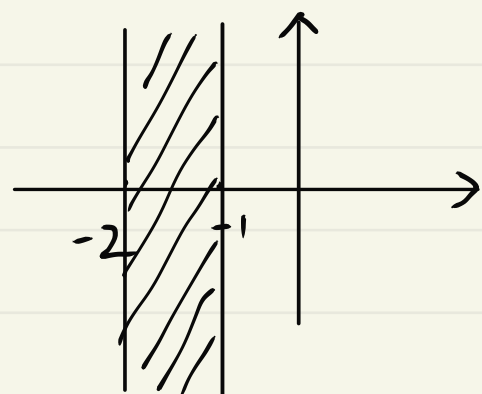
所谓收敛域就是满足 $F(s) \neq 0$, $F(z) \neq 0$ 的 s 或 z 的取值区间

一、收敛域的形状

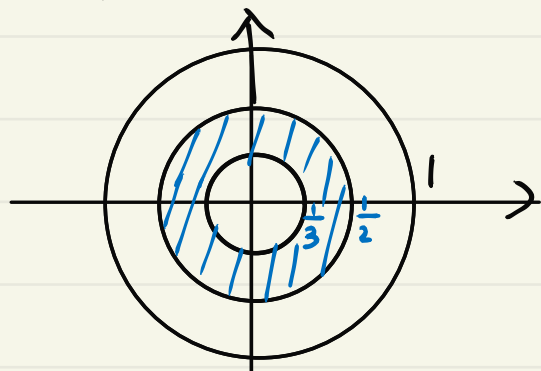
对于双边 s 变换而言，其收敛域是平行于虚轴的单连通条状区域

对于 z 变换而言，其收敛域是以原点为圆心的单个圆环状区域

例): $e^{-2t}u(t) - e^{-t}u(-t) \xrightarrow{\mathcal{L}} \frac{1}{s+2} + \frac{1}{s+1} \quad -2 < \operatorname{Re}\{s\} < -1$



$$-\left(\frac{1}{2}\right)^n u[-n-1] + \left(\frac{1}{3}\right)^n u[n] \xrightarrow{Z} \frac{1}{1 - \frac{1}{2}z^{-1}} + \frac{1}{1 - \frac{1}{3}z^{-1}}$$
$$\frac{1}{3} < |z| < \frac{1}{2}$$



二、收敛域不包含极点且以极点作为边界

三、对于有限持续期的有界函数其收敛域至少是有限 s 平面或 $0 < |z| < \infty$

不包含 ∞ 点的 s 、 z 平面 \Rightarrow 有限 s/z 平面

$$z\{f[n]\} = \sum_{n=N_1}^{N_2} f[n] z^{-n} \quad \begin{array}{c} f[n] \\ | \quad | \quad | \quad | \\ N_1 \quad \quad \quad N_2 \\ \hline n \end{array}$$

① $N_1 > 0 \quad 0 < |z| \leq \infty$

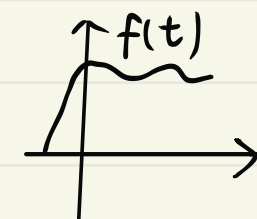
② $N_2 < 0 \quad 0 \leq |z| < \infty$

③ $0 < N_1 < N_2 \quad 0 < |z| < \infty$

四. 右边函数/序列的 L/Z 变换的收敛域

对于 L 氏变换，是最右边极点的右边区域

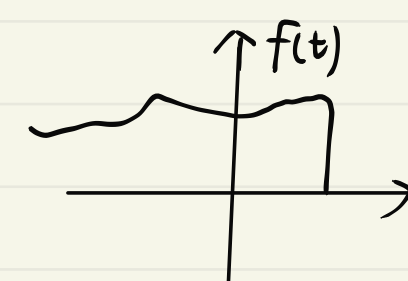
对于 Z 变换，是最外面极点的外面区域



五. 左边函数/序列的 L/Z 变换的 收敛域

对于 L 氏变换，是最左边极点的左边区域

对于 Z 变换，是最里面极点的里面区域



$F(s)|_{s=j\omega} = F(\omega) \Rightarrow$ 如果收敛域包含虚轴，有严格意义的 CFT

$$u(t) \xrightarrow{\mathcal{L}} \frac{1}{s} \quad \operatorname{Re}\{s\} > 0$$

$$u(t) \xrightarrow{\tilde{\mathcal{F}}} \pi \delta(\omega) + j\omega$$

$$e^{-t} u(t) \xrightarrow{\mathcal{L}} \frac{1}{s+1} \quad \operatorname{Re}\{s\} > -1 \text{ 有 CFT}$$

$F(z)|_{z=e^{j\omega}} = \tilde{F}(\omega) \Rightarrow$ 如果收敛域包含单位圆，有严格意义的 DTFT

$$a^n u[n] \xrightarrow{z} \frac{1}{1-az^{-1}} \quad |z| > |a|$$

$|a| < 1$ 时 \Rightarrow 极点在单位圆内，有严格意义的 DTFT

$$u[n] \xrightarrow{z} \frac{1}{1-z^{-1}} \quad |z| > 1 \quad \text{无 DTFT}$$

$u[n]$ 只有广义的 \tilde{F}

六. 对于双边函数/序列

L 氏变换的收敛域是条状区域

Z 变换的 收敛域是圆环状

§ 5.8.4 反 \mathcal{Z} / \mathcal{Z} 变换

一. 公式 (很少用公式法求反变换)

$$F(s) \Big|_{s=6+j\omega} = \tilde{f} \left\{ f(t) e^{-6t} \right\}$$

$$F(z) \Big|_{z=re^{j\Omega}} = \tilde{f} \left\{ f[n] r^{-n} \right\}$$

$$f(t) e^{-6t} = \frac{1}{2\pi} \int_{-\infty}^{\infty} F(6+j\omega) e^{j\omega t} d\omega$$

$$f(t) = \frac{1}{2\pi} \int_{-\infty}^{\infty} F(6+j\omega) e^{(6+j\omega)t} d\omega$$

$\Downarrow \quad s = 6+j\omega$

$$f(t) = \frac{1}{2\pi j} \int_{6-j\infty}^{6+j\infty} F(s) e^{st} ds \quad s \in R_f$$

$$f[n] r^{-n} = \frac{1}{2\pi} \int_{-2\pi}^{2\pi} F(re^{j\Omega}) e^{j\Omega n} d\Omega$$

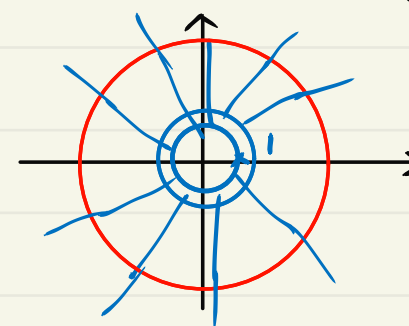
$$\text{令 } z = re^{j\Omega}$$

$$dz = jre^{j\Omega} d\Omega \quad d\Omega = \frac{1}{jz} dz$$

$$f[n] = \frac{1}{2\pi} \int_{-2\pi}^{2\pi} F(re^{j\Omega}) (re^{j\Omega})^n d\Omega$$

$$= \frac{1}{2\pi j} \oint F(z) z^{n-1} dz \quad r \in R_{oc}$$

在圆周上积分



二. 部分分式展开法求反变量

$$F(s) = \frac{P(s)}{Q(s)} = \sum_{i=1}^N \left\{ \frac{A_i}{s-p_i}, R_i \right\} \quad R_F = R_1 \cap R_2 \dots \cap R_N$$

$$F(z) = \frac{P(z^{-1})}{Q(z^{-1})} = \sum_{i=1}^N \left\{ \frac{B_i}{1-P_i z^{-1}}, R_i \right\} \quad R_F = R_1 \cap R_2 \dots \cap R_N$$

例: 求 $F(s) = \frac{2s+3}{(s+1)(s+2)}$. $\operatorname{Re}\{s\} > -1$, 对应的时间函数

$$F(s) = \frac{1}{s+1} + \frac{1}{s+2}$$

$$\downarrow \quad \operatorname{Re}\{s\} > -1 \cap \operatorname{Re}\{s\} > -2 \Rightarrow \operatorname{Re}\{s\} > -1$$

$$f(t) = e^{-t} u(t) + e^{-2t} u(t)$$

例：求 $F(z) = \frac{1}{1 - \frac{1}{6}z^{-1} - \frac{1}{6}z^{-2}}$ $\left[\frac{1}{2} > |z| > \frac{1}{3} \right]$, 求 $f[n]$

$$F(z) = \frac{1}{\left(1 - \frac{1}{2}z^{-1}\right)\left(1 + \frac{1}{3}z^{-1}\right)} = \frac{\frac{3}{5}}{1 - \frac{1}{2}z^{-1}} + \frac{\frac{2}{5}}{1 + \frac{1}{3}z^{-1}}$$

$|z| > \frac{1}{2}$ 或 $|z| < \frac{1}{2}$ $|z| > \frac{1}{3}$ 或 $|z| < \frac{1}{3}$
 \Downarrow
 $|z| < \frac{1}{2}$ $|z| > \frac{1}{3}$

$$f(z) = -\frac{3}{5}\left(\frac{1}{2}\right)^n u[-n-1] + \frac{2}{5}\left(-\frac{1}{3}\right)^n u[n]$$

三、幂级数展开法求反Z变换

如果 $F(z) = \sum_{n=0}^{\infty} f[n] z^{-n}$, $|z| > r_0$ 或 $F(z) = \sum_{n=-\infty}^{-1} f[n] z^{-n}$, $|z| < r_0$

那么 $f[n]$ 就是原序列

例3：求 $\ln(1+az^{-1})$ $|z| > |a|$ 对应的原序列

$$f(x) = \ln(1+x) = \sum_{n=1}^{\infty} \frac{(-1)^{n+1} x^n}{n}, \quad |x| < 1 \Rightarrow \text{采用泰勒级数展开}$$

$$F(z) = \sum_{n=1}^{\infty} \frac{(-1)^{n+1} (az^{-1})^n}{n} = \sum_{n=1}^{\infty} \frac{(-1)^{n+1} a^n}{n} z^{-n} = \sum_{n=-\infty}^0 \frac{(-1)^{n+1} a^n}{n} \cdot u[n-1] \cdot z^{-n}$$

\Downarrow
 $f[n] = \frac{(-1)^{n+1} a^n}{n} \underbrace{u[n-1]}$ $f[n] \xrightarrow{z} \sum_{n=-\infty}^0 f[n] \cdot z^{-n}$

采用长除法

例：求 $F(z) = \frac{z}{z^{-1}-az^{-2}}$ $|z| > |a|$, 求原序列 $f[n]$

$$\begin{array}{r} z \\ \overline{z^{-1}-az^{-2}} \sqrt{z} \\ \hline z-a \\ \overline{a} \\ \hline a-a^2z^{-1} \\ \overline{a^2z^{-1}} \\ \hline a^2z^{-1}-a^3z^{-2} \\ \overline{a^3z^{-2}} \end{array}$$

$$f[n] z^{-n}$$

$$f[-k] = 0, \quad k \leq -3$$

$$f[-2] = 1$$

$$f[-1] = a$$

$$f[0] = a^2$$

$$f[1] = a^3$$

§ 5.9 信号的复频谱及 LTI 系统的系统函数

一、信号的复频谱

$$x(t) = \frac{1}{2\pi j} \int_{6-j\infty}^{6+j\infty} x(s) e^{st} ds = \int_{6-j\infty}^{6+j\omega} \frac{x(s) ds}{2\pi j} e^{st} \quad s \in R_o$$

$$x[n] = \frac{1}{2\pi j} \oint x(z) z^{n-1} dz = \oint \frac{x(z) z^{-1} dz}{2\pi j} \cdot z^n \quad |z| \in R_o$$

$x(s)$, $x(z)$ 可以认为是信号的复频谱

二、LTI 系统的系统函数

$$\begin{array}{c} e^{s_0 t} \xrightarrow{\downarrow \text{特征函数}} \int_{-\infty}^{\infty} h(\tau) e^{s_0(t-\tau)} d\tau = e^{s_0 t} \int_{-\infty}^{\infty} h(\tau) e^{-s_0 \tau} d\tau = H(s_0) e^{s_0 t} \\ \text{其中 } H(s) = \int_{-\infty}^{\infty} h(\tau) e^{-s\tau} d\tau \leftarrow \text{系统函数} \end{array}$$

$$\begin{array}{c} \uparrow \\ z_0^n \xrightarrow{h[n]} \sum_{k=-\infty}^{\infty} h[k] z_0^{n-k} = z_0^n \sum_{k=-\infty}^{\infty} h[k] z_0^{-k} = H(z_0) z_0^n \\ \text{其中 } H(z) = \sum_{k=-\infty}^{\infty} h[k] z^{-k} \leftarrow \text{系统函数} \end{array}$$

三、信号输入 LTI 系统

$$\begin{aligned} & \int_{6-j\infty}^{6+j\infty} \frac{x(s) ds}{2\pi j} e^{st} \xrightarrow{h(t)} \int_{6-j\infty}^{6+j\infty} \frac{x(s) ds}{2\pi j} H(s) e^{st} \\ &= \frac{1}{2\pi j} \int_{6-j\infty}^{6+j\infty} x(s) H(s) e^{st} ds \end{aligned}$$

$$\text{定义 } Y(s) = X(s) H(s)$$

$$y(t) = x(t) * h(t) \longrightarrow Y(s) = X(s) \cdot H(s)$$

$$\oint \frac{x(z) z^{-1}}{2\pi j} dz \cdot z^n \xrightarrow{h[n]} \oint \frac{x(z) z^{-1}}{2\pi j} H(z) \cdot z^n = \frac{1}{2\pi j} \oint x(z) H(z) z^{n-1} dz$$

$$y[n] = x[n] * h[n] \xrightarrow{z} Y(z) = X(z) \cdot H(z)$$

补充：LTI系统零点与系统可逆性关系

$$\begin{array}{ccc} h(t) & \xrightarrow{\mathcal{L}} & H(s) \\ h_I(t) & \xrightarrow{\mathcal{L}} & H_I(s) \end{array} \quad \stackrel{?}{\Rightarrow} \quad H_I(s) = \frac{1}{H(s)}$$

不一定

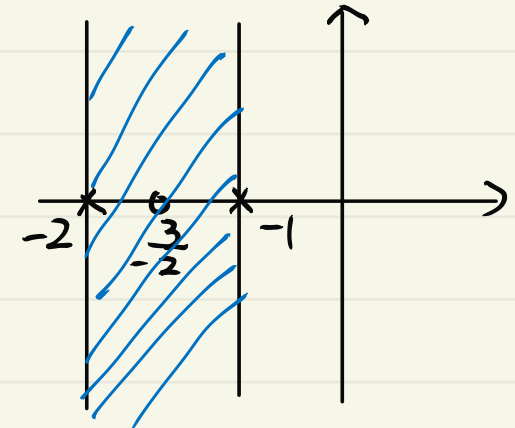
$$H(s) = \frac{2s+3}{(s+1)(s+2)} \quad -2 < \operatorname{Re}\{s\} < -1$$

$$e^{-\frac{3}{2}t} \xrightarrow{H(s)} H(s)|_{s=-\frac{3}{2}} e^{-\frac{3}{2}t} = 0$$

不可逆的

$$0 \xrightarrow{H(s)} 0$$

收敛域中没有零点才是可逆的



对于 LTI 系统而言，一定要收敛域中没有零点，系统才是可逆的

$$H(s) = \frac{2s+3}{(s+1)(s+2)} \quad \operatorname{Re}\{s\} > -1$$

$$= \frac{1}{s+1} + \frac{1}{s+2}$$

$$h(t) = e^{-t}u(t) + e^{-2t}u(t)$$

第六章 变换的性质及其揭示的时域和变换域的关系

目的：①加快运算 ②理解背后的物理含义

脉络：①卷积性质 ②对偶、对称性质

小的计算公式：对于 CFT. $F(0) = \int_{-\infty}^{\infty} f(t) dt$

$$f(0) = \frac{1}{2\pi} \int_{-\infty}^{\infty} F(\omega) \cdot d\omega$$

对于 DTFT $\tilde{F}(0) = \tilde{F}(2k\pi) = \sum_{n=-\infty}^{\infty} f[n]$

$$\tilde{F}[(2k+l)\pi] = \sum_{n=-\infty}^{\infty} f[n] \cdot (-1)^n$$

§6.2 线性性质

一. L. Z 变换

如果 $f_1(t) \xrightarrow{L} F_1(s) \quad R_1, \quad f_2(t) \xrightarrow{L} F_2(s) \quad R_2$

$\alpha f_1(t) + \beta f_2(t) \xrightarrow{L} \alpha F_1(s) + \beta F_2(s) \quad R_{oc} \supset R_1 \cap R_2$

对于 Z 变换

如果 $f_1[n] \xrightarrow{Z} F_1(z), \quad R_1, \quad f_2[n] \xrightarrow{Z} F_2(z), \quad R_2$

$\alpha f_1[n] + \beta f_2[n] \xrightarrow{Z} \alpha F_1(z) + \beta F_2(z) \quad R_{oc} \supset R_1 \cap R_2$

对于收敛域：

① 如果像函数出现零极点相消，收敛域扩大

② 如果 $R_1 \cap R_2 = \emptyset$, 则不存在 L/Z 变换

③ 既 $R_1 \cap R_2 \neq \emptyset$, 又无零极点相消. $R_{oc} = R_1 \cap R_2$

二. 对于 CFT, DTFT 而言

$$\text{如果 } f_1(t) \xrightarrow{\tilde{F}} F_1(\omega)$$

$$f_1[n] \xrightarrow{\tilde{F}} \tilde{F}_1[n]$$

$$f_2(t) \xrightarrow{\tilde{F}} F_2(\omega)$$

$$f_2[n] \xrightarrow{\tilde{F}} \tilde{F}_2[n]$$

$$\text{则: } \alpha f_1(t) + \beta f_2(t) \xrightarrow{\tilde{F}} \alpha F_1(\omega) + \beta F_2(\omega)$$

$$\alpha f_1[n] + \beta f_2[n] \xrightarrow{\tilde{F}} \alpha \tilde{F}_1[n] + \beta \tilde{F}_2[n]$$

例 1:

求 $\cos \omega_0 t$, $\sin \omega_0 t$, $\cos \Omega_0 n$, $\sin \Omega_0 n$ 的 \tilde{F} 变换

周期函数, 无 L. Z 变换, 只有广义 \tilde{F}

$$\cos \omega_0 t = \frac{1}{2} [e^{j\omega_0 t} + e^{-j\omega_0 t}] \xrightarrow{\text{CFT}} \pi \delta(\omega - \omega_0) + \pi \delta(\omega + \omega_0)$$

$$\sin \omega_0 t = \frac{1}{2j} [e^{j\omega_0 t} - e^{-j\omega_0 t}]$$

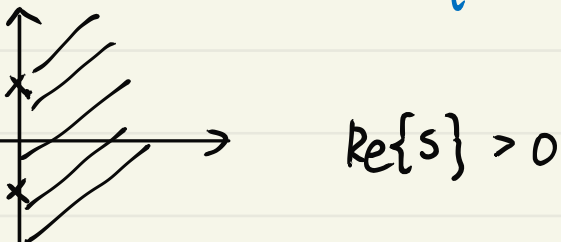
$$= \frac{j}{2} [e^{-j\omega_0 t} - e^{j\omega_0 t}] \xrightarrow{\text{CFT}} j\pi \delta(\omega + \omega_0) - j\pi \delta(\omega - \omega_0)$$

$$\cos \Omega_0 n = \frac{1}{2} [e^{j\Omega_0 n} + e^{-j\Omega_0 n}] \xrightarrow{\text{DTFT}} \pi \sum_{l=-\infty}^{\infty} \{ \delta(\Omega - \Omega_0 + 2\pi l) + \delta(\Omega + \Omega_0 + 2\pi l) \}$$

$$\sin \Omega_0 n = \frac{j}{2} e^{-j\Omega_0 n} - \frac{j}{2} e^{j\Omega_0 n} \xrightarrow{\text{DTFT}} j\pi \sum_{l=-\infty}^{\infty} \{ \delta(\Omega + \Omega_0 + 2\pi l) - \delta(\Omega - \Omega_0 + 2\pi l) \}$$

例 2: 求 $\cos \omega_0 t u(t)$, $\sin \omega_0 t u(t)$, $\cos \Omega_0 n \cdot u[n]$, $\sin \Omega_0 n \cdot u[n]$

$$\cos \omega_0 t u(t) \xrightarrow{\mathcal{L}} \frac{1}{2} \mathcal{L}\{e^{j\omega_0 t} u(t)\} + \frac{1}{2} \mathcal{L}\{e^{-j\omega_0 t} u(t)\} = \frac{1}{2} \left[\frac{1}{s - j\omega_0} + \frac{1}{s + j\omega_0} \right]$$



$$= \frac{s}{s^2 + \omega_0^2}$$

$$\sin \omega_0 t u(t) \xrightarrow{\mathcal{L}} \frac{j}{2} \mathcal{L}\{e^{-j\omega_0 t} u(t)\} - \frac{j}{2} \mathcal{L}\{e^{j\omega_0 t} u(t)\} = \frac{j}{2} \left[\frac{1}{s + j\omega_0} - \frac{1}{s - j\omega_0} \right]$$

$$= \frac{\omega_0}{s^2 + \omega_0^2}$$

$$\text{Re}\{s\} > 0$$

$$\cos \omega_0 n u[n] \xrightarrow{Z} \frac{1}{2} Z \left\{ e^{j \omega_0 n} u[n] \right\} + \frac{1}{2} Z \left\{ e^{-j \omega_0 n} u[n] \right\} = \frac{1}{2} \left[\frac{1}{1 - e^{j \omega_0 z^{-1}}} + \frac{1}{1 - e^{-j \omega_0 z^{-1}}} \right]$$

$$= \frac{1 - \cos \omega_0 z^{-1}}{1 - 2 \cos \omega_0 z^{-1} + z^{-2}}$$

$|z| > 1$

$$\sin \omega_0 n u[n] \xrightarrow{Z} \frac{\sin \omega_0 z^{-1}}{1 - 2 \cos \omega_0 z^{-1} + z^{-2}} \quad |z| > 1$$

§ 6.3 卷积性质 时域卷积性质

一. L/Z 变换

如果 $x(t) \xrightarrow{L} X(s), R_x$ $h(t) \xrightarrow{L} H(s), R_h$

则 $x(t) * h(t) \xrightarrow{L} X(s) \cdot H(s) \quad R_{oc} \supset R_x \cap R_h$

如果 $x[n] \xrightarrow{Z} X(z), R_x$ $h[n] \xrightarrow{Z} H(z), R_h$

则 $x[n] * h[n] \xrightarrow{Z} X(z) \cdot H(z), R_{oc} \supset R_x \cap R_h$

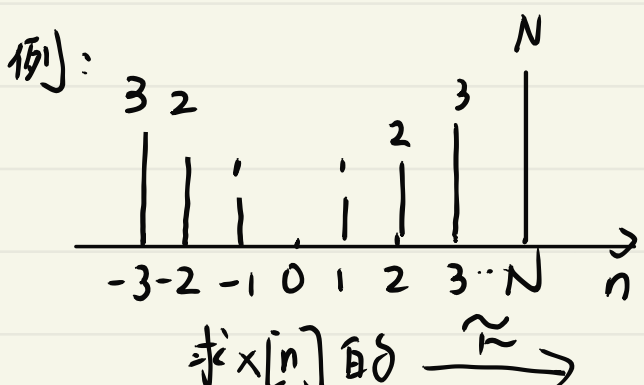
二. CFT/DTFT 变换

如果 $x(t) \xrightarrow{\tilde{F}} X(\omega)$ $h(t) \xrightarrow{\tilde{F}} H(\omega)$

则 $x(t) * h(t) \xrightarrow{\tilde{F}} X(\omega) \cdot H(\omega)$

如果 $x[n] \xrightarrow{\tilde{F}} \tilde{X}(\omega)$ $h[n] \xrightarrow{\tilde{F}} \tilde{H}(\omega)$

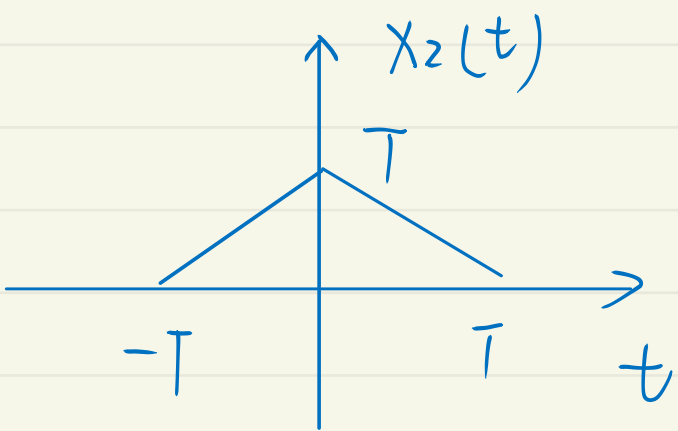
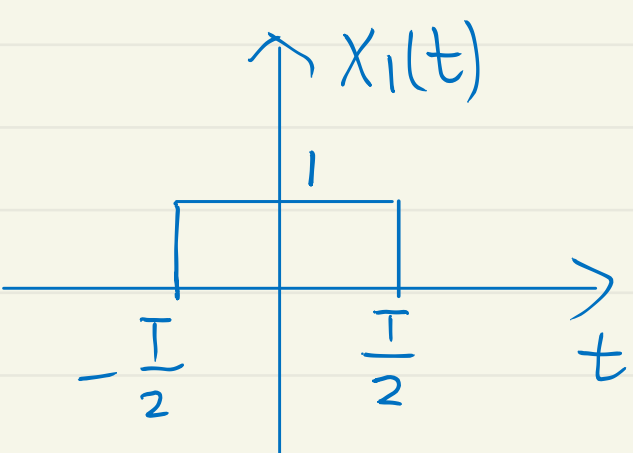
则 $x[n] * h[n] \xrightarrow{\tilde{F}} \tilde{X}(\omega) \cdot \tilde{H}(\omega)$



$$x[n] = \begin{cases} 1 & |n| < N \\ 0 & \text{other} \end{cases}$$

$$x[n] = \underbrace{\begin{array}{ccccccccc} N & N & N & N & N & N & N \\ | & | & | & | & | & | & | \\ -N & -2 & -1 & 0 & 1 & 2 & N \end{array}}_{n} - \underbrace{\begin{array}{ccccccccc} | & & & & & & & & \\ -(N-1) & -2 & -1 & 0 & 1 & 2 & \dots & N-1 \\ N & N-1 \end{array}}_{n}$$

$$x_1[n] \xrightarrow{\text{DTFT}} \frac{\sin \frac{(2N+1)\omega}{2}}{\sin \frac{\omega}{2}}$$



$$x_1(t) * x_1(t) = x_2(t)$$

要求 $x_2(t)$ 的 \mathcal{F} 或 \mathcal{L}

先求 $x_1(t)$ 的 \mathcal{F} 或 \mathcal{L} $x_1(\omega)$

$$\text{再 } X_2(\omega) = X_1(\omega) \cdot X_1(\omega)$$

例：

$$\text{Figure: A plot of a discrete-time signal } x[n] \text{ from } -N \text{ to } N. The signal is zero for } n < -N \text{ and } n > N. It has non-zero values at } n = -N, -1, 0, 1, \dots, N. The value at } n=0 \text{ is labeled } 2N+1.$$

$$x[n] = \frac{1}{2N+1} \sum_{n=-N}^{N} \delta[n]$$

$$\text{Fourier Transform: } X(\omega) = \frac{1}{2\pi} \int_{-\pi}^{\pi} x[n] e^{-jn\omega} d\omega$$

$$= \frac{1}{2\pi} \int_{-\pi}^{\pi} \frac{1}{2N+1} \sum_{n=-N}^{N} \delta[n] e^{-jn\omega} d\omega$$

$$= \frac{1}{2N+1} \left[\frac{\sin(\frac{(2N+1)\omega}{2})}{\sin(\frac{\omega}{2})} \right]^2$$

6.3.2 频域卷积、性质

如果 $x(t) \xrightarrow{\tilde{\mathcal{F}}} X(\omega)$ $P(t) \xrightarrow{\tilde{\mathcal{F}}} P(\omega)$

则 $x(t)P(t) \xrightarrow{\tilde{\mathcal{F}}} \frac{1}{2\pi} X(\omega) * P(\omega)$

如果 $x[n] \xrightarrow{\tilde{\mathcal{F}}} \tilde{x}(\omega)$ $P[n] \xrightarrow{\tilde{\mathcal{F}}} \tilde{P}(\omega)$

则 $x[n]P[n] \xrightarrow{\tilde{\mathcal{F}}} \frac{1}{2\pi} \tilde{x}(\omega) \otimes \tilde{P}(\omega)$

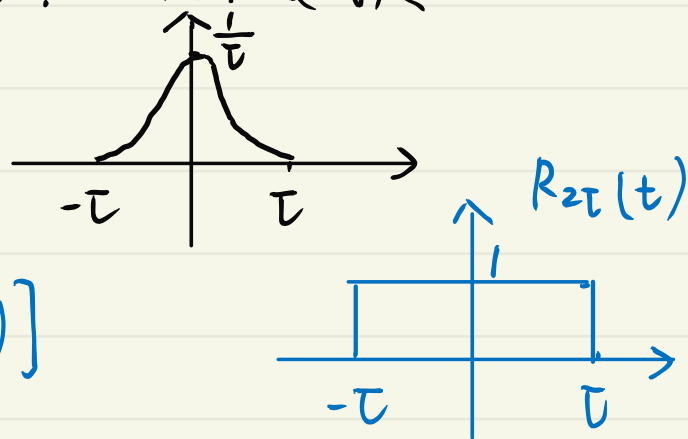
证明：

$$\begin{aligned} \frac{1}{2\pi} \tilde{x}(\omega) \otimes \tilde{P}(\omega) &\xrightarrow{\tilde{\mathcal{F}}^{-1}} \left(\frac{1}{2\pi} \right)^2 \int_{[-2\pi, 2\pi]} \tilde{x}(\omega) \otimes \tilde{P}(\omega) e^{j\omega n} d\omega \\ &= \left(\frac{1}{2\pi} \right)^2 \int_{[-2\pi, 2\pi]} \int_{[-2\pi, 2\pi]} \tilde{x}(\omega) \tilde{P}(\omega - \eta) e^{j\omega n} d\omega e^{j\eta n} d\eta \end{aligned}$$

$$\text{令 } \begin{cases} \eta = \omega - \theta \\ \omega = \eta + \theta \end{cases} \quad \left(\frac{1}{2\pi} \right)^2 \int_{[-2\pi, 2\pi]} \int_{[-2\pi, 2\pi]} \tilde{x}(\omega) \tilde{P}(\eta) d\omega e^{j(\eta+\theta)n} d\eta$$

$$\begin{aligned} &= \frac{1}{2\pi} \int_{[-2\pi, 2\pi]} \tilde{x}(\omega) e^{j\theta n} d\omega \cdot \left(\frac{1}{2\pi} \right)^2 \int_{[-2\pi, 2\pi]} \tilde{P}(\eta) e^{j\eta n} d\eta \\ &= x[n] \cdot P[n] \end{aligned}$$

例: $x(t) = \begin{cases} \frac{1}{2\tau} [1 + \cos \frac{\pi}{\tau} t] & |t| < \tau, \text{求其傅立叶变换} \\ 0 & \end{cases}$



$$x(t) = \frac{1}{2\tau} [1 + \cos \frac{\pi}{\tau} t] [u(t+\tau) - u(t-\tau)]$$

$$R_{2\tau}(t) \xrightarrow{\tilde{\mathcal{F}}} 2\tau \operatorname{Sa}(\omega\tau)$$

$$1 \xrightarrow{\tilde{\mathcal{F}}} 2\pi \delta(\omega)$$

$$\begin{aligned} \frac{1}{2\tau} [1 + \cos \frac{\pi}{\tau} t] &\xrightarrow{\tilde{\mathcal{F}}} \frac{1}{2\tau} \tilde{\mathcal{F}} \left\{ 1 + \cos \frac{\pi}{\tau} t \right\} \\ &= \frac{1}{2\tau} \tilde{\mathcal{F}} \left\{ 1 + \frac{1}{2} e^{j\frac{\pi}{\tau} t} + \frac{1}{2} e^{-j\frac{\pi}{\tau} t} \right\} \end{aligned}$$

$$e^{j\omega_0 t} \xrightarrow{\tilde{\mathcal{F}}} 2\pi \delta(\omega - \omega_0)$$

$$= \frac{1}{2\tau} \left[2\pi \delta(\omega) + \pi \delta(\omega - \frac{\pi}{\tau}) + \pi \delta(\omega + \frac{\pi}{\tau}) \right]$$

$$\Rightarrow \tilde{\mathcal{F}} \{ x(t) \} = \frac{1}{2\pi} \cdot 2\tau \operatorname{Sa}(\omega\tau) * \frac{1}{2\tau} \left[2\pi \delta(\omega) + \pi \delta(\omega - \frac{\pi}{\tau}) + \pi \delta(\omega + \frac{\pi}{\tau}) \right]$$

§ 6.4 时移和频移性质

§ 6.4.1 时移性质

一、拉氏变换和Z变换

如果 $f(t) \xrightarrow{\mathcal{L}} F(s) . R_f$ $f[n] \xrightarrow{z} F(z) . R_f$

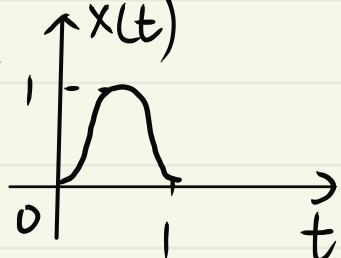
则 $f(t-t_0) \xrightarrow{\mathcal{L}} e^{-st_0} F(s) . R_{fc} = R_f$ $f[n-n_0] \xrightarrow{z} z^{-n_0} F(z) . R_{fc} = R_f$

二、CFT / DTFT 的时移性质

如果 $f(t) \xrightarrow{\tilde{\mathcal{F}}} F(\omega)$ $f[n] \xrightarrow{\tilde{\mathcal{F}}} \tilde{F}(\omega)$

则 $f(t-t_0) \xrightarrow{\tilde{\mathcal{F}}} e^{-j\omega t_0} F(\omega)$ $f[n-n_0] \xrightarrow{\tilde{\mathcal{F}}} e^{-j\omega n_0} \tilde{F}(\omega)$

例：求 $x(t)$, $x(t) = \sin\pi t [u(t) - u(t-1)]$ 求 $x(t)$ 的 Z 变换



$$x(t) = \sin\pi t \cdot u(t) + \sin\pi(t-1) \cdot u(t-1)$$

$$\sin\pi t \cdot u(t) \xrightarrow{\mathcal{L}} \frac{\pi}{s^2 + \pi^2} \quad x(t) \xrightarrow{\mathcal{L}} \frac{\pi}{s^2 + \pi^2} + \frac{\pi}{s^2 + \pi^2} \cdot e^{-s} = \frac{\pi(1 + e^{-s})}{s^2 + \pi^2}$$

$$\frac{\pi(1 + e^{-s})}{s^2 + \pi^2}$$

$s = (2k+1)j\pi$ 为零点

只有 $s = \pm j\pi$ 2个极点

非有理像函数零点个数 ≠ 极点个数

例 6.7 (8) $X(s) = \frac{e^s}{s(1-e^{-s})}$ 要翻到分子上 $\text{Re}\{s\} > 0$, 求反变换

$$\frac{1}{1-a} = \sum_{k=0}^{\infty} a^k, |a| < 1$$

$$X(s) = \frac{e^s}{s} \cdot \sum_{k=0}^{\infty} e^{-sk}$$

$$= \frac{1}{s} \sum_{k=-1}^{\infty} e^{-sk} \quad \text{Re}\{s\} > 0$$

$$\frac{1}{s} \xrightarrow{\mathcal{L}^{-1}} u(t)$$

$$\therefore \frac{1}{s} \sum_{k=-1}^{\infty} e^{-sk} \xrightarrow{\mathcal{L}^{-1}} \sum_{k=-1}^{\infty} u(t-k)$$

$$\frac{e^{-ks}}{s} \xrightarrow{\mathcal{L}^{-1}} u(t-k)$$

例 6.7 (9) $\frac{1}{z(1-z^{-N})}, |z| > 1$ 求反变换

$$= z^{-1} \sum_{k=0}^{\infty} z^{-kN}$$

$$\therefore z^{-1} \sum_{k=0}^{\infty} z^{-kN} \xrightarrow{z^{-1}} \sum_{k=0}^{\infty} \delta[n - (kN+1)]$$

$$z^{-1} \xrightarrow{z^{-1}} \delta[n-1]$$

$$z^{-(kN+1)} \xrightarrow{z^{-1}} \delta[n - (kN+1)]$$

§6.4.2 频移性质和复频移性质

一. 频移性质

如果: $f(t) \xrightarrow{\mathcal{F}} F(\omega)$

$f[n] \xrightarrow{\mathcal{F}} \tilde{F}(\omega)$

则 $e^{j\omega_0 t} f(t) \xrightarrow{\mathcal{F}} F(\omega - \omega_0)$

$e^{j\omega_0 n} f[n] \xrightarrow{\mathcal{F}} \tilde{F}(\omega - \omega_0)$

二. 复频域

如果: $f(t) \xrightarrow{\mathcal{L}} F(s)$, $R_f: b_1 < \operatorname{Re}\{s\} < \delta_2$ $f[n] \xrightarrow{\mathcal{Z}} F(z)$ $R_f = r_1 < |z| < r_2$

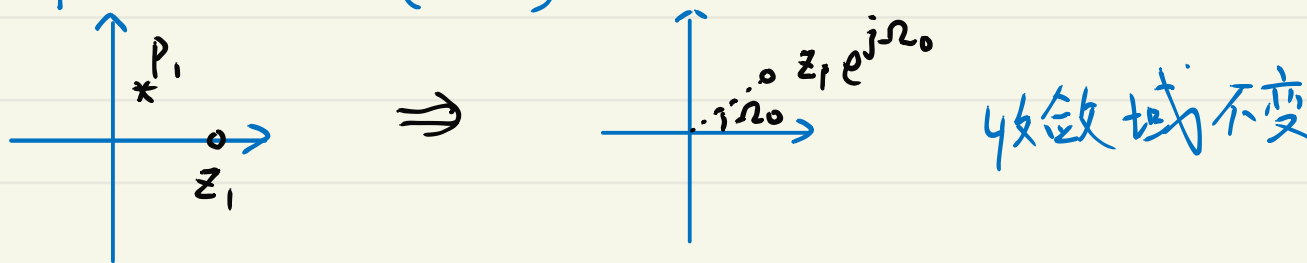
则 $e^{s_0 t} f(t) \xrightarrow{\mathcal{L}} F(s-s_0)$ $\operatorname{R}_C = R_f + \operatorname{Re}\{s_0\}$ $z_i \Rightarrow z_i + s_0$ 零极点的变换
 $P_i \Rightarrow P_i + s_0$

$z_0^n f[n] \xrightarrow{\mathcal{Z}} F(\frac{z}{z_0})$ $\operatorname{R}_C = R_f \cdot |z_0|$ $z_i \Rightarrow z_i z_0$

$P_i \Rightarrow P_i z_0$
 \Downarrow

证明、直接套 \mathcal{L} 、 \mathcal{Z} 变换的公式

① 如果 $z_0 = e^{j\omega_0}$ ($\omega_0 > 0$)



② 如果 $z_0 = r$ ($r > 1$)

收敛域会伸缩

例 1. 求 $e^{-at} \cos \omega_0 t \cdot u(t)$ 、 $e^{-at} \sin \omega_0 t \cdot u(t)$ 的 \mathcal{L} 变换

$a^n \cos \omega_0 n \cdot u[n]$ 、 $a^n \sin \omega_0 n \cdot u[n]$ 的 \mathcal{Z} 变换

$$\cos \omega_0 t \cdot u(t) \xrightarrow{\mathcal{L}} \frac{s}{s^2 + \omega_0^2} \quad \operatorname{Re}\{s\} > 0 \quad e^{-at} \cos \omega_0 t \cdot u(t) \xrightarrow{\mathcal{L}} \frac{s+a}{(s+a)^2 + \omega_0^2} \quad \operatorname{Re}\{s\} > \operatorname{Re}\{-a\}$$

$$\sin \omega_0 t \cdot u(t) \xrightarrow{\mathcal{L}} \frac{\omega_0}{s^2 + \omega_0^2} \quad \operatorname{Re}\{s\} > 0 \quad e^{-at} \sin \omega_0 t \cdot u(t) \xrightarrow{\mathcal{L}} \frac{\omega_0}{(s+a)^2 + \omega_0^2} \quad \operatorname{Re}\{s\} > \operatorname{Re}\{-a\}$$

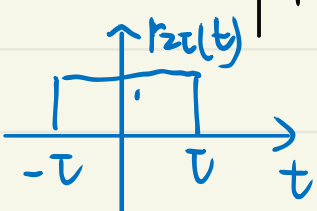
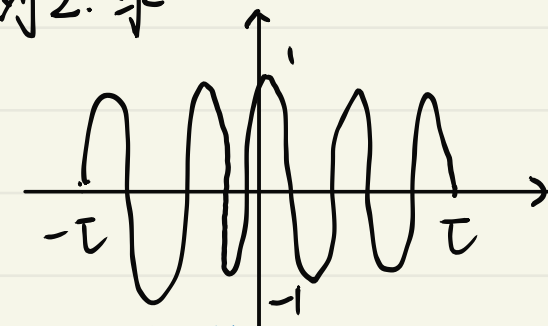
$$\cos \omega_0 n \cdot u[n] \xrightarrow{\mathcal{Z}} \frac{1 - \cos \omega_0 z^{-1}}{1 - 2 \cos \omega_0 z^{-1} + z^{-2}} \cdot |z| > 1 \quad a^n \cos \omega_0 n \cdot u[n] \xrightarrow{\mathcal{Z}} \frac{1 - \cos \omega_0 (\frac{z}{a})^{-1}}{1 - 2 \cos \omega_0 (\frac{z}{a})^{-1} + (\frac{z}{a})^{-2}} \cdot |z| > |a|$$

$$\sin \omega_0 n \cdot u[n] \xrightarrow{\mathcal{Z}} \frac{\sin \omega_0 z^{-1}}{1 - 2 \cos \omega_0 z^{-1} + z^{-2}} \cdot |z| > 1 \quad a^n \sin \omega_0 n \cdot u[n] \xrightarrow{\mathcal{Z}} \frac{\sin \omega_0 (\frac{z}{a})^{-1}}{1 - 2 \cos \omega_0 (\frac{z}{a})^{-1} + (\frac{z}{a})^{-2}} \cdot |z| > |a|$$

例2. 求

$x(t) = r_{2\tau}(t) \cdot \cos \omega_0 t$, 求 $x(t)$ 的 CFT

频谱搬移



$$r_{2\tau}(t) \xrightarrow{\mathcal{F}} 2\tau \text{Sa}(\omega\tau)$$

$$\cos \omega_0 t \xrightarrow{\mathcal{F}} \frac{1}{2} \left\{ e^{j\omega_0 t} + e^{-j\omega_0 t} \right\}$$

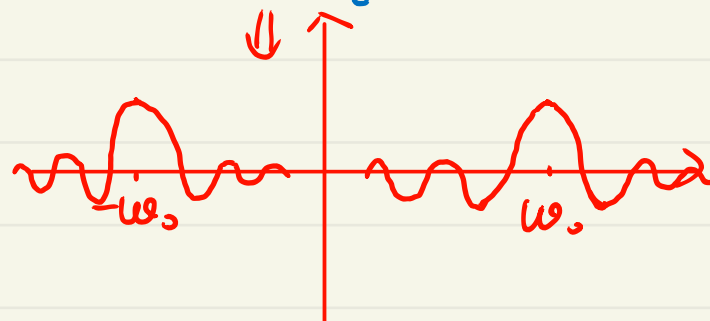
再 = 者 卷

或

$$x(t) = \frac{1}{2} r_{2\tau}(t) e^{j\omega_0 t} + \frac{1}{2} r_{2\tau}(t) e^{-j\omega_0 t}$$

再用 $e^{j\omega_0 t} \cdot f(t) \xrightarrow{\mathcal{F}} F(\omega - \omega_0)$

$$x(t) \xrightarrow{\mathcal{F}} \tau \text{Sa}[(\omega - \omega_0)\tau] + \tau \text{Sa}[(\omega + \omega_0)\tau]$$



§ 6.5 时域的微分/积分、差分/累加 变换域的微分/积分性质

§ 6.5.1 时域的微分/积分、差分/累加

一、微分/差分性质

如果 $f(t) \xrightarrow{\mathcal{F}} F(\omega)$

则 $f'(t) \xrightarrow{\mathcal{F}} j\omega \cdot F(\omega)$

$f[n] \xrightarrow{\mathcal{F}} F(\omega)$

$\Delta f[n] \xrightarrow{\mathcal{F}} (1 - e^{j\omega}) F(\omega)$

如果 $f(t) \xrightarrow{\mathcal{Z}} F(s) \quad R_F$

则 $f'(t) \xrightarrow{\mathcal{Z}} s \cdot F(s) \quad R_{0C} > R_F$

$f[n] \xrightarrow{\mathcal{Z}} F(z) \cdot R_F$

$\Delta f[n] \xrightarrow{\mathcal{Z}} (1 - z^{-1}) F(z) \cdot R_{0C} > R_F$

二. 积分/累加性质

如果 $f(t) \xrightarrow{\tilde{F}} F(\omega)$

如果 $f[n] \xrightarrow{\tilde{F}} \tilde{F}(\omega)$

$$\text{则 } \int_{-\infty}^t f(\tau) d\tau \xrightarrow{\tilde{F}} \frac{F(\omega)}{j\omega} + \pi F(0) \delta(\omega) \quad \sum_{k=-\infty}^n f[k] \xrightarrow{\tilde{F}} \frac{\tilde{F}(\omega)}{1-e^{-jn}} + \pi \tilde{F}(0) \sum_{l=-\infty}^{\infty} \delta(\omega - 2\pi l)$$

如果 $f(t) \xrightarrow{\mathcal{L}} F(s)$. R_F

$f[n] \xrightarrow{\mathcal{Z}} F(z)$. R_F

则: $\int_{-\infty}^t f(\tau) d\tau \xrightarrow{\mathcal{L}} \frac{F(s)}{s}$. $R_{Fc} > \{R_F \cap \operatorname{Re}\{s\} > 1\}$

$$\sum_{k=-\infty}^n f[k] \xrightarrow{\mathcal{Z}} \frac{F(z)}{1-z^{-1}} \quad R_{Fc} > \{R_F \cap |z| > 1\}$$

例: 求 $x(t) = \sin \pi t [u(t) - u(t-1)]$, 求 $x(t)$ 的 \mathcal{L} 变换

① 可直接 $\sin \pi t \cdot u(t) \xrightarrow{\mathcal{L}} \frac{\pi}{s^2 + \pi^2}$ 再时移

② 此处用微分性质解

$$x'(t) = \pi \cos \pi t [u(t) - u(t-1)]$$

$$x''(t) = -\pi^2 \sin \pi t [u(t) - u(t-1)] + \pi [\delta(t) + \delta(t-1)]$$

$$x''(t) = -\pi^2 x(t) + \pi [\delta(t) + \delta(t-1)]$$

$$s^2 x(s) = -\pi^2 x(s) + \pi [1 + e^{-s}]$$

$$\Rightarrow x(s) = \frac{\pi (1 + e^{-s})}{s^2 + \pi^2}$$

一. 微分性质

如果: $f(t) \xrightarrow{\mathcal{L}} F(s) \cdot R_f$

$$f[n] \xrightarrow{z} F(z) \cdot R_f$$

则: $-tf(t) \xrightarrow{\mathcal{L}} \frac{dF(s)}{ds} \quad R_{0C} = R_f$

$$-nf[n] \xrightarrow{z} z \frac{dF(z)}{dz} \cdot R_{0C} = R_F$$

如果 $f(t) \xrightarrow{\mathcal{F}} F(\omega)$

$$f[n] \xrightarrow{\tilde{\mathcal{F}}} \tilde{F}(z)$$

则: $-jt f(t) \xrightarrow{\mathcal{F}} \frac{dF(\omega)}{d\omega}$

$$-jn f[n] \xrightarrow{\tilde{\mathcal{F}}} \frac{d\tilde{F}(z)}{dz}$$

例: 求 $\frac{1}{(s+a)^2}, \quad \operatorname{Re}\{s\} > \operatorname{Re}\{-a\}$, 求其原函数

$\frac{1}{(1+az^{-1})^2} \quad |z| > |a| \quad$, 求其原序列

$$\frac{1}{s+a} \xrightarrow{\mathcal{L}^{-1}} e^{-at} u(t) \quad \operatorname{Re}\{s\} > \operatorname{Re}\{-a\} \quad \frac{1}{1+az^{-1}} \xrightarrow{z^{-1}} (-a)^n u[n] \quad |z| > |a|$$

$$-\frac{1}{(s+a)^2} \xrightarrow{\mathcal{L}^{-1}} -t \cdot e^{-at} u(t)$$

$$z \cdot \frac{d}{dz} \left(\frac{1}{1+az^{-1}} \right) = \frac{az^{-1}}{(1+az^{-1})^2}$$

$$\frac{1}{(s+a)^2} \xrightarrow{\mathcal{L}^{-1}} t \cdot e^{-at} u(t)$$

$$\therefore \frac{az^{-1}}{(1+az^{-1})^2} \xrightarrow{z^{-1}} -n \cdot (-a)^n u[n]$$

$$\therefore \frac{z^{-1}}{(1+az^{-1})^2} \xrightarrow{z^{-1}} n \cdot (-a)^{n-1} u[n]$$

再用时移 $f[n] \xrightarrow{z} F(z)$

$$f[n-1] \xrightarrow{z} z^{-1} F(z)$$

$$\therefore \frac{1}{(1+az^{-1})^2} \xrightarrow{z^{-1}} (n+1)(-a)^n u[n+1]$$

二. 积分性质

如果 $f(t) \xrightarrow{\text{CFT}} F(\omega)$

$$f[n] \xrightarrow{\text{CFT}} \tilde{F}(\omega)$$

$$\text{则 } \frac{f(t)}{-jt} + \pi f(0)\delta(t) \xrightarrow{\text{CFT}} \int_{-\infty}^{\omega} F(\omega) d\omega$$

$$\frac{f[n]}{-jn} \xrightarrow{\text{CFT}} \int_{-\infty}^{\omega} \tilde{F}(\omega) d\omega$$

$$\text{要求 } \int_{[2\pi]} \tilde{F}(\omega) d\omega = 0$$

如果 $f(t) \xrightarrow{\text{CFT}} F(s) . R_f$

$$f[n] \xrightarrow{\text{CFT}} F(z) . R_f$$

$$\text{则 } \frac{f(t)}{-t} \xrightarrow{\text{CFT}} \int_{-\infty}^s F(v) dv$$

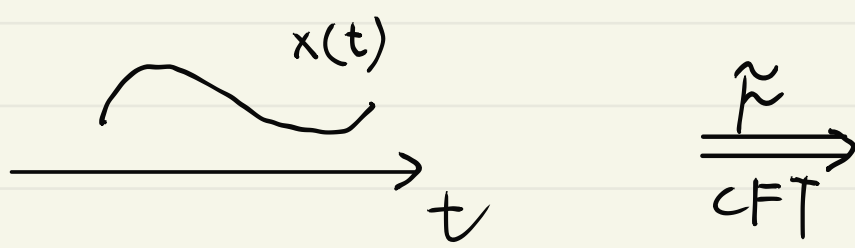
$$\frac{f[n]}{-n} \xrightarrow{\text{CFT}} \int_{-\infty}^z v^{-1} F(v) dv$$

§ 6.6 抽样定理

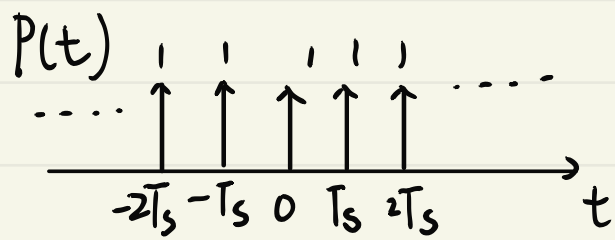
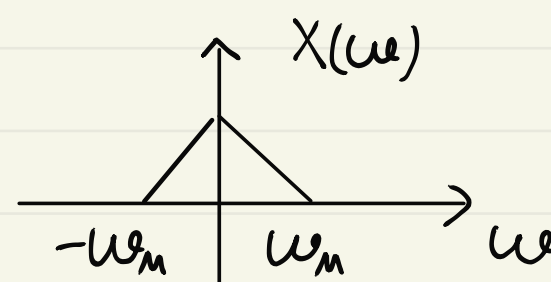
对于一个带限于 ω_m 的基带信号 $x(t)$, $X(\omega) = 0$, $|\omega| > \omega_m$.

如果我们用 $p(t) = \sum_{l=-\infty}^{\infty} \delta(t-lT_s)$ 的信号来 $x_p(t) = x(t) \cdot p(t)$,

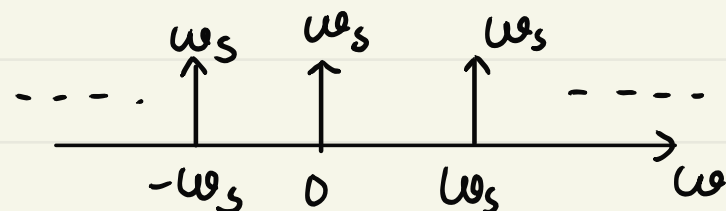
当 $T_s < \frac{\pi}{\omega_m}$ 时, $x(t)$ 可以用 $x_p(t)$ 无失真的恢复, T_s 也叫 Nyquist 抽样间隔



$\xrightarrow{\text{CFT}}$
CFT



$\xrightarrow{\text{CFT}}$
CFT

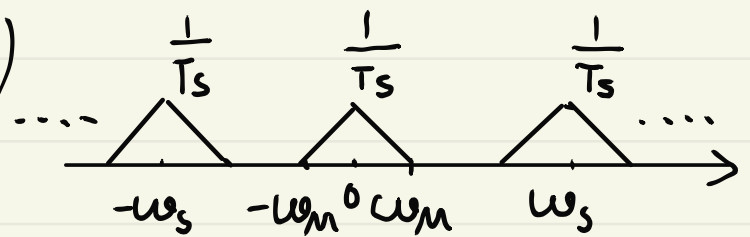


$$P(t) = \sum_{l=-\infty}^{\infty} \delta(t-lT_s)$$

$$\omega_s = \frac{2\pi}{T_s}$$

$$\omega_s \sum_{l=-\infty}^{\infty} \delta(\omega - l\omega_s)$$

$$x_p(t) = x(t) \cdot p(t) \xrightarrow{\text{FT}} \frac{1}{2\pi} \times (\omega) * P(\omega)$$

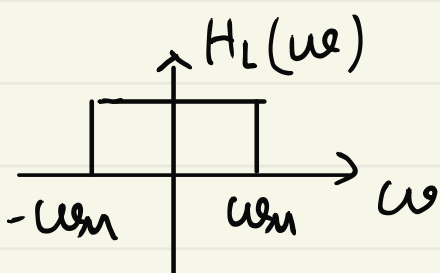


$$\omega_s - \omega_m > \omega_m$$

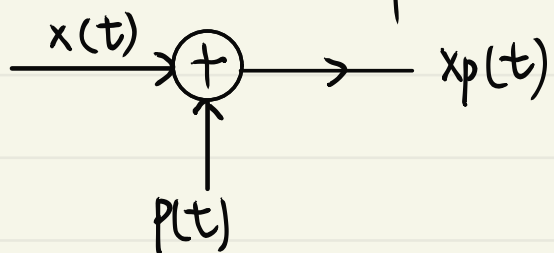
$$\omega_s > 2\omega_m$$

若要由 $x_p(t)$ 恢复 $x(t)$

只要在频域上乘以 $H_L(\omega)$



连续时间抽样



二. 欠抽样

T_s 太大了， $T_s > \frac{\pi}{\omega_m}$ $\omega_s = \frac{2\pi}{T_s}$ 较小，导致 $\omega_s < 2\omega_m$

会出现频谱混叠，无法恢复 $x(t)$

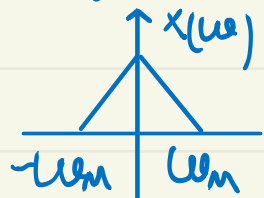
例：若 $x(t)$ 是满足带限于 ω_m 的低通信号，对于以下信号进行抽样，为了能够从抽样序列恢复原信号，请问最大的抽样间隔是多少？

$$(1) y_1(t) = x(t) + x(t-1)$$

$$(2) y_2(t) = x^2(t)$$

$$(1) Y_1(\omega) = X(\omega) + X(\omega) \cdot e^{-j\omega t} = X(\omega) [1 + e^{-j\omega t}], T_{IS} = \frac{\pi}{\omega_m}$$

$$(2) Y_2(\omega) = \frac{1}{2\pi} \times (\omega) * X(\omega) * X(\omega)$$



$X(\omega) * X(\omega)$ 带宽为 $-2\omega_m \sim 2\omega_m$

$$\therefore T_{IS} = \frac{\pi}{2\omega_m}$$

§6.7 对称性质

§6.7.1 对称性质

一、CFT 和 DTFT 的对称性质

如果 $f(t) \xrightarrow{\mathcal{F}} F(\omega)$

$$f[n] \xrightarrow{\tilde{\mathcal{F}}} \tilde{F}(\Omega)$$

则: $f(-t) \xrightarrow{\tilde{\mathcal{F}}} F(-\omega)$

$$f[-n] \xrightarrow{\tilde{\mathcal{F}}} \tilde{F}(-\Omega)$$

$$f^*(t) \xrightarrow{\tilde{\mathcal{F}}} F^*(-\omega)$$

$$f^*[n] \xrightarrow{\tilde{\mathcal{F}}} \tilde{F}^*(-\Omega)$$

$$f^*(-t) \xrightarrow{\tilde{\mathcal{F}}} F^*(\omega)$$

$$f^*[E_n] \xrightarrow{\tilde{\mathcal{F}}} \tilde{F}^*(\Omega)$$

二、拉氏变换和 Z 变换的对称性质

如果:

$$f(t) \xrightarrow{\mathcal{L}} F(s), \quad 0_1 < \operatorname{Re}\{s\} < 0_2$$

$$f[n] \xrightarrow{\mathcal{Z}} F(z) \quad r_1 < |z| < r_2$$

则

$$f(-t) \xrightarrow{\mathcal{L}} F(-s), \quad -0_2 < \operatorname{Re}\{s\} < -0_1$$

$$f[-n] \xrightarrow{\mathcal{Z}} F(\frac{1}{z}) \quad \frac{1}{r_2} < |z| < \frac{1}{r_1}$$

$$f^*(t) \xrightarrow{\mathcal{L}} F^*(s^*), \quad 0_1 < \operatorname{Re}\{s\} < 0_2$$

$$f^*[n] \xrightarrow{\mathcal{Z}} F^*(z^*) \quad r_1 < |z| < r_2$$

$$f^*(-t) \xrightarrow{\mathcal{L}} F^*(-s^*), \quad -0_2 < \operatorname{Re}\{s\} < -0_1$$

$$f^*[-n] \xrightarrow{\mathcal{Z}} F^*(\frac{1}{z^*}) \quad \frac{1}{r_2} < |z| < \frac{1}{r_1}$$

§6.7.2 时域对称性质与变换域对称之间的关系

一、时域上奇偶对称

如果: $f(t) = \pm f(-t)$

$$f[n] = \pm f[-n]$$

则: $F(\omega) = \pm \tilde{F}(-\omega)$

$$\tilde{F}(\Omega) = \pm \tilde{F}(-\Omega)$$

$$F(s) = \pm F(-s) \quad -0_0 < \operatorname{Re}\{s\} < 0_0$$

$$F(z) = \pm F(\frac{1}{z}) \quad \frac{1}{r_0} < |z| < r_0$$

例：求 $e^{-at}|_{Re\{a\}>0}$ 的拉氏变换。 $a^n, 0 < |a| < 1$ 的 Z 变换

$$x(t) = e^{-at} = \underbrace{e^{-at} u(t)}_{x_1(t)} + \underbrace{e^{at} u(-t)}_{x_1(-t)} \xrightarrow{\mathcal{L}} \frac{1}{s+a} + \frac{1}{s-a} = \frac{2a}{a^2 - s^2}$$

Re\{a\} > Re\{s\} > Re\{-a\}

$$x[n] = a^n = a^n u[n] + a^{-n} u[-n] - \delta[n] \xrightarrow{Z} \frac{1}{1-az^{-1}} + \frac{1}{1-a\bar{z}} - 1$$

$$= \frac{1-a^2}{(1-az^{-1})(1-a\bar{z})}$$

|a| < |z| < \frac{1}{|a|}

对于 L 而言，

$z_i, -\bar{z}_i$ 是成对出现的
 $p_i, -\bar{p}_i$

对于 Z 变换而言

$z_i, \frac{1}{z_i}$
 $p_i, \frac{1}{p_i}$ 是成对出现的

二. 时域上共轭对称。

如果： $f(t) = \pm f^*(t)$

则： $F(\omega) = \pm F^*(-\omega)$

$F(s) = \pm F^*(s^*)$

$f[n] = \pm f^*[n]$

$\tilde{F}(n) = \pm F^*(-n)$

$F(z) = \pm F^*(z^*)$

对于 L、Z 变换而言，如果 z_i 是零点，则 z_i^* 一定也是零点。
 p_i 是极点，则 p_i^* 一定也是极点。

也就是说，对于时域上的实（纯虚）的函数，其零极点如果是复数的话，一定是共轭的。

三. 时域上是实偶 及 实奇函数

① 对于 \mathcal{Z} 而言

时域上是实偶的话, 其频域上也是实偶的
实奇 是纯虚的奇函数

② \mathcal{L} 变换和 \mathcal{Z} 变换

对于 \mathcal{L} 变换而言,

如果 z_i , 一定 z_i^* , $-z_i$, $-z_i^*$ 一定也是像函数的零点

p_i , 一定 p_i^* , $-p_i$, $-p_i^*$

收敛域一定是 $-\sigma < \operatorname{Re}\{s\} < 0$



对于 \mathcal{Z} 变换而言,

如果 z_i , 一定 z_i^* , $\frac{1}{z_i}$, $\frac{1}{z_i^*}$ 一定也是 ... 零点.

p_i , p_i^* , $\frac{1}{p_i}$, $\frac{1}{p_i^*}$ 极点.

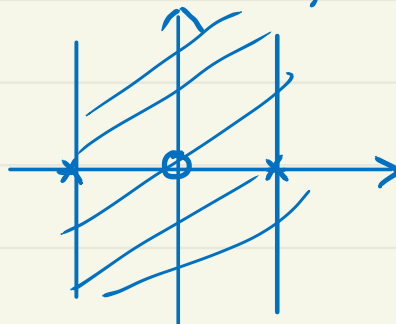
收敛域一定是 $\frac{1}{r_0} < |z| < r_0$

例: 求 $e^{-at}|t| \operatorname{sgn}(t)$, $\operatorname{Re}\{a\} > 0$ 的 \mathcal{L} 变换

$a^{|n|} \operatorname{sgn}[n]$, $|a| < 1$ 的 \mathcal{Z} 变换

$$e^{-at}|t| \operatorname{sgn}(t) = e^{-at}u(t) - e^{at}u(-t) \xrightarrow{\mathcal{L}} \frac{1}{s+a} - \frac{1}{s-a} = \frac{2s}{s^2-a^2}$$

$\operatorname{Re}\{s\} > -a \quad \operatorname{Re}\{s\} < a$



$$a^n sgn[n] = a^n u[n] - a^{-n} u[-n] \xrightarrow{z} \frac{1}{1-a z^{-1}} - \frac{1}{1-a z} = \frac{1-z^{-2}}{(1-a z^{-1})(1-a^{-1} z^{-1})}$$

A unit circle in the complex plane with two poles marked: one at a on the positive real axis and another at $\frac{1}{a}$ on the positive real axis. The origin is marked with a small circle containing a plus sign.

四. 傅里叶变换的奇偶虚实特性

对于一个实函数(序列)如果求傅里叶变换

$$f(t) \xrightarrow{\text{CFT}} F_R(\omega) + j F_I(\omega)$$

$$f[n] \xrightarrow{\text{DTFT}} \tilde{F_R}(\Omega) + j \tilde{F_I}(\Omega)$$

$$\text{另外如果 } f(t) = f_e(t) + f_o(t) \quad f[n] = f_e[n] + f_o[n]$$

$$\text{其中 } f_e(\cdot), f_o(\cdot) \text{ 分别为偶、奇分量} \quad f_e(t) = \frac{f(t) + f(-t)}{2}$$

$$\text{则 } f_e(t) \xrightarrow{\text{F}} F_R(\omega) \quad f_e[n] \xrightarrow{\text{F}} \tilde{F_R}(\Omega) \quad f_o(t) = \frac{f(t) - f(-t)}{2}$$

$$f_o(t) \xrightarrow{\text{F}} j \tilde{F_I}(\omega) \quad f_o[n] \xrightarrow{\text{F}} j \tilde{F_I}(\Omega)$$

§6.8 尺度变换性质

$$\text{如果 } f(t) \xrightarrow{s} F(s) \quad \sigma_1 < \operatorname{Re}\{s\} < \sigma_2$$

$$f(at) \xrightarrow{s} \frac{1}{|a|} F\left(\frac{s}{a}\right) \quad a\sigma_1 < \operatorname{Re}\{s\} < a\sigma_2, a>0$$

$$a\sigma_2 < \operatorname{Re}\{s\} < a\sigma_1, a<0$$

$$f(t) \xrightarrow{\text{F}} F(\omega)$$

$$f(at) \xrightarrow{\text{F}} \frac{1}{|a|} F\left(\frac{\omega}{a}\right)$$

§6.9 相关定理 和 Paswal 定理、能量谱和功率谱

一、能量信号的相关定理

$$R_{xv}(t) = x(t) * v^T(-t) \xrightarrow{\tilde{F}} X(\omega) \cdot V^*(\omega) \quad R_x(t) \xrightarrow{\tilde{F}} |X(\omega)|^2$$

$$R_{xv}[n] = x[n] * v^T[-n] \xrightarrow{\tilde{F}} \tilde{x}(\omega) \cdot V^*(\tilde{\omega}) \quad R_x[n] \xrightarrow{\tilde{F}} |\tilde{x}(\omega)|^2$$

$$R_x(0) = \int_{-\infty}^{\infty} |x(t)|^2 dt \quad R_x(t) = \frac{1}{2\pi} \int_{-\infty}^{\infty} |X(\omega)|^2 e^{j\omega t} d\omega$$

$$R_x(0) = \frac{1}{2\pi} \int_{-\infty}^{\infty} |X(\omega)|^2 d\omega$$

$$\Rightarrow \int_{-\infty}^{\infty} |x(t)|^2 dt = \frac{1}{2\pi} \int_{-\infty}^{\infty} |X(\omega)|^2 d\omega$$

能量

$$\sum_{n=-\infty}^{\infty} |x[n]|^2 = \frac{1}{2\pi} \int_{-2\pi}^{2\pi} |\tilde{x}(\omega)|^2 d\omega \quad |X(\omega)|^2, |\tilde{x}(\omega)|^2 \text{ 能量谱密度}$$

已知实序列 $x[n] \rightarrow \tilde{x}(\omega)$ (1) $x[n]=0, n>0$ (2) $x[0]>0$

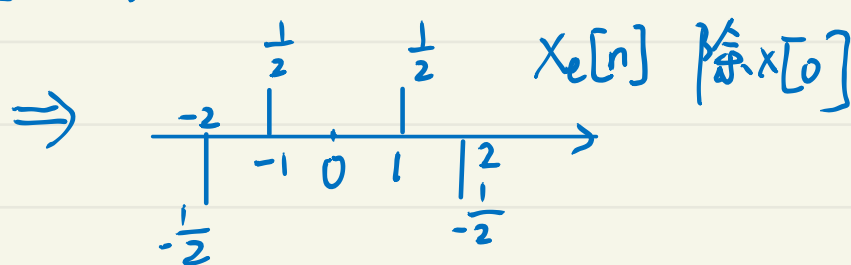
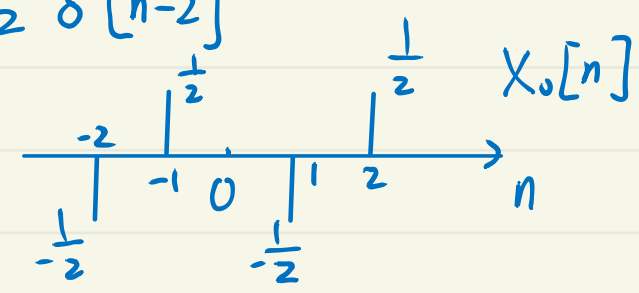
$$(3) \int_{-2\pi}^{2\pi} |X(\omega)|^2 d\omega = 12\pi \quad (4) x[n] \xrightarrow{\tilde{F}} \tilde{R}(\omega) + j \tilde{I}(\omega), \quad \tilde{I}(\omega) = \sin \omega - \sin 2\omega$$

$\tilde{x}(\omega)$

$$x_0[n] \xrightarrow{\tilde{F}} j \tilde{I}(\omega) = j \sin \omega - j \sin 2\omega = \frac{1}{2} e^{j\omega} - \frac{1}{2} e^{-j\omega} - \frac{1}{2} e^{2j\omega} + \frac{1}{2} e^{-2j\omega}$$

$$x_0[n] = \frac{1}{2} \delta[n+1] - \frac{1}{2} \delta[n-1] - \frac{1}{2} \delta[n+2] + \frac{1}{2} \delta[n-2]$$

由 $x[n]=0, n>0$



\Rightarrow 除 $x[0]$ 外 $x[-1]=1, x[-2]=-1, x[-n]=0$

$$x: \sum_{n=-\infty}^{\infty} |x[n]|^2 = \frac{1}{2\pi} \int_{-2\pi}^{2\pi} |\tilde{x}(\omega)|^2 d\omega = 6$$

$$\therefore \Rightarrow x[0] = 2$$

二. 功率信号的相关定理, Pasval 定理和功率谱

对于功率信号. $R_{XV}(t) \xrightarrow{\tilde{\mathcal{F}}} \lim_{T \rightarrow \infty} \frac{1}{2T} X_{2T}(\omega) \cdot V_{2T}^*(\omega)$

$$R_{XV}[n] \xrightarrow{\tilde{\mathcal{F}}} \lim_{N \rightarrow \infty} \frac{1}{2N+1} X_{2N+1}(\omega) \cdot V_{2N+1}^*(\omega)$$

对于自相关函数: $R_X(t) \xrightarrow{\tilde{\mathcal{F}}} \lim_{T \rightarrow \infty} \frac{1}{2T} |X_{2T}(\omega)|^2$

$$R_X[n] \xrightarrow{\tilde{\mathcal{F}}} \lim_{N \rightarrow \infty} \frac{1}{2N+1} |X_{2N+1}(\omega)|^2$$

功率谱密度

$$R_X(0) = \frac{1}{2\pi} \int_{-\infty}^{\infty} \lim_{T \rightarrow \infty} \frac{|X_{2T}(\omega)|^2}{2T} d\omega$$

$$\lim_{T \rightarrow \infty} \frac{1}{2T} \int_{-T}^T |x(t)|^2 dt = \frac{1}{2\pi} \int_{-\infty}^{\infty} \lim_{T \rightarrow \infty} \frac{|X_{2T}(\omega)|^2}{2T} d\omega$$

Pasval 定理

$$\lim_{N \rightarrow \infty} \frac{1}{2N+1} \sum_{n=-N}^N |x[n]|^2 = \frac{1}{2\pi} \int_{-2\pi}^{2\pi} \lim_{N \rightarrow \infty} \frac{|X_{2N+1}(\omega)|^2}{2N+1} d\omega$$

§ 6.10 希尔伯特变换

一个因果的 $f(t)$, $f(t)=0, t<0$, 且在 0 点包含奇异函数, 也就是
 $f(t) = f(t) \cdot u(t)$

如果: $f(t) \xrightarrow{\mathcal{F}} F(\omega) = F_R(\omega) + jF_I(\omega)$

$$\text{则 } F_R(\omega) = \frac{1}{\pi} \int_{-\infty}^{\infty} \frac{F_I(\theta)}{\omega - \theta} d\theta \quad F_I(\omega) = -\frac{1}{\pi} \int_{-\infty}^{\infty} \frac{F_R(\theta)}{\omega - \theta} d\theta$$

希尔伯特

$$f(t) \xrightarrow{\tilde{F}} F_R(\omega) + j F_I(\omega) \quad u(t) \xrightarrow{\tilde{F}} \pi \delta(\omega) + \frac{1}{j\omega}$$

$$F_R(\omega) + j F_I(\omega) = \frac{1}{2\pi} [F_R(\omega) + j F_I(\omega)] * [\pi \delta(\omega) + \frac{1}{j\omega}]$$

$$\frac{1}{2} [F_R(\omega) + j F_I(\omega)] = \frac{1}{2\pi} [F_R(\omega) + j F_I(\omega)] * \frac{1}{j\omega}$$

$$F_R(\omega) = \frac{1}{\pi} F_I(\omega) * \frac{1}{\omega} \quad F_I(\omega) = \frac{-1}{\pi} F_R(\omega) * \frac{1}{\omega}$$

§ 6.11 傅里叶变换和傅里叶级数的对偶性质

一. CFT 正反变换 对偶性质

如果 $f(t) \xrightarrow{\text{CFT}} g(\omega)$
 则 $g(t) \xrightarrow{\text{CFT}} 2\pi f(-\omega)$

$$f(t) = \tilde{F}^{-1}\{g(\omega)\} = \frac{1}{2\pi} \int_{-\infty}^{\infty} g(\omega) e^{j\omega t} d\omega$$

$$\tilde{F}\{g(t)\} = \int_{-\infty}^{\infty} g(\omega) e^{-j\omega t} d\omega$$

① $| \xrightarrow{\text{CFT}} 2\pi \delta(\omega)$
 $\delta(t) \xrightarrow{\text{CFT}} |$

② $R_T(t) \xrightarrow{\text{CFT}} T \text{Sa} \frac{\omega T}{2}$
 $\frac{W}{\pi} \text{Sa}(wt) \xrightarrow{\text{CFT}} R_{2W}(\omega)$

③ $\text{sgn}(t) \xrightarrow{\tilde{F}} \frac{2}{j\omega}$
 $\frac{1}{\pi t} \xrightarrow{\tilde{F}} -j \text{sgn}(\omega)$

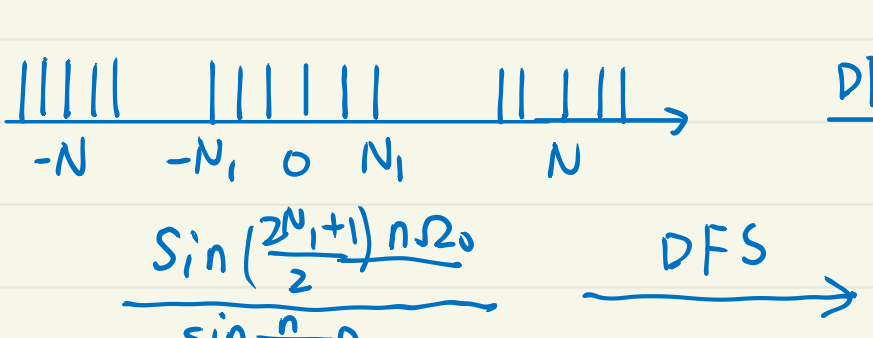
※
 90°相移器

④ $u(t) \xrightarrow{\tilde{F}} \pi \delta(\omega) + \frac{1}{j\omega}$
 $\frac{1}{2\pi} [\pi \delta(t) - \frac{1}{j\omega}] \xrightarrow{\tilde{F}} U(\omega)$

二. DFS 正反变换的对偶性质

如果 $\tilde{x}[n] \xrightarrow{\text{DFS}} \tilde{F}_k$

$$\tilde{f}[n] \xrightarrow{\text{DFS}} \frac{1}{N} \tilde{x}_{-k}$$



$$\frac{1}{N} \sum_{n=-N}^N x[n] e^{-j \frac{2\pi}{N} n k} \xrightarrow{\text{DFS}} \frac{1}{N} \sum_{n=-\infty}^{\infty} R_{2N+1}[k-n]$$

$$\frac{\sin \frac{(2N+1)k\pi}{2}}{\sin \frac{\pi}{2} k\pi}$$

三. CFS 与 DTFT 正反变换的对偶关系

如果 $f[n] \xrightarrow{\text{DTFT}} \tilde{g}(\omega) \leftarrow 2\pi \text{为周期}$

则 $\tilde{g}(t) \xrightarrow{\text{CFS}} f_{-k} \quad \tilde{g}\left(\frac{2\pi}{T}t\right) \xrightarrow{\text{CFS}} f_{-k} \leftarrow \text{周期为 } T$

证明: $f[n] = \frac{1}{2\pi} \int_{[-\pi, \pi]} \tilde{g}(\omega) e^{jn\omega} d\omega \Leftarrow \text{DTFT 的反变换}$

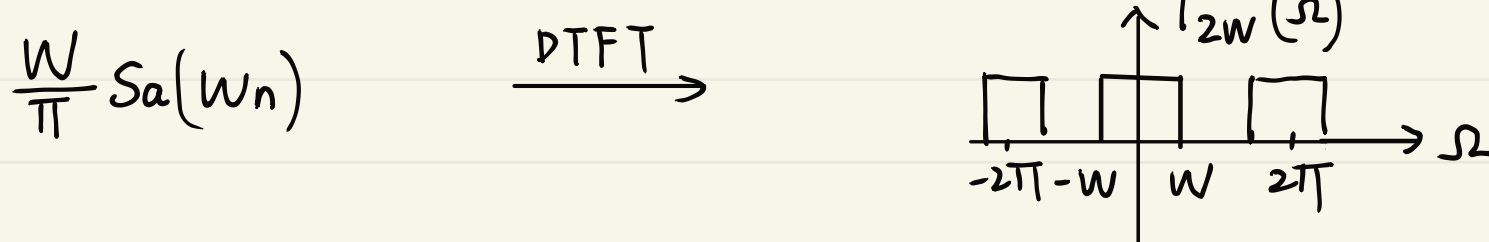
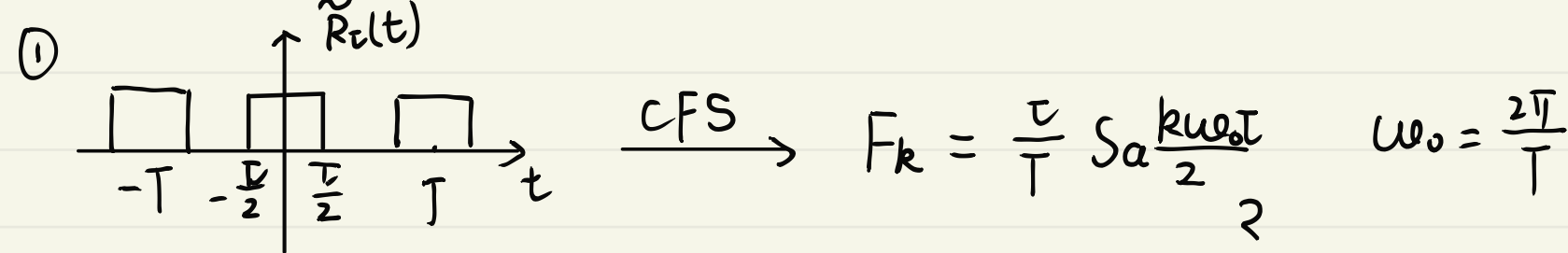
$$\text{CFS} \left\{ \tilde{g}\left(\frac{2\pi}{T}t\right) \right\} = \frac{1}{T} \int_{[-\pi, \pi]} \tilde{g}\left(\frac{2\pi t}{T}\right) e^{-jk\omega_0 t} dt \quad \omega_0 = \frac{2\pi}{T}$$

$$\text{令 } \frac{\frac{2\pi}{T}t = \tau}{t = \frac{\pi T}{2\pi}} \quad \frac{1}{T} \int_{[-\pi, \pi]} \tilde{g}(\tau) e^{-jk\frac{2\pi}{T}\tau} \cdot \frac{T}{2\pi} d\tau \cdot \frac{T}{2\pi}$$

$$= \frac{1}{2\pi} \int_{[-\pi, \pi]} \tilde{g}(\tau) e^{-jk\tau} \cdot d\tau = f_{-k} = f[-k]$$

一样的, 只是写法不同

典型的



§6.12 拉氏变换和Z变换的初值和终值定理

- 初值定理

对于一个因果的 $f(t)$, 也就是 $f(t)=0, t<0$, 且在0处没有冲激函数.

如 $f(t) \xrightarrow{\mathcal{L}} F(s)$, 则: $\lim_{t \rightarrow 0^+} f(t) = \lim_{s \rightarrow \infty} sF(s)$

$$f'(t) \xrightarrow{\mathcal{L}} sF(s)$$

$$\mathcal{L}\{f'(t)\} = \int_{-\infty}^{\infty} f'(t) e^{-st} dt = \int_{0^-}^0 f'(t) e^{-st} dt + \int_{0^+}^{+\infty} f'(t) e^{-st} dt$$

$$= f(0^+) - f(0^-) + \int_0^{+\infty} f(t) e^{-st} dt = sF(s)$$

$$f(0^+) + \underbrace{\lim_{s \rightarrow \infty} \int_0^{+\infty} f'(t) e^{-st} dt}_{0} = \lim_{s \rightarrow \infty} sF(s)$$

$$\therefore \lim_{t \rightarrow 0^+} f(t) = \lim_{s \rightarrow \infty} sF(s)$$

对于一个因果的 $f[n]$, 即 $f[n] = 0, n < 0$, 如果 $f[n] \xrightarrow{z} F(z)$

$$\text{则: } f[0] = \lim_{z \rightarrow \infty} F(z)$$

$$\lim_{z \rightarrow \infty} F(z) = \lim_{z \rightarrow \infty} \sum_{n=0}^{\infty} f[n] z^{-n} = f[0]$$

二. 终值定理

$$\lim_{t \rightarrow \infty} f(t) = \lim_{s \rightarrow 0} sF(s)$$

$$\lim_{n \rightarrow \infty} f[n] = \lim_{z \rightarrow 1} (z-1) F(z)$$

$$f(0^+) + \lim_{s \rightarrow 0} \int_0^{+\infty} f'(t) e^{-st} dt = \lim_{s \rightarrow 0} sF(s)$$

$$f[n+1] - f[n] \xrightarrow{z} (z-1) F(z)$$

$$= f(0^+) + \int_0^{+\infty} f'(t) \lim_{s \rightarrow 0} e^{-st} dt$$

$$z \{ f[n+1] - f[n] \} = \sum_{n=-1}^{\infty} [f[n+1] - f[n]] z^n$$

$$= f(0^+) + f(+\infty) - f(0^+) = f(\infty)$$

$$= f[0] z + \sum_{n=0}^{\infty} (f[n+1] - f[n]) z^n$$

$$\lim_{z \rightarrow 1} f[0] z + \sum_{n=0}^{\infty} (f[n+1] - f[n]) z^{-n}$$

$$= f[0] + (f[1] - f[0]) + (f[2] - f[1]) \dots$$

$$= f(\infty)$$

$$\therefore \lim_{n \rightarrow \infty} f[n] = \lim_{z \rightarrow 1} (z-1) F(z)$$

第七章 在通信中的应用

§7.2 信号无失真传输

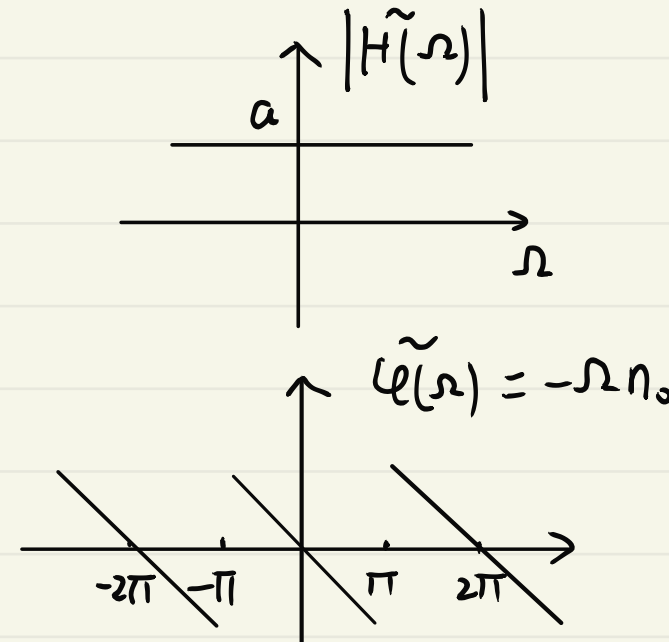
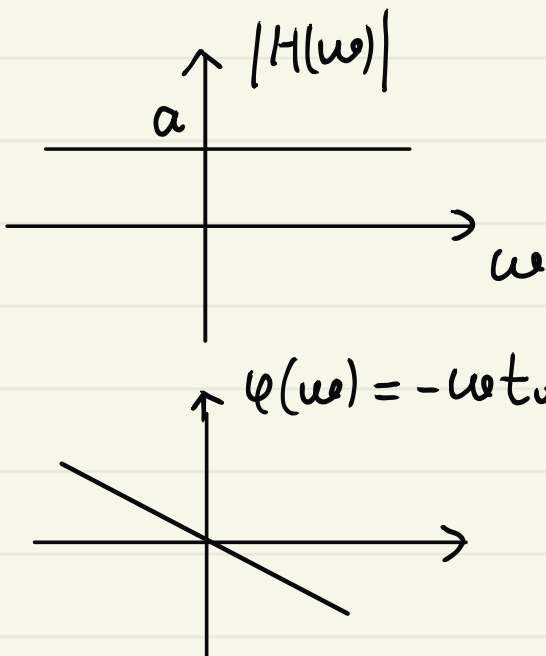
$$y(t) = a x(t - t_0)$$

$$y[n] = a x[n - n_0]$$

信号无失真传输，也就是 $h(t) = a \delta(t - t_0)$, $h[n] = a \delta[n - n_0]$

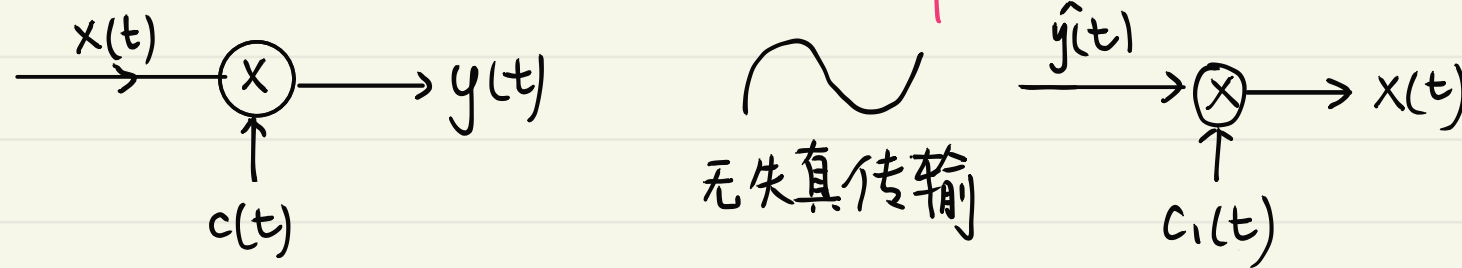
$$H(\omega) = a e^{-j\omega t_0}$$

$$\tilde{H}(\Omega) = a e^{-j\Omega n_0}$$

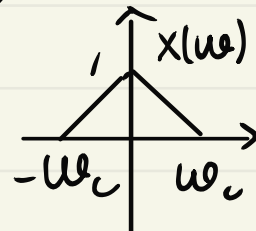


工程上，只要在信号有用的范围内做到无失真传输就可以了

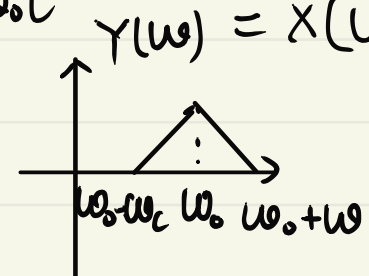
§7.4 正弦幅度调制与相干解调



$$\textcircled{1} c(t) = e^{j\omega_c t}$$



$$y(t) = x(t) \cdot e^{j\omega_c t}$$



$$\hat{y}(t) e^{-j\omega_c t} = x(t) \cdot e^{j\omega_c t} \cdot e^{-j\omega_c t} = x(t)$$

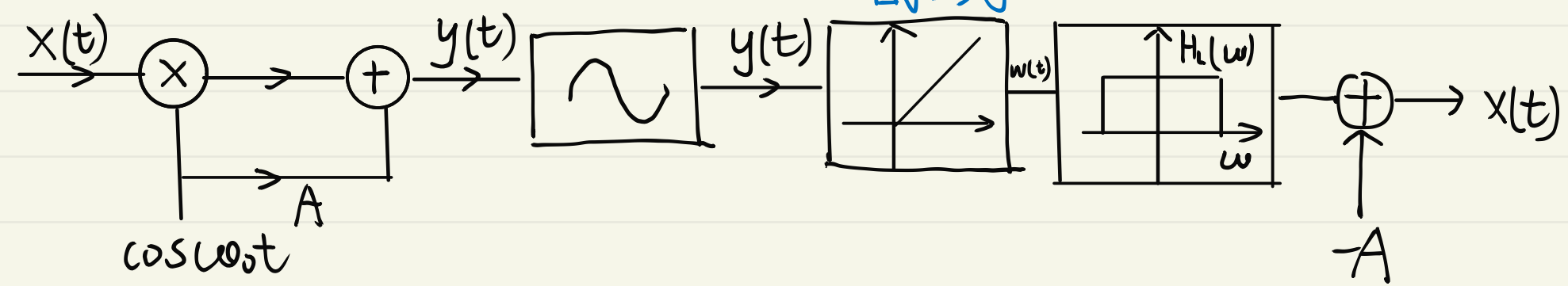
$$\textcircled{2} c(t) = \cos \omega_c t$$

$$y(t) = x(t) \cdot \cos \omega_c t = \frac{1}{2} x(t) \cdot e^{j\omega_c t} + \frac{1}{2} x(t) \cdot e^{-j\omega_c t}$$

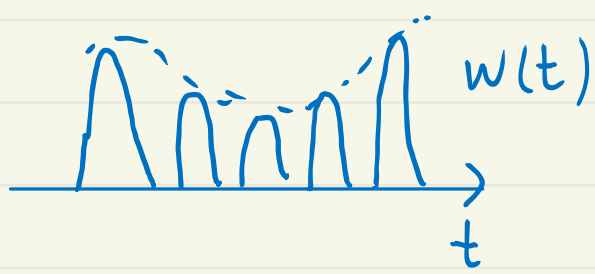
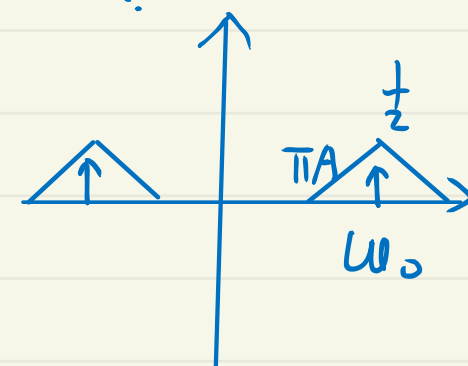
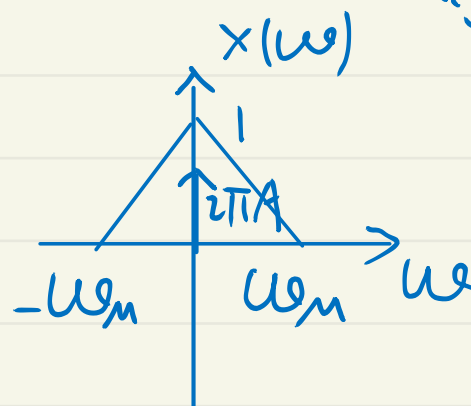
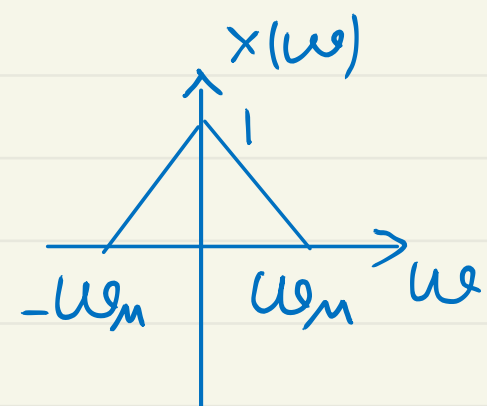
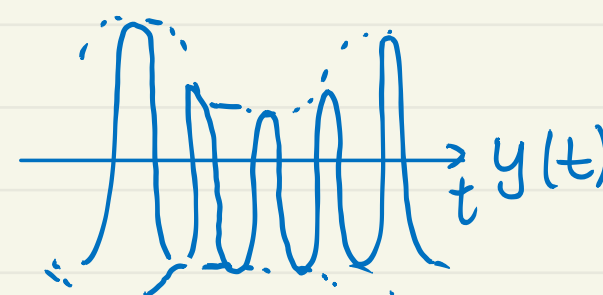
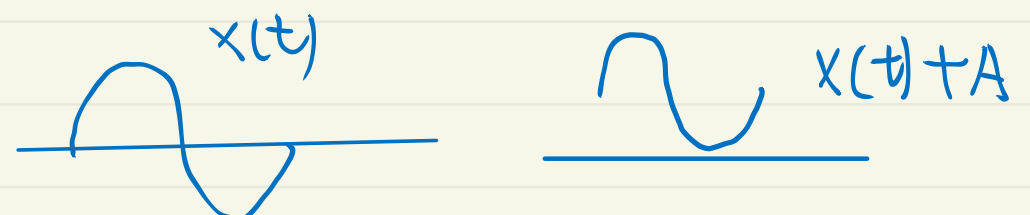
$$Y(\omega) = \frac{1}{2} X(\omega - \omega_c) + \frac{1}{2} X(\omega + \omega_c)$$

$$\hat{y}(t) = y(t) \quad \hat{y}(t) \cos \omega_0 t = x(t) \cos \omega_0 t + \cos \omega_0 t \\ = \frac{1}{2} x(t) + \frac{1}{2} x(t) \cos 2\omega_0 t$$

§7.5 调幅与检波



$$y(t) = (x(t) + A) \cos \omega_0 t$$



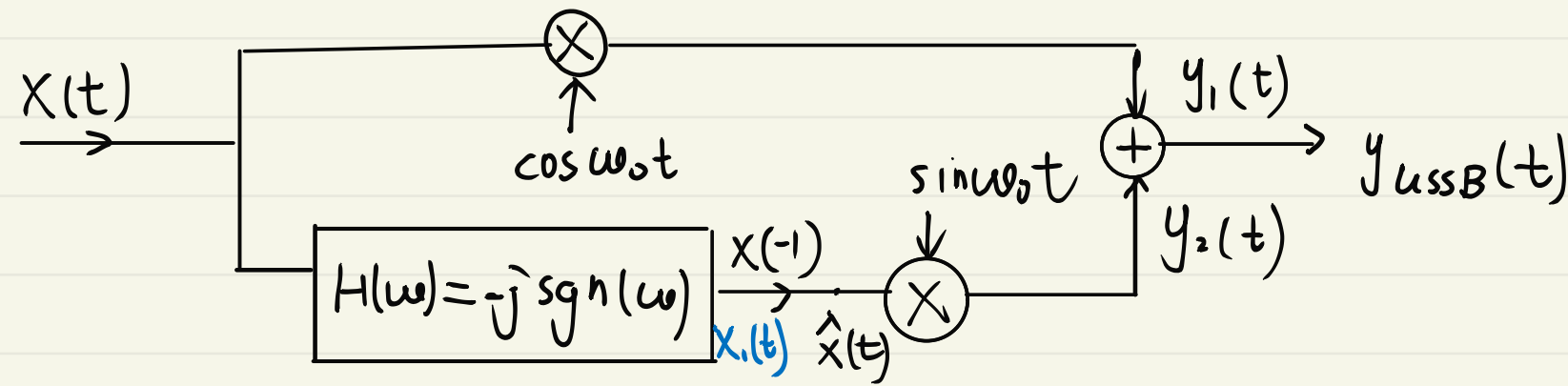
再通过低频滤波器 \Rightarrow



再 -A \Rightarrow

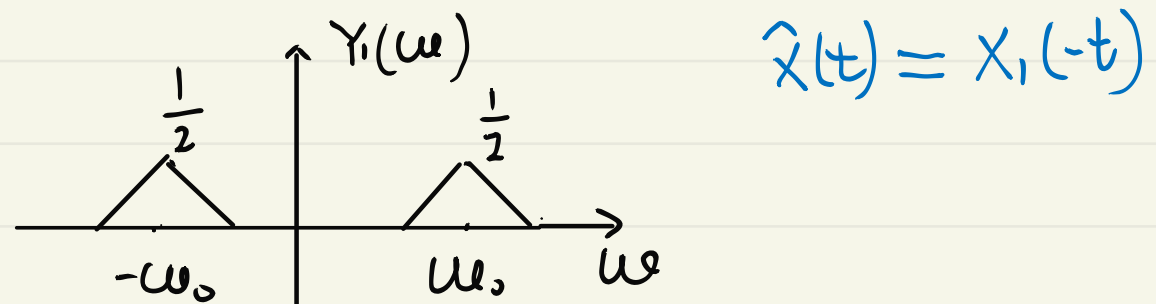
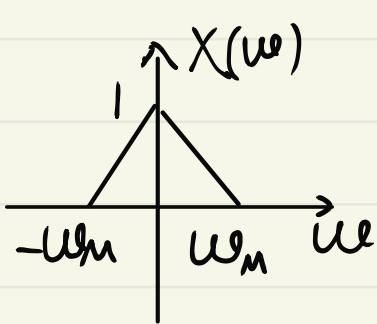


§7.6 单边带调制



$$h(t) = \frac{1}{\pi t} \xrightarrow{\mathcal{F}} -j \operatorname{sgn}(\omega)$$

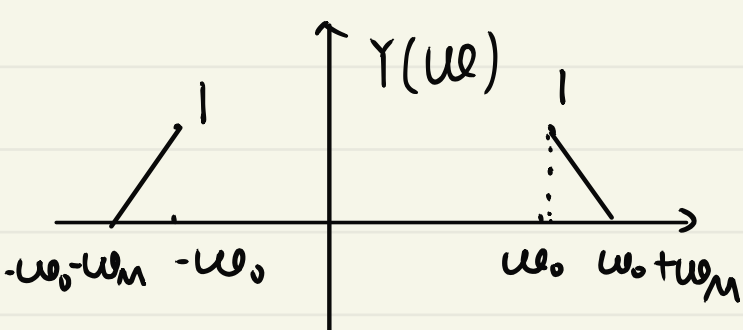
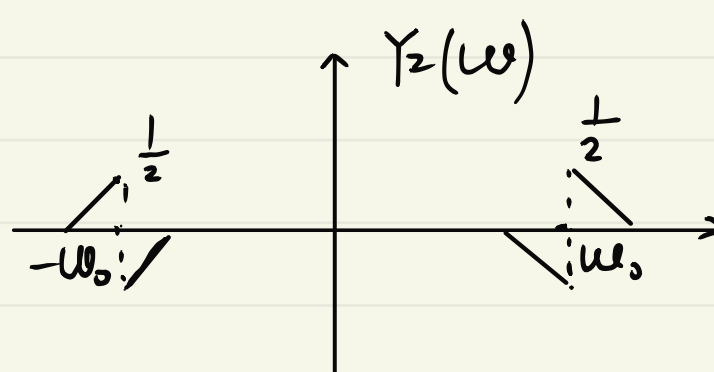
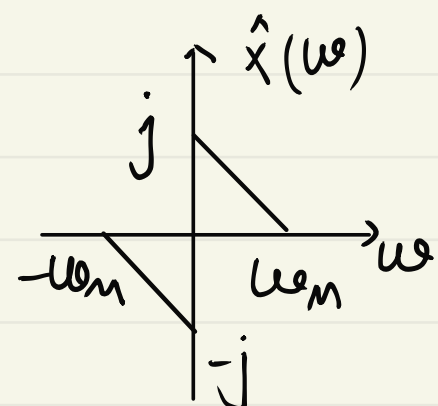
$$y_1(t) = x(t) \cdot \cos \omega_0 t = \frac{1}{2} x(t) e^{j\omega_0 t} + \frac{1}{2} x(t) e^{-j\omega_0 t}$$



$$\hat{x}(t) = x(-t)$$

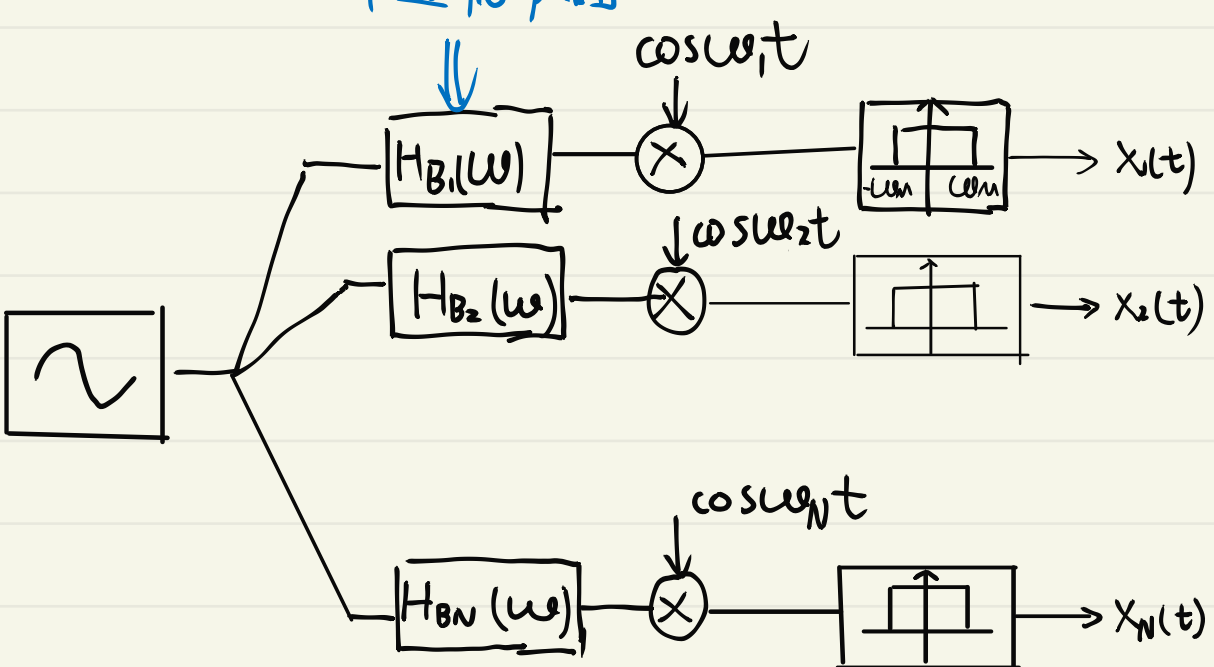
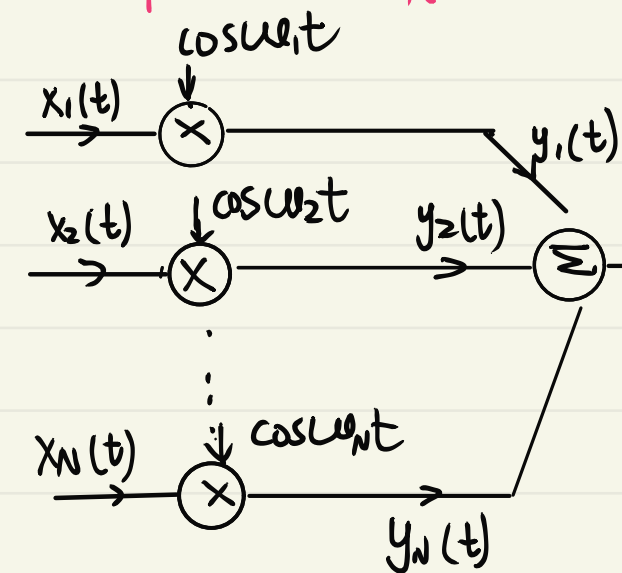
$$y_2(t) = \hat{x}(t) \cdot \sin \omega_0 t = \frac{j}{2} \hat{x}(t) e^{-j\omega_0 t} - \frac{j}{2} \hat{x}(t) e^{j\omega_0 t}$$

$$Y_2(w) = \frac{j}{2} \hat{x}(w+w_0) - \frac{j}{2} \hat{x}(w-w_0)$$

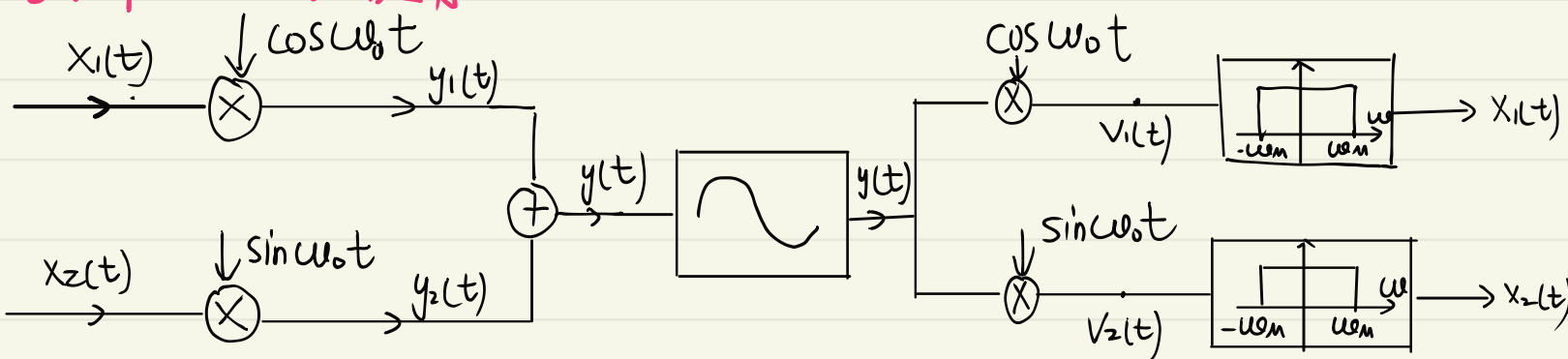


带通滤波器 只选出某一步频段的

§7.9 多路复用



§7.9.2 正交复用



$$y(t) = x_1(t) \cos \omega_0 t + x_2(t) \sin \omega_0 t$$

解调端

$$v_1(t) = y(t) \cos \omega_0 t = \frac{1}{2} x_1(t) + \frac{1}{2} x_1(t) \cos 2\omega_0 t + \frac{1}{2} x_2(t) \sin 2\omega_0 t$$

频域上: 0 附近

$2\omega_0$ 附近

$2\omega_0$ 附近

再低通滤波 $\rightarrow x_1(t)$

$$v_2(t) = y(t) \sin \omega_0 t = \frac{1}{2} x_1(t) \sin 2\omega_0 t + \frac{1}{2} x_2(t) - \frac{1}{2} x_2(t) \cos 2\omega_0 t$$

第八章 系统的变换域分析与综合

§8.2 LTI系统的变换域分析

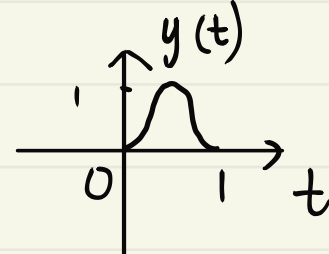
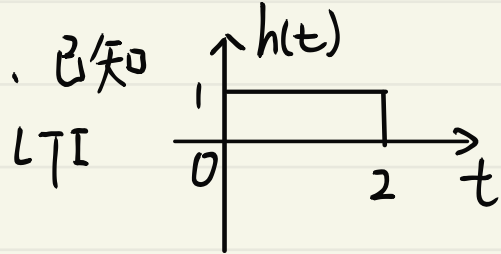
$$x(t) * h(t) \xrightarrow{\mathcal{F}} X(\omega) H(\omega)$$

$$x[n] * h[n] \xrightarrow{\mathcal{F}} \tilde{X}(\Omega) \tilde{H}(\Omega)$$

$$x(t) * h(t) \xrightarrow{\mathcal{L}} X(s) H(s), R_{\mathcal{C}} \supset R_x \cap R_h$$

$$x[n] * h[n] \xrightarrow{\mathcal{Z}} X(z) H(z) R_{\mathcal{C}} \supset R_x \cap R_h$$

例1. 已知



$$h(t) = u(t) - u(t-2)$$

$$h(t) \xrightarrow{\mathcal{L}} \frac{1}{s}(1 - e^{-2s})$$

极点0会被 $z_i = jk\pi, k=0$ 时
消掉

\therefore 收敛域为有限S平面

$$X(s) = \frac{Y(s)}{H(s)} = \frac{\pi s}{s^2 + \pi^2} \frac{1 + e^{-s}}{1 - e^{-2s}} = \frac{\pi s}{s^2 + \pi^2} \cdot \frac{1}{1 - e^{-s}}$$

$$= \sum_{k=0}^{\infty} \frac{\pi s}{s^2 + \pi^2} e^{-ks}$$

$$\frac{\pi s}{s^2 + \pi^2} e^{-ks} \xrightarrow{\mathcal{L}^{-1}} \pi \cos \pi(t-k) u(t-k)$$

极点 $\pm j\pi, 2kj\pi$

$$\text{Re}\{s\} > 0$$

例2. 已知 $x[n] = a^n u[n]$, 输入到因果LTI系统, 输出为 $y[n] = b^n u[n]$, 求 $h[n]$

$$x[n] = a^n u[n] \xrightarrow{\mathcal{Z}} \frac{1}{1 - az^{-1}} \quad |z| > |a|$$

$$y[n] = b^n u[n] \xrightarrow{\mathcal{Z}} \frac{1}{1 - bz^{-1}} \quad |z| > |b|$$

$$H(z) = \frac{Y(z)}{X(z)} = \frac{1 - az^{-1}}{1 - bz^{-1}} \quad |z| > |b|$$

$$= 1 + \frac{(b-a)z^{-1}}{1 - bz^{-1}}$$

$$h[n] = \delta[n] + (b-a)b^{n-1}u[n-1]$$

例] 求系统的 $H(s)$

$$V_o(s) = I_1(s)R_1 - I_2(s)\frac{1}{C_2s}$$

$$I_1(s)R_1 + I_1(s)\frac{1}{C_1s} = V_i(s)$$

$$I_2(s)\frac{1}{C_2s} + R_2 I_2(s) = V_i(s)$$

$$I_1(s) = \frac{V_i(s)}{R_1 + \frac{1}{C_1s}}$$

$$I_2(s) = \frac{V_i(s)}{R_2 + \frac{1}{C_2s}}$$

$$V_o(s) = V_i(s) \frac{R_1}{R_1 + \frac{1}{C_1s}} - V_i(s) \frac{1}{C_2s[R_2 + \frac{1}{C_2s}]}$$

$$H(s) = \frac{V_o(s)}{V_i(s)} = \frac{R_1 C_1 s}{1 + R_1 C_1 s} - \frac{1}{1 + R_2 C_2 s}$$

$i(t) \rightarrow | C | v(t) \rightarrow$

$$i(t) = C \cdot \frac{d}{dt} v(t)$$

非变换

$$I(s) = CS V(s)$$

$$\frac{V(s)}{I(s)} = \frac{1}{CS}$$

$i(t) \rightarrow | L | v(t) \rightarrow$

$$v(t) = L \frac{d}{dt} i(t)$$

$$V(s) = LS I(s)$$

课后 8.22

$$y(t) = \delta(t) - 6e^{-t}u(t) + \frac{2}{34}e^{4t}(e^{3jt} + e^{-3jt}) + \frac{9}{34j}e^{4t}(e^{3jt} - e^{-3jt})$$

$$= \delta(t) - 6e^{-t}u(t) + \alpha e^{(4+3j)t} + \beta e^{(4-3j)t}$$

$$\text{输入 } x(t) = \delta(t) + r e^{(4+3j)t} + \gamma e^{(4-3j)t}$$

$$x \cdot e^{sot} \xrightarrow{H(s)} H(s) e^{sot}$$

$$\therefore \Rightarrow h(t) = \delta(t) - 6e^{-t}u(t)$$

$$H(s) = 1 - \frac{6}{s+1} = \frac{s-5}{s+1}$$

8.2.3 用方程描述的 LTI 系统的变换域分析

$$\sum_{k=0}^N a_k y^{(k)}(t) = \sum_{k=0}^N b_k x^{(k)}(t)$$

$$\sum_{k=0}^N a_k y[n-k] = \sum_{k=0}^N b_k x[n-k]$$

起始松弛条件下，转化为因果 LTI 系统

$$y^{(k)}(t) \xrightarrow{L} s^k Y(s)$$

$$x^{(k)}(t) \xrightarrow{L} s^k X(s)$$

$$y[n-k] \xrightarrow{Z} z^{-k} Y(z)$$

$$x[n-k] \xrightarrow{Z} z^{-k} X(z)$$

$$\sum_{k=0}^N a_k s^k Y(s) = \sum_{k=0}^N b_k s^k X(s)$$

$$\sum_{k=0}^N a_k z^{-k} Y(z) = \sum_{k=0}^N b_k z^{-k} X(z)$$

$$H(s) = \frac{Y(s)}{X(s)} = \frac{\sum_{k=0}^N b_k s^k}{\sum_{k=0}^N a_k s^k}$$

$$H(z) = \frac{Y(z)}{X(z)} = \frac{\sum_{k=0}^N b_k z^{-k}}{\sum_{k=0}^N a_k z^{-k}}$$

$$H(s) \xrightarrow{L^{-1}} h(t)$$

$$H(z) \xrightarrow{Z^{-1}} h[n]$$

§8.2.5 部分分式展开法求反变换

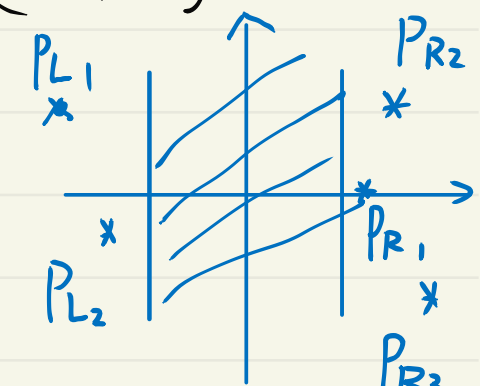
$$F(s) = \frac{b_m s^m + b_{m-1} s^{m-1} + \dots + b_0}{s^n + a_{n-1} s^{n-1} + \dots + a_0} R_F$$

$$= \sum_{l=0}^{m-n} C_l s^l + \frac{\beta_{n-1} s^{n-1} + \beta_{n-2} s^{n-2} + \dots + \beta_0}{s^n + a_{n-1} s^{n-1} + \dots + a_0}. R_F \text{ 分母有 } r \text{ 个 } 0; \text{ 阶重根}$$

$$= \sum_{l=0}^{m-n} C_l s^l + \sum_{i=1}^r \sum_{k=1}^{b_i} \frac{A_{ik}}{(s-p_i)^k} R_F$$

$$= \sum_{l=0}^{m-n} C_l s^l + \sum_{i=1}^r \sum_{k=1}^{b_i} \frac{A_{lik}}{(s-p_{li})^k} + \sum_{i=1}^{n-r} \sum_{k=1}^{b_{ri}} \frac{A_{rik}}{(s-p_{ri})^k}$$

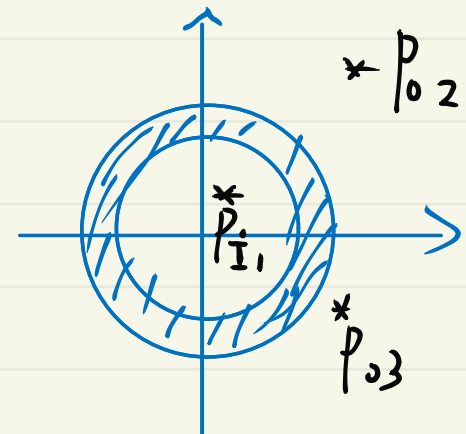
$$\begin{aligned} L^{-1}\{F(s)\} &= \sum_{l=0}^{m-n} C_l \delta^{(l)}(t) + \sum_{i=1}^r \sum_{k=1}^{b_i} \frac{A_{lik} \cdot t^{k-1}}{(k-1)!} e^{p_{li} t} u(t) \\ &\quad - \sum_{i=1}^{n-r} \sum_{k=1}^{b_{ri}} \frac{A_{rik} \cdot t^{k-1}}{(k-1)!} e^{p_{ri} t} u(-t) \end{aligned}$$



收敛域左边 P_L 对应一个右边的时域函数

右边 P_R : 左边

$$\begin{aligned}
 F(z) &= \frac{b_0 + b_1 z^{-1} + \cdots + b_M z^{-M}}{1 + a_1 z^{-1} + a_2 z^{-2} + \cdots + a_N z^{-N}} \\
 &= \sum_{l=0}^{M-N} C_l z^{-l} + \frac{\beta_0 + \beta_1 z^{-1} + \cdots + \beta_{N-1} z^{-(N-1)}}{1 + a_1 z^{-1} + \cdots + a_N z^{-N}} \\
 &= \sum_{l=0}^{M-N} C_l z^{-l} + \sum_{i=1}^r \sum_{k=1}^{6_i} \frac{B_{ik}}{(1 - P_i z^{-1})^k} \quad R_F \\
 &= \sum_{l=0}^{M-N} C_l z^{-l} + \sum_{i=1}^{r_I} \sum_{k=1}^{6_{Ii}} \frac{B_{Ii;k}}{(1 - P_{Ii} z^{-1})^k} + \sum_{i=1}^{r-r_I} \sum_{k=1}^{6_{0i}} \frac{B_{0i;k}}{(1 - P_{0i} z^{-1})^k}
 \end{aligned}$$



$$\begin{aligned}
 f[n] = z^{-l} \{F(z)\} &= \sum_{l=0}^{M-N} C_l \delta[n-l] + \sum_{i=1}^{r_I} \sum_{k=1}^{6_{Ii}} \frac{(n+k-1)!}{n!(k-1)!} B_{Ii;k} P_{Ii}^{-n} u[n] \\
 &\quad - \sum_{i=1}^{r-r_I} \sum_{k=1}^{6_{0i}} \frac{(n+k-1)!}{n!(k-1)!} B_{0i;k} P_{0i}^{-n} u[-n-1]
 \end{aligned}$$

$$4.11 (f) y''(t) + 4y'(t) + 3y(t) = 2x(t) * e^{-2t}u(t)$$

$$\text{两边取} \mathcal{L} \text{式} \quad (s^2 + 4s + 3)Y(s) = 2X(s) \cdot \frac{1}{s+2}$$

$$\begin{aligned}
 H(s) = \frac{Y(s)}{X(s)} &= \frac{2}{(s+1)(s+2)(s+3)} = \frac{2}{(s+1)(s+2)(s+3)} \\
 &= \frac{A}{s+1} + \frac{B}{s+2} + \frac{C}{s+3} = \frac{1}{s+1} - \frac{2}{s+2} + \frac{1}{s+3}
 \end{aligned}$$

$$H(t) = \mathcal{L}^{-1}\{H(s)\} = e^t u(t) - 2e^{-2t} u(t) + e^{-3t} u(t)$$

$$4.12 \text{ (e)} y[n] - \frac{3}{2}y[n-1] + \frac{1}{2}y[n-2] = x[n] * u[n] + x[n]$$

两边Z变换 $(1 - \frac{3}{2}z^{-1} + \frac{1}{2}z^{-2}) Y(z) = X(z) + \frac{1}{1-z^{-1}}$

$$(1 - \frac{1}{2}z^{-1})(1 - z^{-1}) Y(z) = X(z) \frac{2(1 - \frac{1}{2}z^{-1})}{1 - z^{-1}}$$

因果LT
为右边序列

$$H(z) = \frac{Y(z)}{X(z)} = \frac{1}{(1 - z^{-1})^2}$$

$$h[n] = z^{-1}\{H(z)\} = n(n+1)u[n]$$

§8.3 用方程描述的因果系统的复频域求解

§8.3.1 单边拉普拉斯变换和单边Z变换

$$\mathcal{L}_u\{f(t)\} = \int_0^\infty f(t) e^{-st} dt$$

$$\left\{ \begin{array}{l} f(t) = \frac{1}{2\pi j} \int_{6-j\infty}^{6+j\infty} F_u(s) e^{st} ds, \quad t > 0 \\ \quad \sigma \in R_o \end{array} \right.$$

$$\mathcal{Z}_u\{f[n]\} = \sum_{n=0}^{\infty} f[n] z^{-n}$$

$$\left\{ \begin{array}{l} f[n] = \frac{1}{2\pi j} \oint_{C \in R_o} F_u(z) z^{n-1} dz \\ \quad n \geq 0 \end{array} \right.$$

$$\mathcal{L}_u\{f(t)\} = \mathcal{L}\{f(t)u_{0-}(t)\}$$

$$\mathcal{Z}_u\{f[n]\} = Z\{f[n]u[n]\}$$

单边变换的收敛域可以不写 原因见课本 P365 (3)

例: 求 $e^{-a(t+1)}u(t+1)$ 的双边及单边拉氏变换
 $a^{n+1}u[n+1]$ 的双边及单边拉氏变换

$$e^{-a(t+1)}u(t+1) \xrightarrow{s} \frac{es}{s+a} \quad \operatorname{Re}\{s\} > \operatorname{Re}\{-a\}$$

$$\mathcal{L}_u\{e^{-a(t+1)}u(t+1)\} = \int_0^\infty e^{-a(t+1)} e^{-st} dt = e^{-a} \int_0^\infty e^{-(s+a)t} dt = \frac{e^{-a}}{s+a}$$

$$a^{n+1} u[n+1] \xrightarrow{Z} \frac{Z}{1-aZ^{-1}}$$

$$a^{n+1} u[n+1] \xrightarrow{Zu} \sum_{n=0}^{\infty} a^{n+1} Z^{-n} = \frac{a}{1-aZ^{-1}}$$

§ 8.3.2 单边 z 变换的性质

- 单边 z 变换的时移性质

$$y[n] \xrightarrow{Zu} Y_u(z)$$

$$y[n-n_0] \xrightarrow{Zu} Z^{-n_0} [Y_u(z) + \sum_{k=1}^{n_0} y[k] \cdot z^k]$$

$$y[n-n_0] \xrightarrow{Zu} \sum_{n=0}^{\infty} y[n-n_0] z^{-n} = Z^{-n_0} Y_u(z) + \sum_{k=1}^{n_0} y[k] z^{-(n_0-k)}, n_0 \geq 1$$

$$y[n+n_0] \xrightarrow{Zu} Z^{n_0} Y_u(z) - \sum_{k=0}^{n_0-1} y[k] z^{(n_0-k)}. n_0 \geq 1$$

二、单边 z 变换的微分性质

$$\begin{aligned} y'(t) &\xrightarrow{Zu} \int_{0^-}^{\infty} y'(t) e^{-st} dt = \int_{0^-}^{\infty} e^{-st} dy(t) = y(t) e^{-st} \Big|_{0^-}^{\infty} + s \Big|_{0^-}^{\infty} e^{-st} y(t) dt \\ &= s Y_u(s) - y(0^-) \end{aligned}$$

$$y^{(k)}(t) \xrightarrow{Zu} s^k Y_u(s) - \sum_{l=0}^{k-1} s^{k-1-l} y^{(l)}(0^-)$$

§ 8.3.3 零状态响应和零输入响应的复频域求解

一、微分方程

$$\sum_{k=0}^N a_k y^{(k)}(t) = \sum_{k=0}^M b_k x^{(k)}(t)$$

$$y^{(k)}(0^-) = c_k, k=0, 1, \dots, N-1$$

$$\text{Lu}\{y^{(k)}(t)\} = s^k Y_u(s) - \sum_{l=0}^{k-1} s^{k-1-l} y^{(l)}(0^-)$$

$$\text{Lu}\{x^{(k)}(t)\} = s^k X_u(s)$$

$$\Rightarrow \sum_{k=0}^N a_k s^k Y_u(s) - \sum_{k=1}^N \sum_{l=0}^{k-1} a_k s^{k-l} y^{(l)}(0-) = \sum_{k=0}^M b_k s^k X_u(s)$$

$$\therefore Y_u(s) = \frac{\sum_{k=0}^M b_k s^k}{\sum_{k=0}^N a_k s^k} X_u(s) + \frac{\sum_{k=1}^N \sum_{l=0}^{k-1} a_k s^{k-l} y^{(l)}(0-)}{\sum_{k=0}^N a_k s^k}$$

零状态响应
 $Y_{uzs}(s)$

零输入响应
 $Y_{uzi}(s)$

例: $y''(t) + 4y'(t) + 3y(t) = x(t) + 2x(t)$ $y(0-) = y'(0-) = 1$, $x(t) = e^{-2t} u(t)$

$$[s^2 Y_u(s) - s y(0-) - y'(0-)] + 4[s Y_u(s) - y(0-)] + 3 Y_u(s)$$

$$s^2 Y_u(s) - s y(0-) - y'(0-) + 4s Y_u(s) - 4y(0-) + 3 Y_u(s) = (s+2) X_u(s)$$

$$Y_u(s) = \frac{s+2}{s^2 + 4s + 3} X_u(s) + \frac{s+5}{s^2 + 4s + 3}$$

$$= \frac{1}{s^2 + 4s + 3} + \frac{s+5}{s^2 + 4s + 3}$$

$$Y_{uzs}(s) = \frac{s+2}{s^2 + 4s + 3} X_u(s) = \frac{1}{s^2 + 4s + 3} = \frac{1}{s+1} - \frac{1}{s+3}$$

$$\Rightarrow y_{zs}(t) = \frac{1}{2} e^{-t} u(t) - \frac{1}{2} e^{-3t} u(t)$$

$$Y_{uzi}(s) = \frac{s+5}{(s+1)(s+3)} = \frac{2}{s+1} - \frac{1}{s+3}$$

$$\Rightarrow y_{zi}(t) = 2e^{-t} u(t) - e^{-3t} u(t)$$

二、差分方程

$$\sum_{k=0}^N a_k y[n-k] = \sum_{k=0}^M b_k x[n-k]$$

$$\left\{ \begin{array}{l} y[-k] = c_k, k=1, 2, \dots N \end{array} \right.$$

$$z_u \{ y[n-k] \} = z^{-k} Y_u(z) + \sum_{l=1}^k y[-l] z^{-(k-l)}$$

$$z_u \{ x[n-k] \} = z^{-k} X_u(z)$$

$$\sum_{k=0}^N a_k z^{-k} Y_u(z) + \sum_{k=1}^N \sum_{l=1}^k a_k y[-l] z^{-(k-l)} = \sum_{k=0}^M b_k z^{-k} X_u(z)$$

$$Y_u(z) = \frac{\sum_{k=0}^N a_k z^{-k}}{\sum_{k=0}^M b_k z^{-k}} X_u(z) - \frac{\sum_{k=1}^N \sum_{l=1}^k a_k y[-l] z^{-(k-l)}}{\sum_{k=0}^M b_k z^{-k}}$$

零输入响应

$$\text{例} : y[n] + \frac{3}{4}y[n-1] + \frac{1}{8}y[n-2] = x[n] + 3x[n-1]$$

$$y[0]=1, y[-1]=-6, x[n]=(\frac{1}{2})^n u[n], \text{ 求 } y_{zs}[n], y_{zi}[n]$$

$$y[n-2] = 8 \left\{ x[n] + 3x[n-1] - y[n] - \frac{3}{4}y[n-1] \right\} \Rightarrow y[-2] = 36$$

$$Y_u(z) + \frac{3}{4} [z^{-1} Y_u(z) + y[-1]] + \frac{1}{8} [z^{-2} Y_u(z) + z^{-1} y[-1] + y[-2]]$$

$$Y_u(z) + \frac{3}{4} z^{-1} Y_u(z) + \frac{3}{4} \times (-6) + \frac{1}{8} z^{-2} Y_u(z) + \frac{1}{8} \times z^{-1} \times (-6) + \frac{1}{8} \times (36) = (1 + 3z^{-1}) X_u(z)$$

$$Y_u(z) = \frac{1+3z^{-1}}{1+\frac{3}{4}z^{-1}+\frac{1}{8}z^{-2}} X_u(z) + \frac{\frac{3}{4}z^{-1}}{1+\frac{3}{4}z^{-1}+\frac{1}{8}z^{-2}}$$

$$Y_{u,zs}(z) = \frac{1+3z^{-1}}{1+\frac{3}{4}z^{-1}+\frac{1}{8}z^{-2}} \times \frac{1}{1-\frac{1}{2}z^{-1}} = \frac{\frac{7}{3}}{1-\frac{1}{2}z^{-1}} - \frac{5}{1+\frac{1}{2}z^{-1}} + \frac{\frac{11}{3}}{1+\frac{1}{4}z^{-1}}$$

$$\Rightarrow y_{zs}[n] = \frac{7}{3} (\frac{1}{2})^n u[n] - 5(-\frac{1}{2})^n u[n] + \frac{1}{3} (-\frac{1}{4})^n u[n]$$

$$Y_{u,zi}(z) = \frac{\frac{3}{4}z^{-1}}{1+\frac{3}{4}z^{-1}+\frac{1}{8}z^{-2}} = \frac{-3}{1+\frac{1}{2}z^{-1}} + \frac{3}{1+\frac{1}{4}z^{-1}}$$

$$\Rightarrow y_{zi}[n] = [3(-\frac{1}{4})^n - 3(-\frac{1}{2})^n] u[n]$$

§ 8.4 系统函数和频率响应表征的LTI系统的特性

一. 记忆性和无记忆性

无记忆: $h(t) = C \delta(t)$

$$h[n] = C \delta[n]$$

满足: $H(s) = C$. RH是整个s平面

$$H(z) = C \quad \text{整个z平面}$$

$$H(\omega) = C$$

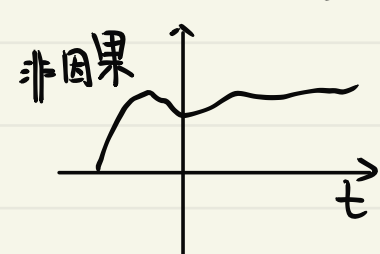
$$\tilde{H}(\Omega) = C$$

否则系统是有记忆的

二. 因果性和非因果性

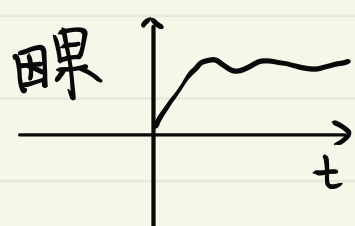
因果性: $h(t) = 0 \quad t < 0$

拉氏变换的收敛域满足 $\operatorname{Re}\{s\} > 0$



如果 $h(t)$ 中不含 $\delta^{(k)}(t) \ (k \geq 1)$

\rightarrow 收敛域不含 ∞ $\int_{-\infty}^{\infty} h(t) e^{-st} dt$



\rightarrow 收敛域包含 ∞ , 即为 $0 < \operatorname{Re}\{s\} \leq 0$

$h[n] = 0, n < 0$
Z变换的收敛域满足
 $0 < |z| > r_0$
系统是因果的

三. 稳定性

稳定的 $\int_{-\infty}^{\infty} |h(t)| dt < \infty$

$$\sum_{n=-\infty}^{\infty} |h[n]| < \infty$$

如果其频率响应 $H(\omega), \tilde{H}(\Omega)$ 满足狄利赫里条件 或者说有严格意义的 $H(\omega) / \tilde{H}(\Omega)$, 则系统是稳定的

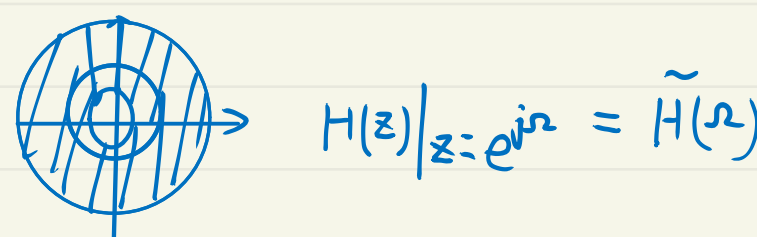
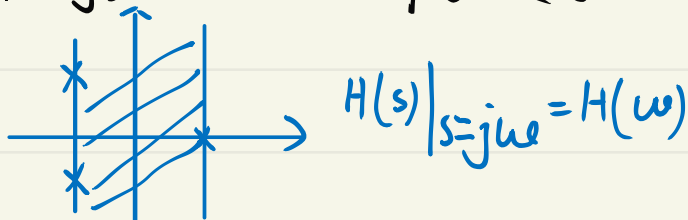
$$1 \xrightarrow{\tilde{r}} 2\pi \delta(\omega)$$

$$1 \longrightarrow 2\pi \sum_{l=-\infty}^{\infty} \delta(\Omega - 2\pi l)$$

对于拉氏变换而言, 如果收敛域包含虚轴, 则系统是稳定的

单位圆

否则, 系统是不稳定的

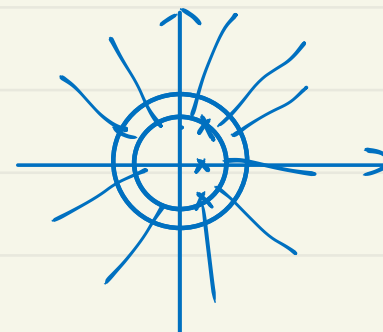
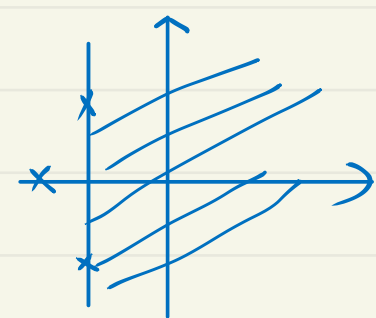


对于实验的有工程价值的系统（既因果又稳定）

① 对于 s 变换而言，所有极点都位于虚轴左侧

② \mathcal{Z}

单位圆里面



四可逆性和逆系统

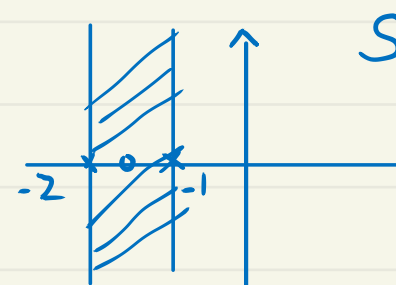
如果一个 $H(s) / H(z)$ 中收敛域中不包含零点，系统是可逆的

$$\text{且 } H_I(s) = \frac{1}{H(s)} \quad H_I(z) = \frac{1}{H(z)}$$

例： $H(s) = \frac{2s+3}{(s+1)(s+2)}$, $-2 < \text{Re}\{s\} < -1$

$$e^{-\frac{3}{2}t} \xrightarrow{H(s)} H(s) \Big|_{s=-\frac{3}{2}} e^{-\frac{3}{2}t} = 0$$

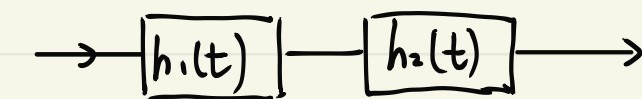
$$0 \xrightarrow{H(s)} 0$$



两个不同输入，输出却相同
不可逆

§ 8.4.2 LTI 系统互联的系统函数和频率响应

一、级联



$$H(s) = H_1(s) H_2(s) \quad R_H \supset R_1 \cap R_2$$

$$H(\omega) = H_1(\omega) H_2(\omega)$$

$$H(z) = H_1(z) H_2(z) \quad R_H \supset R_1 \cap R_2$$

$$\tilde{H}(z) = \tilde{H}_1(z) \cdot \tilde{H}_2(z)$$

二、并联

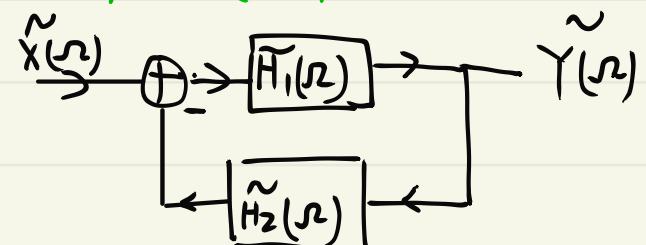
$$H(s) = H_1(s) + H_2(s) \quad R_H \supset R_1 \cap R_2$$

$$H(\omega) = H_1(\omega) + H_2(\omega)$$

$$H(z) = H_1(z) + H_2(z) \quad R_H \supset R_1 \cap R_2$$

$$\tilde{H}(z) = \tilde{H}_1(z) + \tilde{H}_2(z)$$

三. 反馈互联



$$[\tilde{x}(n) - \tilde{H}_2(n)\tilde{Y}(n)]\tilde{H}_1(n) = \tilde{Y}(n)$$

$$\tilde{x}(n)\tilde{H}_1(n) = \tilde{Y}(n)[1 + \tilde{H}_1(n)\tilde{H}_2(n)]$$

$$\tilde{H}(n) = \frac{\tilde{Y}(n)}{\tilde{x}(n)} = \frac{\tilde{H}_1(n)}{1 + \tilde{H}_1(n)\tilde{H}_2(n)}$$

同理 $H(z) = \frac{H_1(z)}{1 + H_1(z)H_2(z)}$

$$H(\omega) = \frac{H_1(\omega)}{1 + H_1(\omega)H_2(\omega)}$$

$$H(s) = \frac{H_1(s)}{1 + H_1(s)H_2(s)}$$

§8.5 系统函数与LTI时域和频域的关系

对于典型的LTI系统，比如用方程描述的系统，其 $H(s)/H(z)$ 的函数形式是有理多项式的形式，我们来具体分析其时域、频域特性

$$H(s) = \frac{P(s)}{Q(s)}$$

$$H(z) = \frac{P^{-1}(z)}{Q^{-1}(z)}$$

§8.5.1 系统函数的零极点分布决定单位冲激响应的时域特征

(1) 如果 s 变换的零极点关于原点对称，且 $-\sigma_0 < \operatorname{Re}\{s\} < \sigma_0$ ，则 $h(t)$ 一定是一个奇函数或偶函数

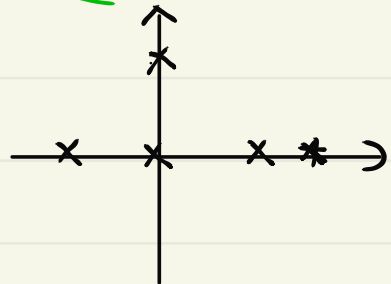
如果 z 变换的零极点关于单位圆镜像对称，且 $\frac{1}{r_0} < |z| < r_0$ ，则 $h[n]$ 一定是一个奇序列或偶序列。

(2) 如果系统函数的零极点是共轭对称的，则 $h(t)/h[n]$ 一定是一个实函数/实序列（也可以是纯虚函数/序列）我们不考虑。

§ 8.5.2 系统函数的极点、决定 $h(t)/h[n]$ 的函数形式

虚轴上点

一、连续时间



$$\begin{aligned}\frac{1}{s} &\xrightarrow{s^{-1}} u(t) \\ \frac{1}{s^2} &\xrightarrow{s^{-1}} tu(t) \\ \frac{1}{s-a} &\xrightarrow{s^{-1}} e^{at} u(t) \\ \frac{1}{(s-a)^2} &\xrightarrow{s^{-1}} te^{at} u(t)\end{aligned}$$

$$\begin{aligned}\cos \omega_0 t \cdot u(t) &\xrightarrow{s^{-1}} \frac{s}{s^2 + \omega_0^2} \\ \sin \omega_0 t \cdot u(t) &\xrightarrow{s^{-1}} \frac{\omega_0}{s^2 + \omega_0^2} \\ t \cos \omega_0 t \cdot u(t) &\xrightarrow{s^{-1}} \frac{\omega_0^2 - s^2}{(s^2 + \omega_0^2)^2} \\ e^{at} \cos \omega_0 t \cdot u(t) &\rightarrow\end{aligned}$$

二、离散时间



$$\begin{aligned}a^n u[n] & \text{-阶} \\ (n+1)a^n u[n] & = \text{阶} \\ \begin{cases} \cos \omega_0 n \cdot u[n] \\ \sin \omega_0 n \cdot u[n] \end{cases} & \text{-阶} \\ \begin{cases} (n+1) \cos \omega_0 n \cdot u[n] \\ (n+1) \sin \omega_0 n \cdot u[n] \end{cases} & \text{2阶}\end{aligned}$$

$$\begin{cases} r^n \cos \omega_0 n \cdot u[n] \\ r^n \sin \omega_0 n \cdot u[n] \end{cases} \quad \begin{array}{l} \text{1阶} \\ \text{1阶} \end{array}$$

$$\begin{cases} (n+1)r^n \cos \omega_0 n \cdot u[n] \\ (n+1)r^n \sin \omega_0 n \cdot u[n] \end{cases} \quad \begin{array}{l} \text{2阶} \\ \text{2阶} \end{array}$$

§ 8.5.3 自由响应、强迫响应、暂态响应和稳态响应

一、系统极点、源极点

$$Y(s) = X(s) H(s)$$

$$Y(z) = X(z) H(z)$$

由 $H(s)$ 、 $H(z)$ 引入的零极点，分别称为系统零点、系统极点。

$$X(s) \quad X(z)$$

源零点、源极点。

二、自由响应、强迫响应

$$Y(s) = \sum_{i=1}^N \frac{A_{H_i}}{s-p_i} + \sum_{i=1}^N \frac{A_{x_i}}{s-q_i}$$

p_i 、 q_i 分别为系统极点、源极点。

由系统极点导致的输出叫做自由响应，由源极点导致的响应叫做强迫响应

例： $y''(t) + 2y(t) = x(t)$ ，在 $x(t) = e^{-2t}$ 的输出

$$H(s) = \frac{1}{s+2}$$

$$Y(s) = H(s) \cdot X(s) = \frac{1}{(s+2)^2}$$

$$y(t) = t e^{-2t} \cdot u(t) \quad \text{既是自由响应，也是强迫响应}$$

三. 暂态响应、稳态响应

$$y(t) = y_T(t) + y_S(t)$$

$$y[n] = y_T[n] + y_S[n]$$

其中暂态响应 $y_T(t)/y_T[n]$ 满足 $\lim_{t \rightarrow \infty} y_T(t) = 0$ $\lim_{n \rightarrow \infty} y_T[n] = 0$

稳态响应 $y_S(t)/y_S[n]$ 在 $t/n \rightarrow \infty$ 不为零

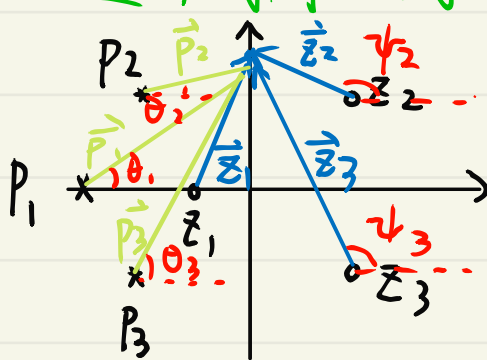
§ 8.5.4 系统零极点确定 LTI 系统频率响应

特指 分子/分母是有理多项式

$$H(s) = H_0 \frac{\prod_{i=1}^M (s - z_i)}{\prod_{i=1}^N (s - p_i)}$$

$$H(z) = H_0 \frac{\prod_{i=1}^M (z - z_i)}{\prod_{i=1}^N (z - p_i)}$$

一. 连续时间 S 域



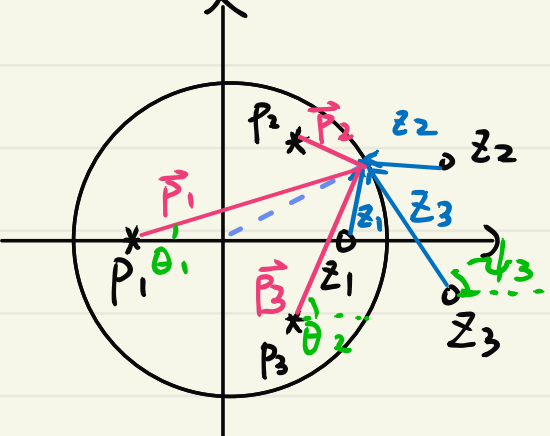
$$H(s)|_{s=j\omega} = H_0 \frac{\prod_{i=1}^M (j\omega - z_i)}{\prod_{i=1}^N (j\omega - p_i)}$$

$$H(j\omega) = H_0 \frac{\prod_{i=1}^M \vec{z}_i}{\prod_{i=1}^N \vec{p}_i}$$

$$\text{幅频响应 } |H(\omega)| = |H_0| \frac{\prod_{i=1}^M |\vec{z}_i|}{\prod_{i=1}^N |\vec{p}_i|}$$

$$\text{相频响应 } \varphi(\omega) = \sum_{i=0}^M \psi_i - \sum_{i=1}^N \theta_i$$

二、离散时间z平面上由 $H(z)$ 求 $\tilde{H}(\omega)$

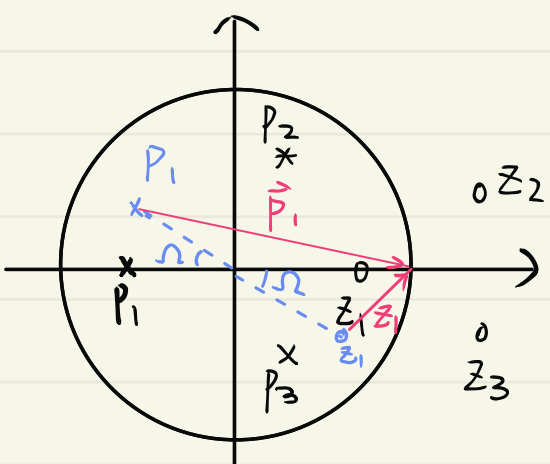


$$\tilde{H}(\omega) = H(z) \Big|_{z=e^{j\omega}} = H_0 \frac{\prod_{i=1}^M (e^{j\omega} - z_i)}{\prod_{i=1}^N (e^{j\omega} - p_i)}$$

$$\text{幅频响应 } |\tilde{H}(\omega)| = |H_0| \frac{\prod_{i=1}^M |\vec{z}_i|}{\prod_{i=1}^N |\vec{p}_i|}$$

$$\text{相频响应 } \tilde{\varphi}(\omega) = \sum_{i=0}^M \psi_i - \sum_{i=1}^N \theta_i$$

如果 $H(z) = H_0 \frac{\prod_{i=1}^M (1 - z_i z^{-1})}{\prod_{i=1}^N (1 - p_i z^{-1})}$



$$\tilde{H}(\omega) = H(z) \Big|_{z=e^{j\omega}} = H_0 \frac{\prod_{i=1}^M (1 - z_i e^{-j\omega})}{\prod_{i=1}^N (1 - p_i e^{-j\omega})}$$

$z_i e^{-j\omega}$
 z_i 顺时针转 ω

$$\text{幅频响应: } |\tilde{H}(\omega)| = |H_0| \frac{\prod_{i=1}^M |\vec{z}_i|}{\prod_{i=1}^N |\vec{p}_i|}$$

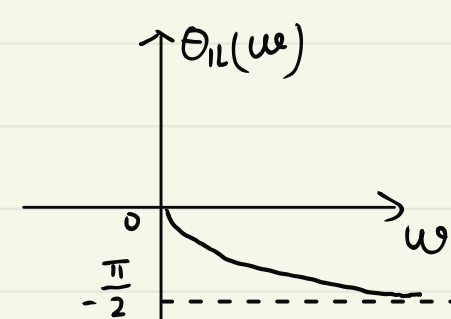
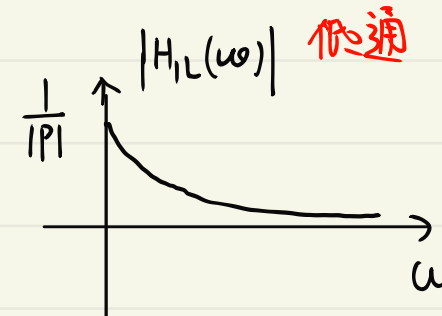
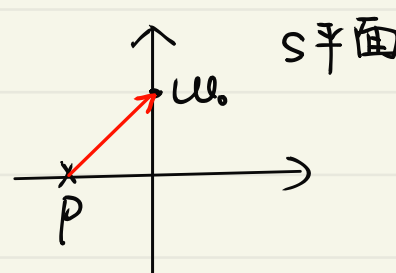
$$\text{相频响应: } \tilde{\varphi}(\omega) = \sum_{i=0}^M \psi_i - \sum_{i=1}^N \theta_i$$

§8.6 连续时间和离散时间一阶/二阶系统

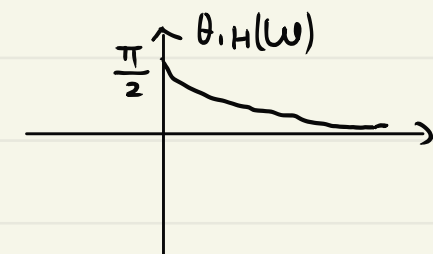
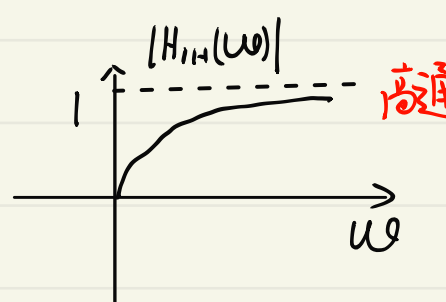
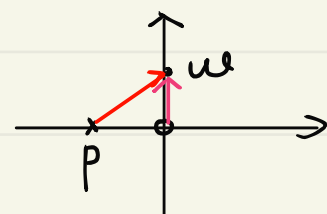
§8.6.1 一阶系统

一、连续时间

$$H(s) = \frac{1}{s-p}$$



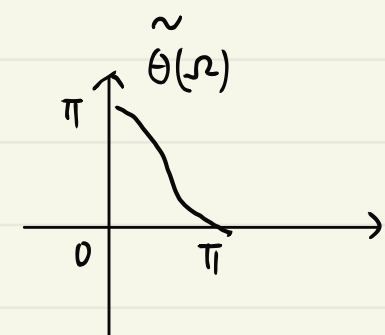
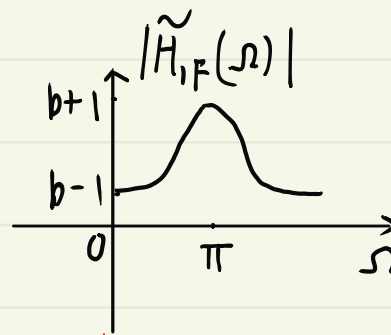
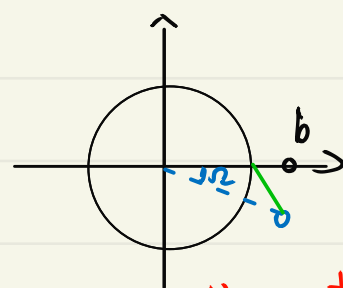
$$H(s) = \frac{s}{s-p}$$



二、离散时间

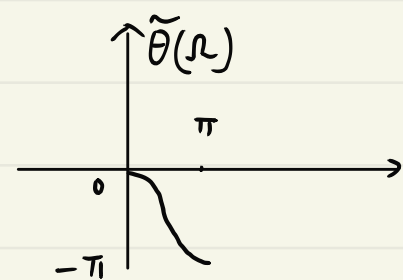
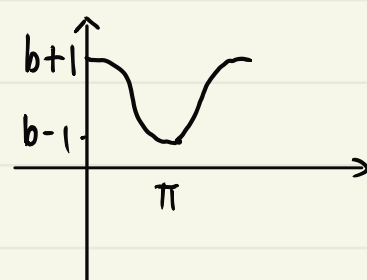
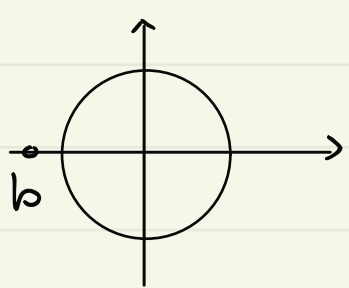
$$y[n] = x[n] - b \times [n-1]$$

$$H(z) = 1 - bz^{-1}$$



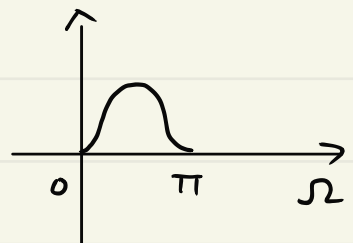
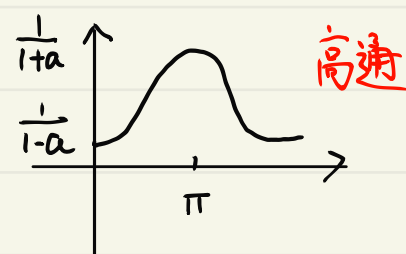
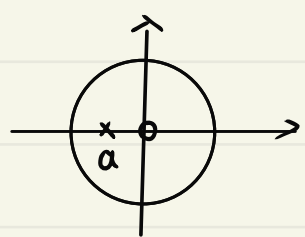
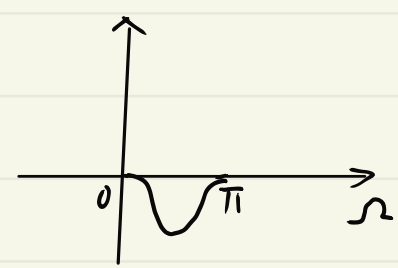
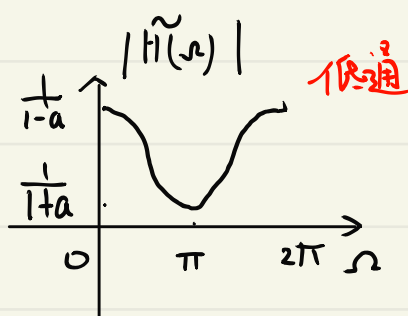
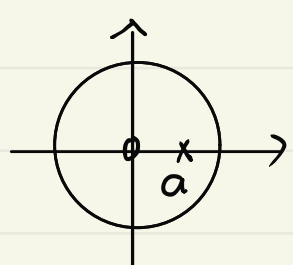
实函数 \Rightarrow Z 变换

模函数是偶函数
相频是奇



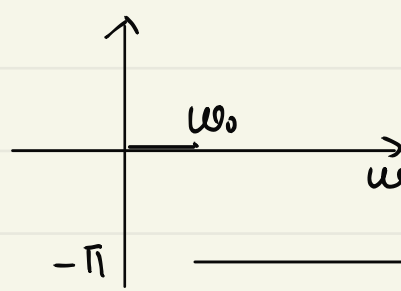
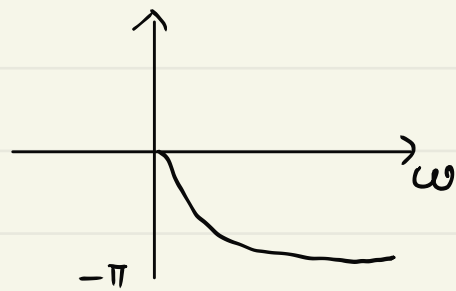
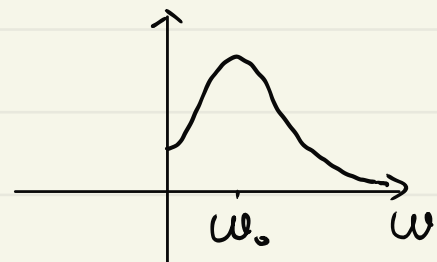
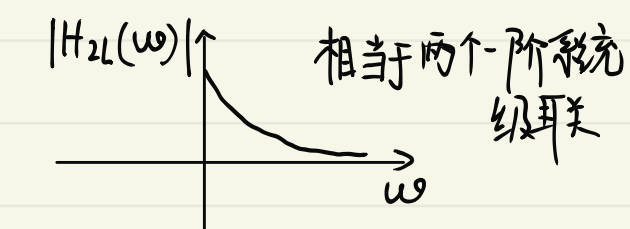
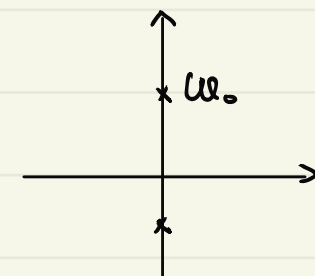
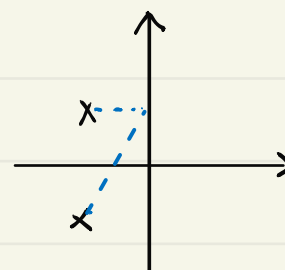
$$y[n] - ay[n-1] = x[n]$$

$$H_{IR}(z) = \frac{1}{1-az^{-1}}$$

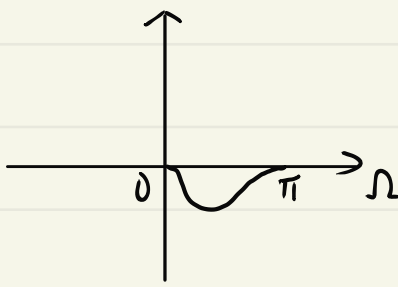
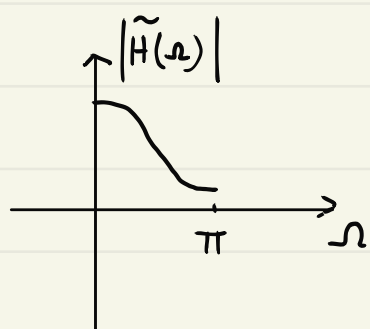
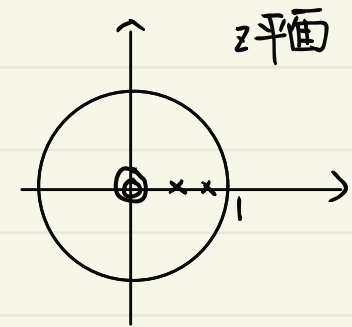


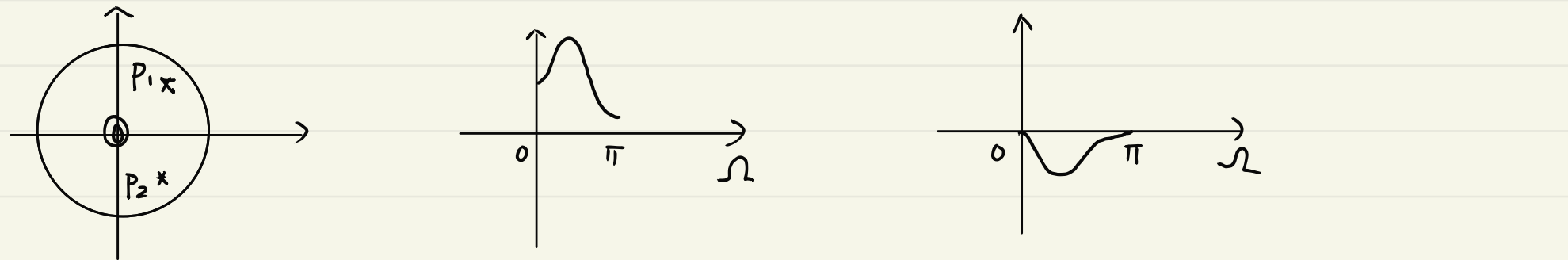
§8.6.2 二阶系统

一. 连续时间 二阶全极点系统



二. 离散时间 二阶全极点系统

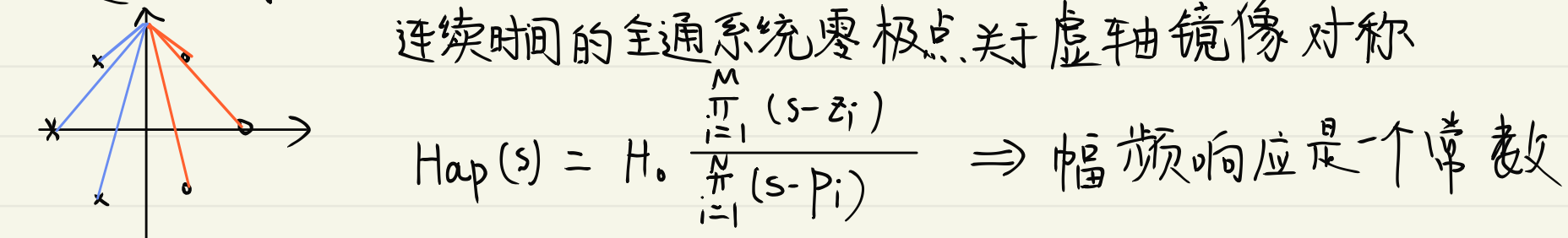




§8.7 全通系统和最小相移系统

§8.7.1 全通系统

一. 连续时间



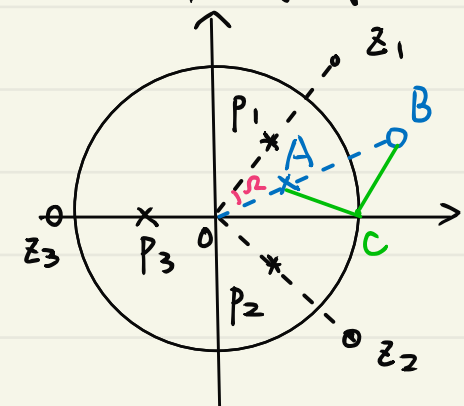
$\omega = 0$	$\omega = \infty$
一对实的零极点	零点
π	0
四个共轭的零极点	0

$\omega = 0$	$\omega = \infty$
零点	极点
$\frac{\pi}{2} \downarrow$	$\frac{\pi}{2} \uparrow$
$-\pi \downarrow$	$\pi \uparrow$

$\omega = 0 \rightarrow \infty$
相位减少 π
$\omega = 0 \rightarrow \infty$
相位减少 2π

总计有 N 个零点(极点), 在 ω 由 $0 \rightarrow \infty$ 变化时, 相位单调减少 $N\pi$

二. 离散时间 全通系统



离散时间全通系统零极点关于单位圆 镜像对称

$$OP_1 = OA = r, \quad OB = OZ_1 = \frac{1}{r}$$

$$OP_i \times OZ_i = 1$$

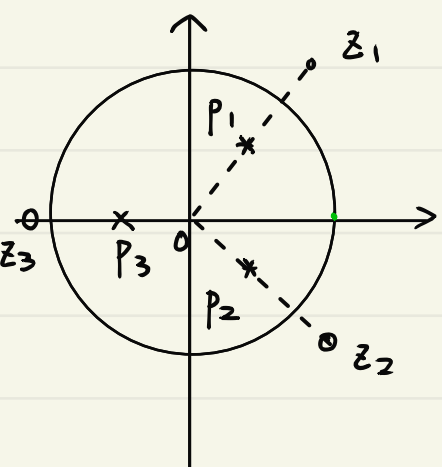
$$OA \cdot OB = OC^2$$

$$\therefore \frac{OA}{OC} = \frac{OC}{OB} \quad \text{又: } \triangle AOC, \triangle BOC \text{ 共 } \angle AOC$$

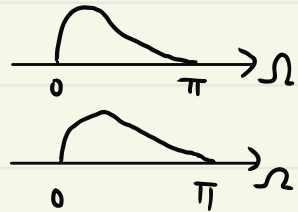
$$\therefore \triangle AOC \sim \triangle COB$$

$$\therefore \frac{AC}{BC} = \frac{OA}{OC} = r, \quad \text{与 } \Omega \text{ 无关}$$

对于 $\forall \Omega$, 幅频响应是一个常数



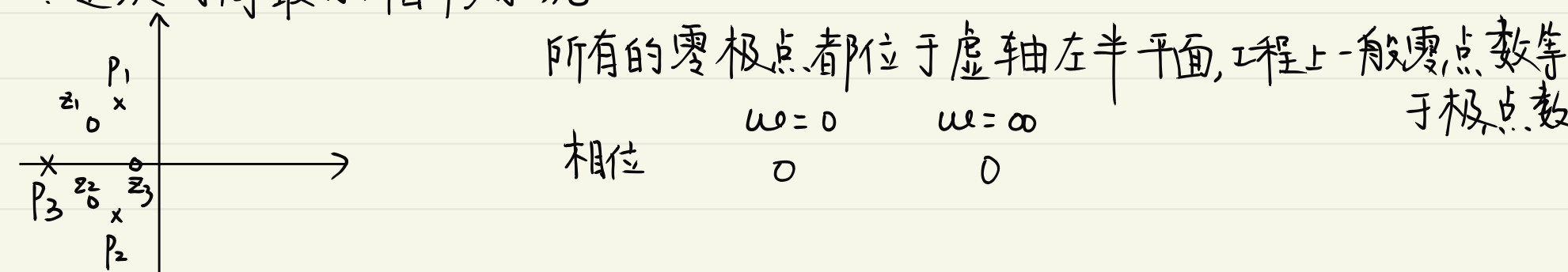
实极点	$\Omega = 0$	$\Omega = \pi$
共轭极点	0	0
实零点	0	$-\pi$
共轭零点	0	-2π



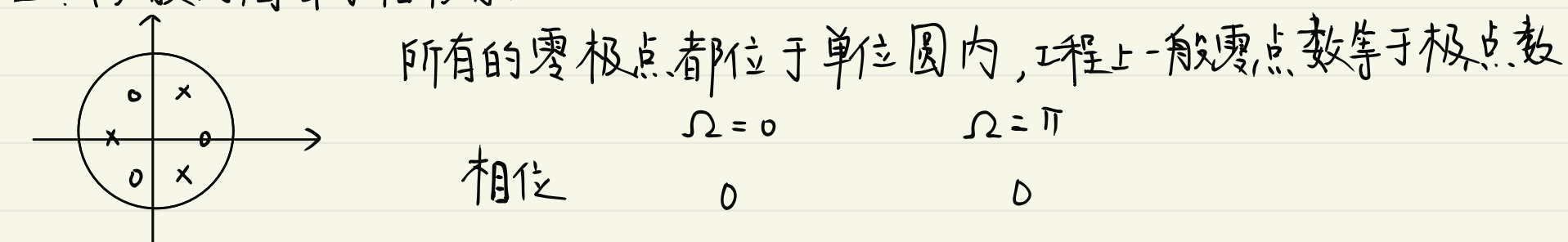
如果有 N 个零点(极点), 在 Ω 由 $0 \rightarrow \pi$ 变化时, 整个系统的相位减少 $N\pi$
在同阶的系统中(最多有 N 个极点或零点)具有最大的群延时

§8.7.2 最小相移系统

一. 连续时间最小相移系统

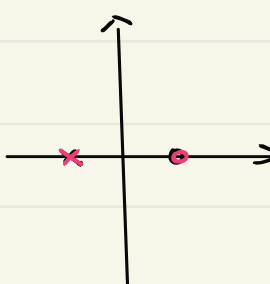
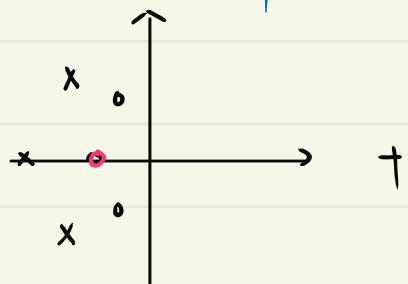
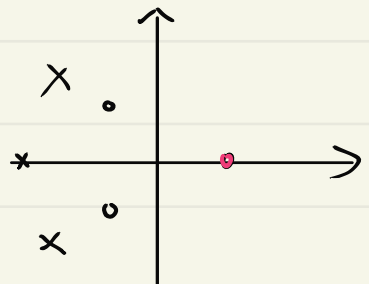


二. 离散时间最小相移系统



性质:

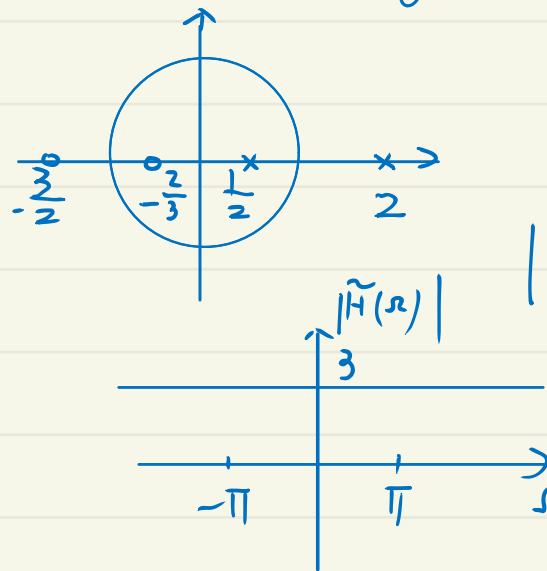
- ① 最小相移系统的逆系统仍是最小相移系统
- ② 最小相移系统在同阶系统中具有最小的群延时
- ③ 任意的一般系统, 都可以表示为一个最小相移系统和全通系统的级联



例：画出 $y[n] + \frac{1}{6}y[n-1] - \frac{1}{3}y[n-2] = x[n] - \frac{1}{2}x[n-1] - 3x[n-2]$ 幅频特性

$$Y(z) \left(1 + \frac{1}{6}z^{-1} - \frac{1}{3}z^{-2} \right) = X(z) \left(1 - \frac{1}{2}z^{-1} - 3z^{-2} \right)$$

$$H(z) = \frac{1 - \frac{1}{2}z^{-1} - 3z^{-2}}{1 + \frac{1}{6}z^{-1} - \frac{1}{3}z^{-2}} = \frac{(1 - 2z^{-1})(1 + \frac{3}{2}z^{-1})}{(1 - \frac{1}{2}z^{-1})(1 + \frac{2}{3}z^{-1})}$$



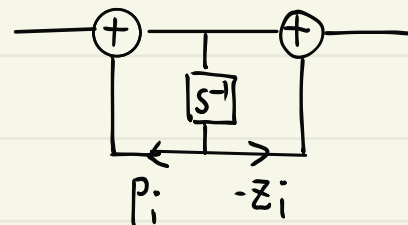
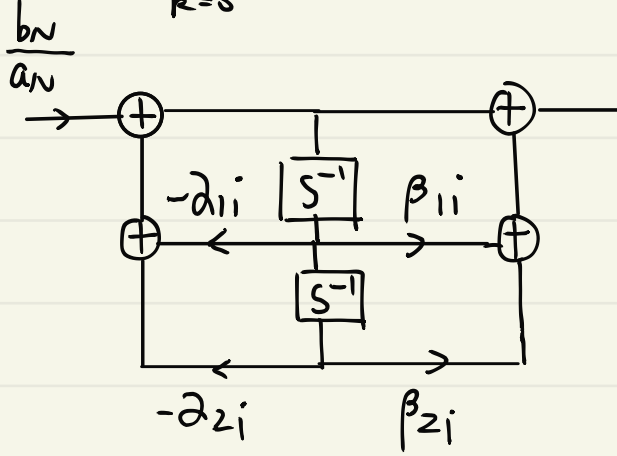
全通系统

$$|H(\Omega)| = H(z)|_{z=e^{j\Omega}} = \left| \frac{(1-z)(1+\frac{3}{2}z)}{(1-\frac{1}{2}z)(1+\frac{2}{3}z)} \right| = 3$$

§8.9 有理系统函数表示的LTI系统的级联和并联实现

§8.9.1 级联实现结构

$$H(s) = \frac{\sum_{k=0}^N b_k s^k}{\sum_{k=0}^N a_k s^k} = \frac{b_N}{a_N} \prod_{i=1}^r \frac{1 + \beta_{1i}s^{-1} + \beta_{2i}s^{-2}}{1 + \alpha_{1i}s^{-1} + \alpha_{2i}s^{-2}} \prod_{i=2r+1}^N \frac{1 - z_i s^{-1}}{1 - p_i s^{-1}}$$



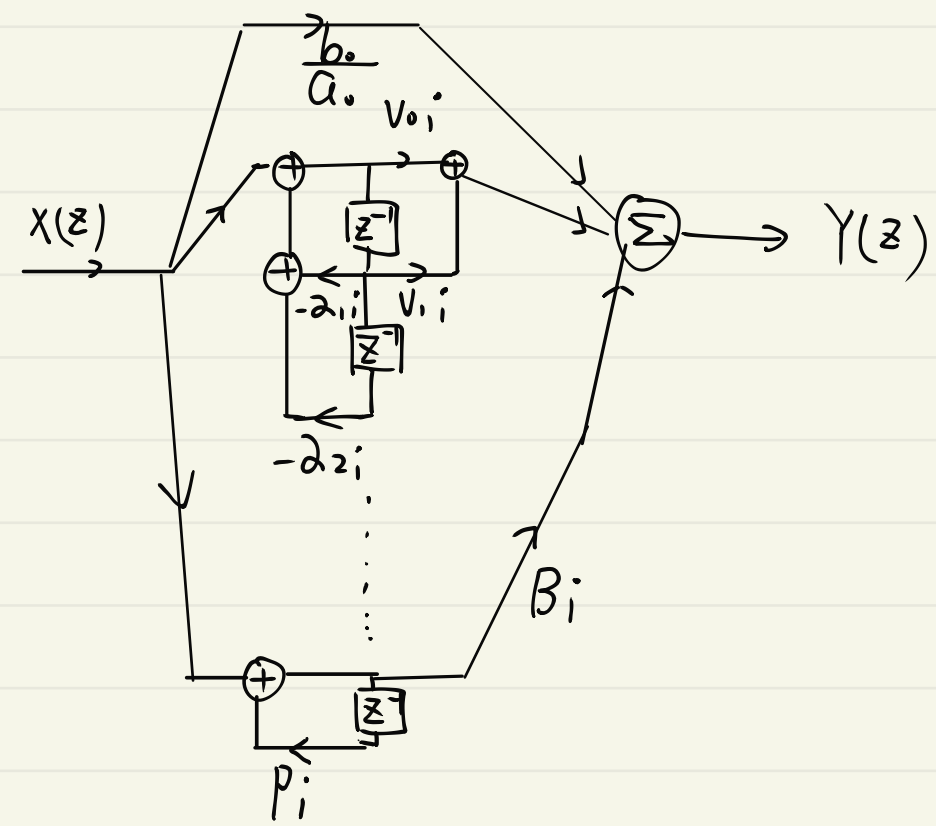
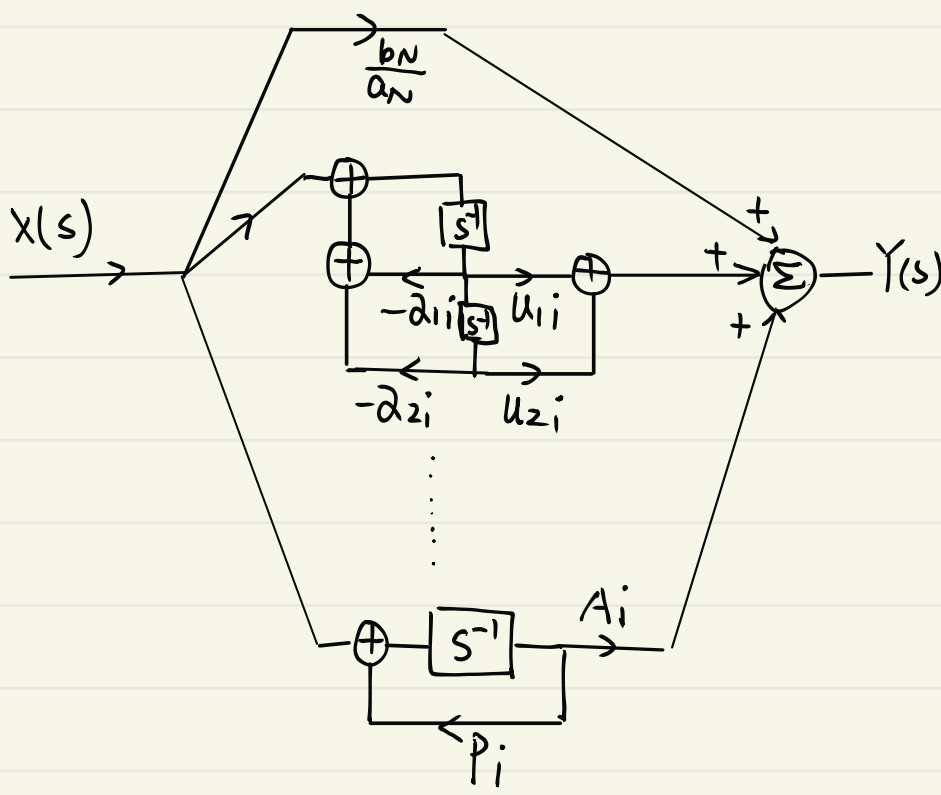
$$H(z) = \frac{\sum_{k=0}^N b_k z^{-k}}{\sum_{k=0}^N a_k z^{-k}} = \frac{b_0}{a_0} \prod_{i=1}^r \frac{1 + \beta_{1i} z^{-1} + \beta_{2i} z^{-2}}{1 + \alpha_{1i} z^{-1} + \alpha_{2i} z^{-2}} \prod_{i=2r+1}^N \frac{1 - z_i z^{-1}}{1 - p_i z^{-1}}$$



88.9.2 并联结构

$$H(s) = \frac{b_N}{a_N} + \sum_{i=1}^r \frac{u_{1i}s^{-1} + u_{2i}s^{-2}}{1 + \alpha_{1i}s^{-1} + \alpha_{2i}s^{-2}} + \sum_{i=2r+1}^N \frac{A_i s^{-1}}{1 - p_i s^{-1}}$$

$$H(z) = \frac{b_0}{a_0} + \sum_{i=1}^r \frac{v_{0i} + v_{1i}z^{-1}}{1 + \alpha_{1i}z^{-1} + \alpha_{2i}z^{-2}} + \sum_{i=2r+1}^N \frac{B_i}{1 - p_i z^{-1}}$$



§9.3 连续时间信号的离散时间处理

